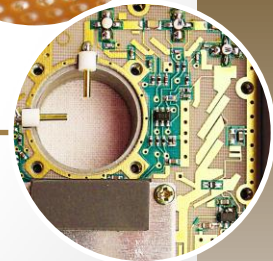
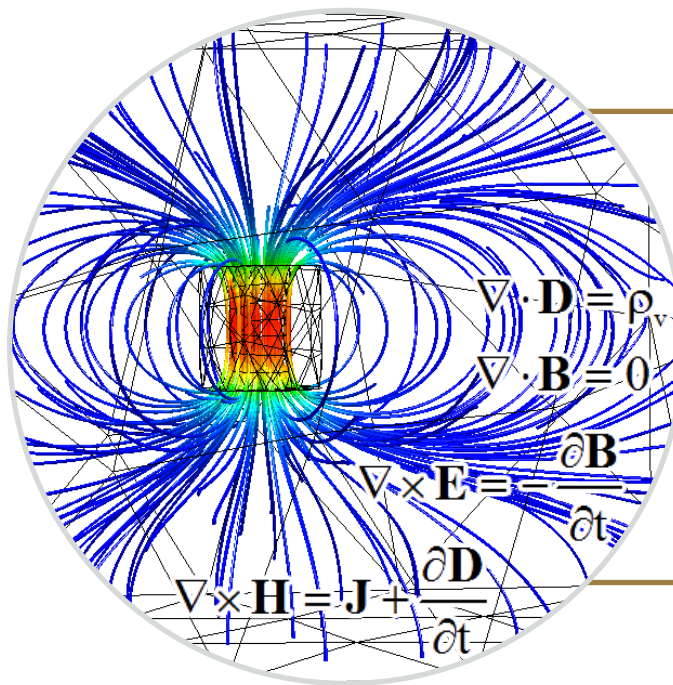


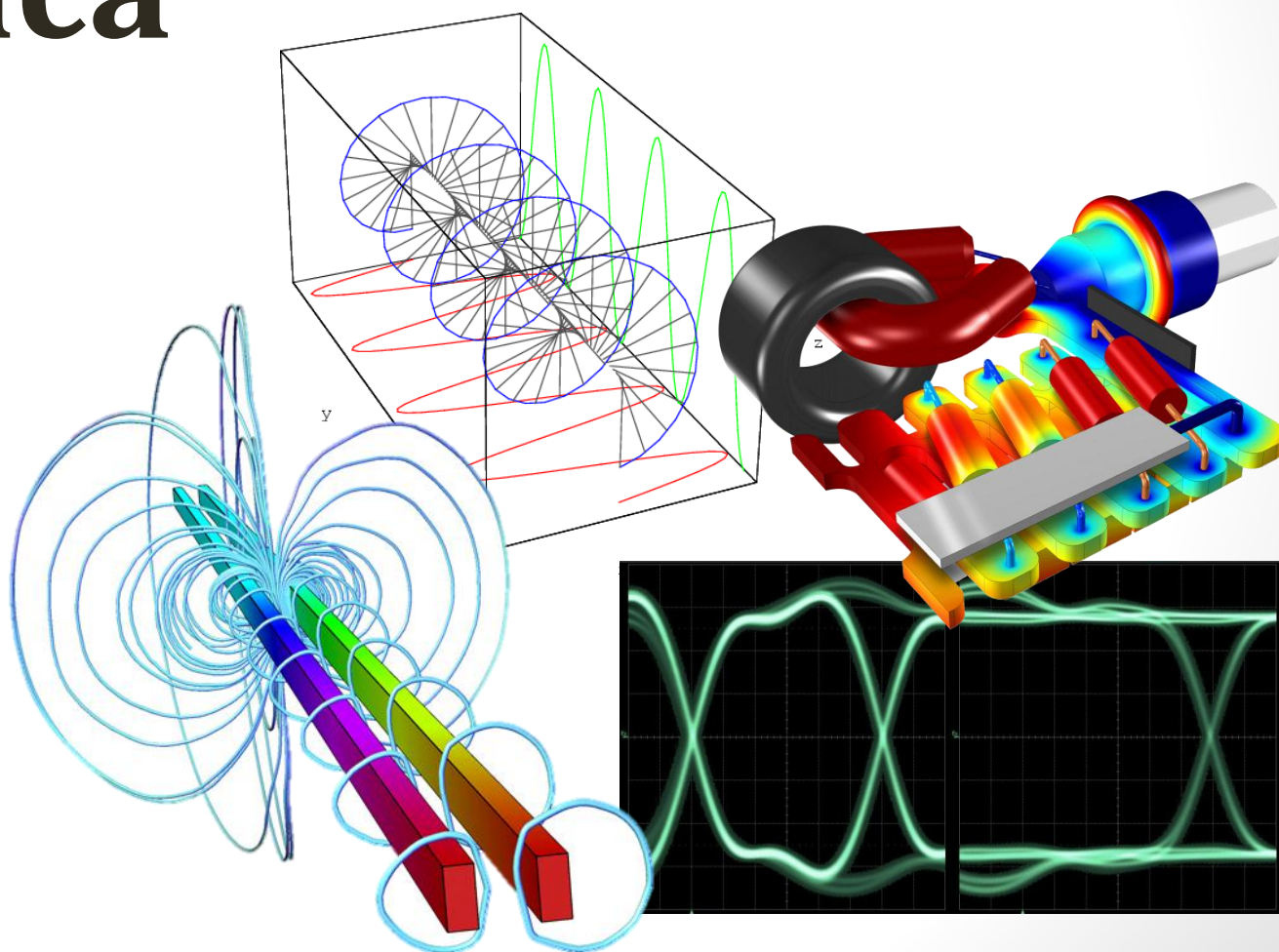
# ELETROMAGNETISMO

## CEL065

Prof. Pedro S. Almeida  
pedro.almeida@ufjf.edu.br



# Eletrodinâmica Clássica



# Conteúdo

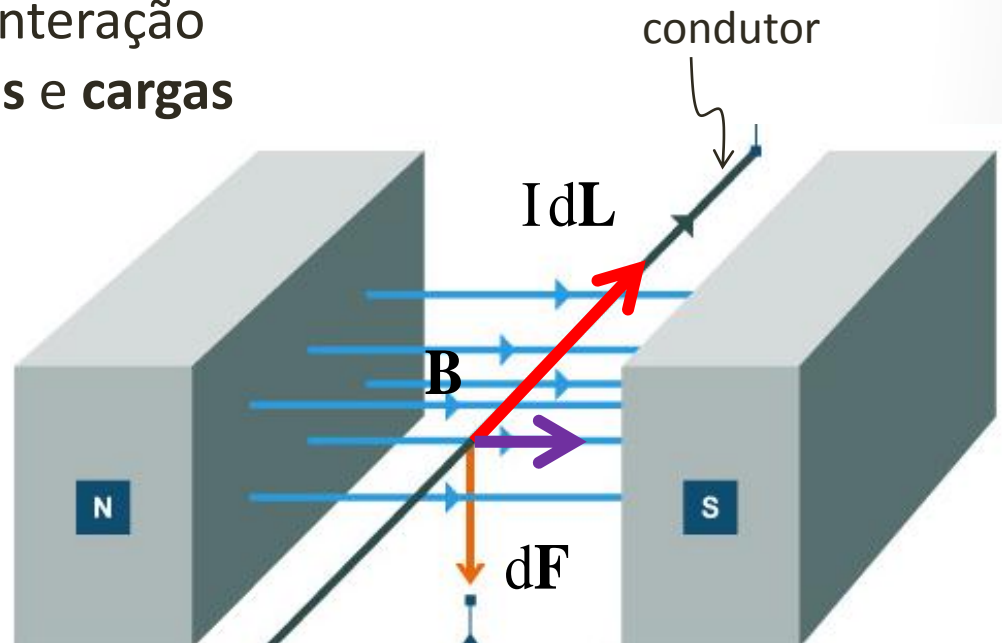
## ELETRODINÂMICA CLÁSSICA

- Força de Lorentz
  - Definição dos campos E e B em função das forças & origem do magnetismo
- Leis de Faraday e de Lenz
  - B variante no tempo & indução eletromagnética
- Equações de Maxwell & campo eletromagnético
  - Corrente de deslocamento & forma vetorial da lei de Faraday
- Solução no vácuo e onda eletromagnética
- Consequências das equações de Maxwell & efeitos eletromagnéticos em alta frequência
  - Onda eletromagnética plana, vetor de Poynting, propagação e reflexão
  - Linhas de transmissão & antenas
  - Efeito pelicular, de proximidade e correntes de Foucault

# Força de Lorentz

- Como visto anteriormente, a força magnética exercida por um campo magnético de densidade de fluxo  $\mathbf{B}$  em um elemento de corrente  $I d\mathbf{L}$  pode ser descrita pela equação:
- Sabemos que **correntes** são geradas pelo **movimento de cargas**, portanto a força magnética sobre elementos de corrente tem origem na interação entre **campos magnéticos e cargas em movimento**.
- Pela primeira vez, introduz-se uma **variação temporal** nas análises: **VELOCIDADE**

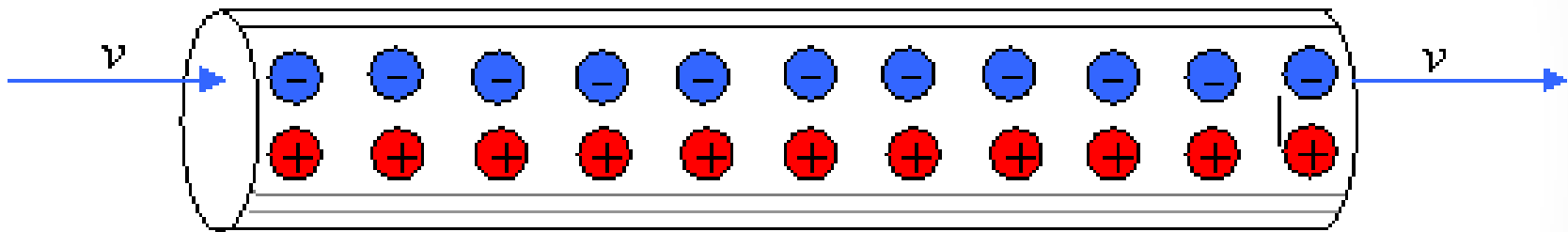
$$d\mathbf{F} = I d\mathbf{L} \times \mathbf{B}$$



# Força de Lorentz

- Cargas em movimento uniforme (velocidade linear constante):
  - *Dentro de um condutor* → elétrons se movem:

$$I d\mathbf{L} \propto -(q_e \mathbf{v})$$



**Carga elementar:**

$$q_e = 1,602 \times 10^{-19} \text{ C}$$

**Densidade de portadores de carga (do cobre):**

$$n_e = 8,5 \times 10^{28} \text{ m}^{-3}$$

**Velocidade de deriva dos elétrons livres:**

$$v = \frac{I}{n_e q_e S} \quad (\text{m/s})$$

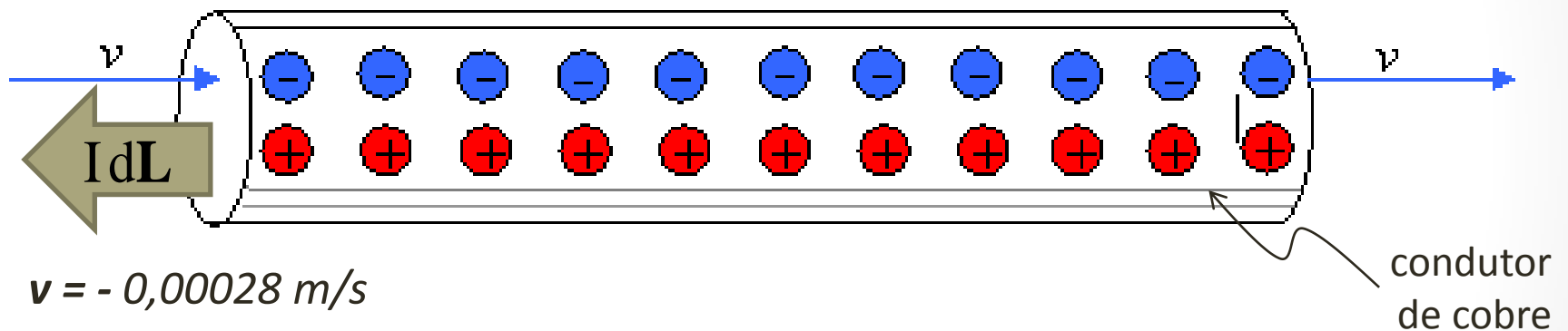
Tipicamente,  $J_{\text{Cu\_max}} = 2 \text{ a } 6 \text{ A/mm}^2$  ( $\sim 4 \text{ MA/m}^2$ ) → limita  $v$

$$\therefore v_{\text{max}} = \frac{J_{\text{max}}}{n_e q_e} \xrightarrow{\text{Condutor de cobre qualquer}} v_{\text{typ}} \cong 0,000 29 \text{ m/s}$$

# Força de Lorentz

- Cargas em movimento uniforme (velocidade linear constante):
  - *Dentro de um condutor  $\rightarrow$  elétrons se movem  $\rightarrow$  sentido inverso de  $I$ :*

$$Id\mathbf{L} \propto -(q_e \mathbf{v}) \Rightarrow Id\mathbf{L} = (n_e S q_e \mathbf{v}) d\mathbf{L}$$



*Força integral no condutor:*

*Força atuando sobre uma carga de teste:*

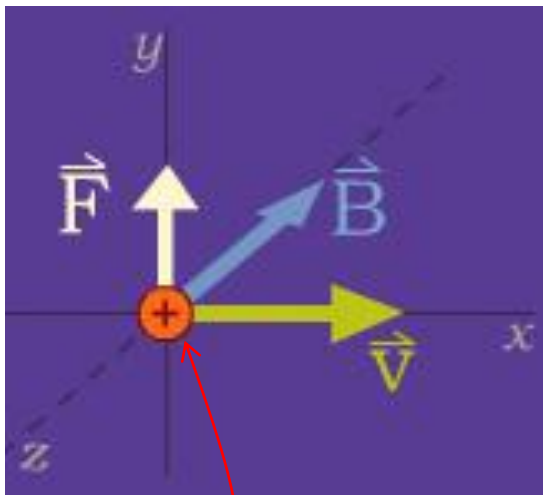
$$\mathbf{F}_{\text{total}} = \int Id\mathbf{L} \times \mathbf{B} \Rightarrow \mathbf{F}_m = q\mathbf{v} \times \mathbf{B}$$

# Força de Lorentz

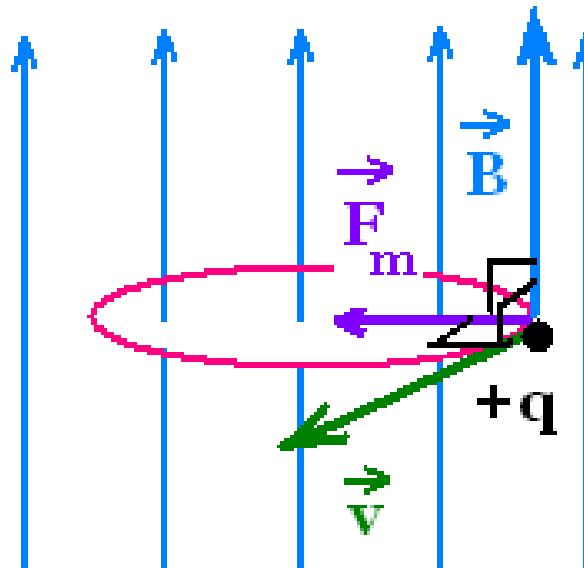
- Cargas em movimento uniforme (velocidade linear constante):
  - *Fora ou dentro de um condutor, vale:*

$$\mathbf{F}_m = q\mathbf{v} \times \mathbf{B}$$

*Força de Lorentz em uma carga devido a um campo magnético*



carga de teste



*Num campo magnético uniforme, essa força será uma força centrípeta!*

magnetic force

# Força de Lorentz

- Cargas estáticas ou em movimento – efeito do **campo elétrico**:
  - Lembrando da **Lei de Coulomb** para a força exercida por uma carga em outra carga pontual, a partir da qual o **campo elétrico é definido**:

$$|\mathbf{F}_C| = \frac{1}{4\pi\epsilon} \frac{q_1 q_2}{r_{2,1}^2} \Rightarrow \mathbf{E}_1 = \frac{1}{4\pi\epsilon} \frac{q_1}{r^2} \mathbf{a}_r$$

Por isto que:  $1 \text{ V/m} = 1 \text{ N/C}$

*O campo elétrico de  $q_1$  é o campo vetorial associado à força de Coulomb sentida por uma carga de teste  $q_2$*

Portanto

$$\mathbf{F}_C = \frac{1}{4\pi\epsilon} \frac{q_1 q_2}{|\mathbf{r}|^2} \mathbf{a}_r = q_2 \mathbf{E}_1 \Rightarrow \mathbf{F}_e = q\mathbf{E}$$

*Lei de Coulomb = Força de Lorentz em uma carga devido a um campo elétrico*



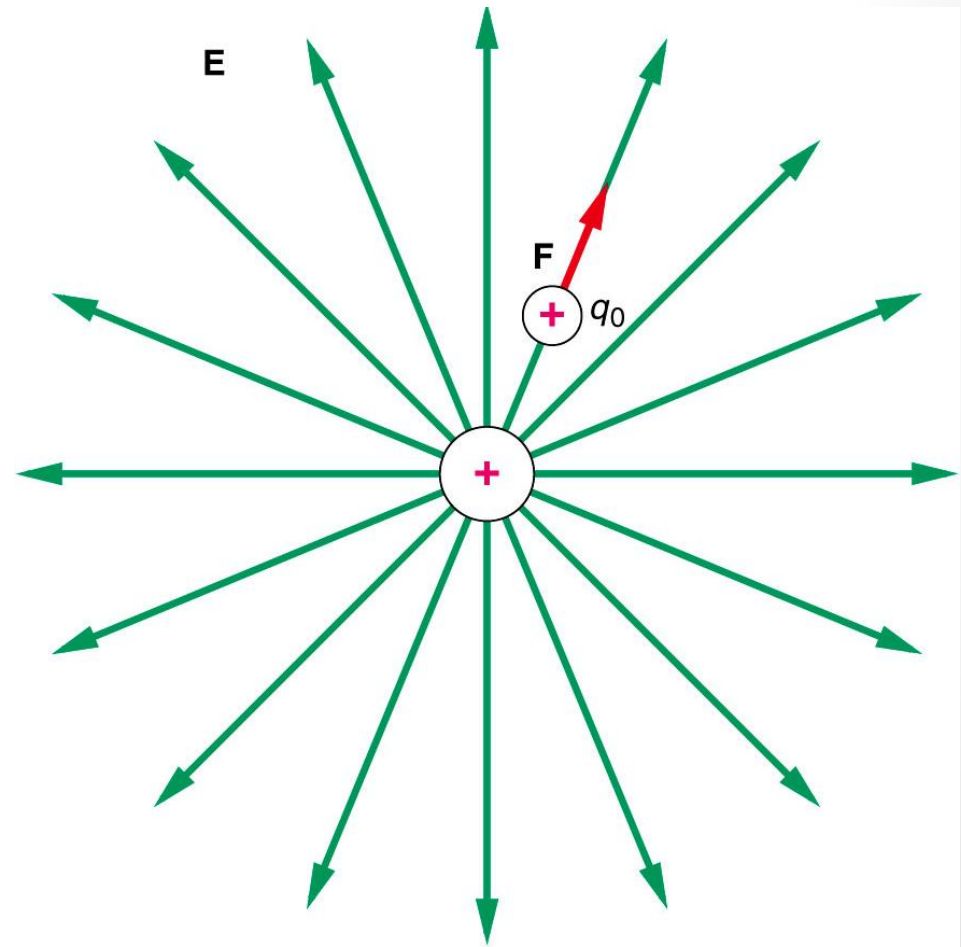
# Força de Lorentz

- Cargas estáticas ou em movimento – efeito do **campo elétrico**:
  - Lembrando da **Lei de Coulomb** para a força exercida por uma carga em outra carga pontual, a partir da qual o **campo elétrico é definido**:

$$\mathbf{F}_e = q\mathbf{E}$$

*Força de Lorentz em uma carga devido a um campo elétrico*

*(a carga pode estar em movimento ou não, dentro ou fora de um condutor)*



# Força de Lorentz

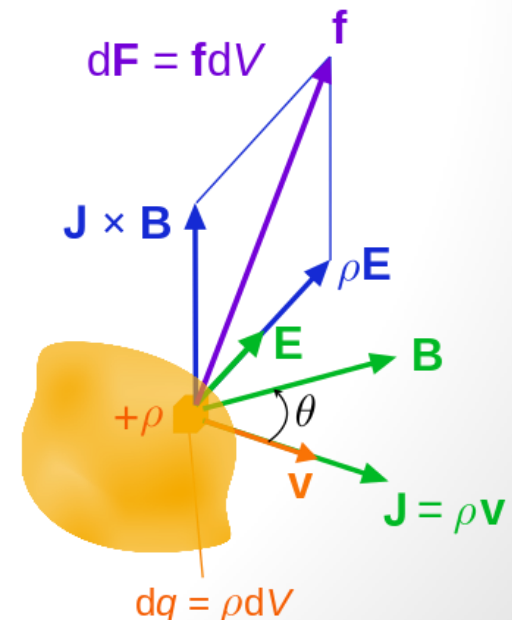
- Unificando ambas as forças (elétrica e magnética) como uma única força que atua em uma carga de  $\rightarrow$  previsão da força que atua em cargas para qualquer caso:

$$\mathbf{F} = q\mathbf{E} + q\mathbf{v} \times \mathbf{B} = q(\mathbf{E} + \mathbf{v} \times \mathbf{B})$$

*Força de Lorentz para uma carga pontual de teste*

*Para uma distribuição contínua:*

$$\mathbf{F} = \iiint_V (\rho_v \mathbf{E} + \mathbf{J} \times \mathbf{B}) dV$$



# Força de Lorentz

- Unificando ambas as forças – exemplo c/ carga pontual (de teste)

$$\mathbf{F} = q(\mathbf{E} + \mathbf{v} \times \mathbf{B})$$

$$|\mathbf{F}_e| = |q\mathbf{E}| = q|\mathbf{E}|$$

(mesmo sentido de  $\mathbf{E}$ )

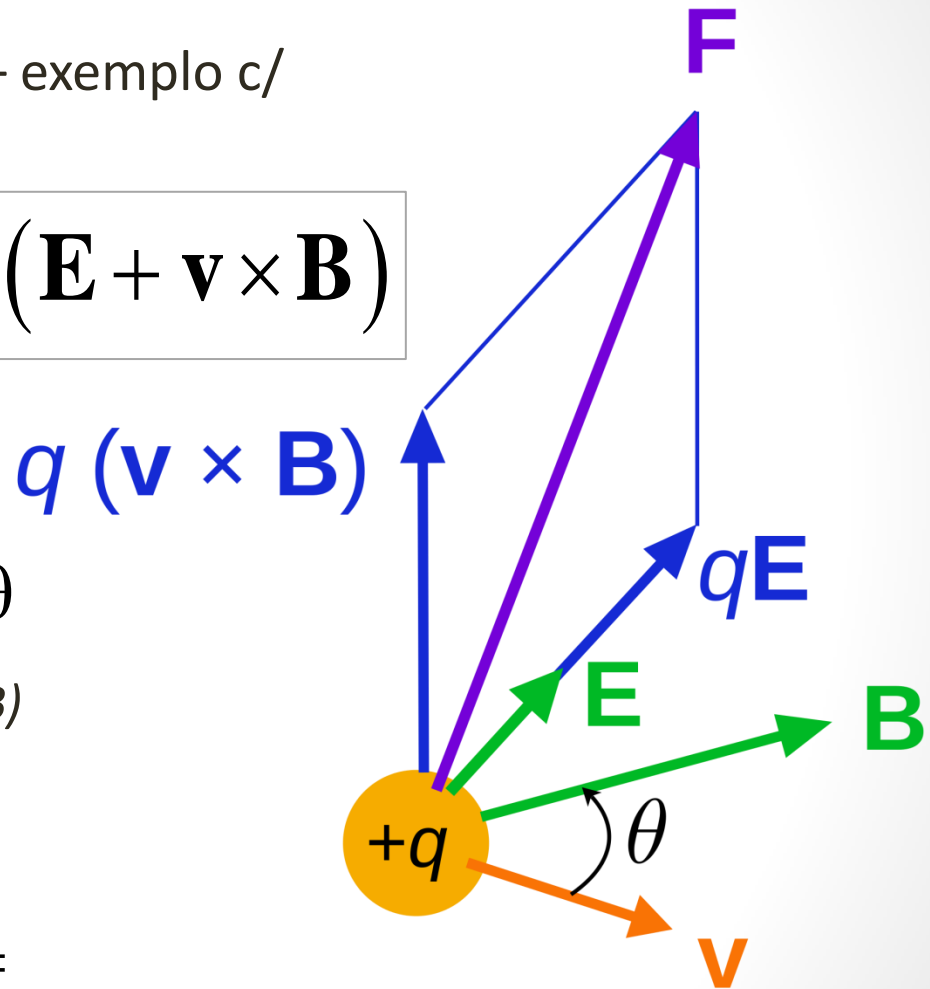
$$|\mathbf{F}_m| = |q(\mathbf{v} \times \mathbf{B})| = q|\mathbf{v}||\mathbf{B}|\sin\theta$$

(perpendicular ao plano de  $\mathbf{v}$  e  $\mathbf{B}$ )

Resultante:

$$|\mathbf{F}| = \sqrt{|\mathbf{F}_e|^2 + |\mathbf{F}_m|^2} =$$

$$q\sqrt{E^2 + v^2 B^2 \sin^2 \theta}$$

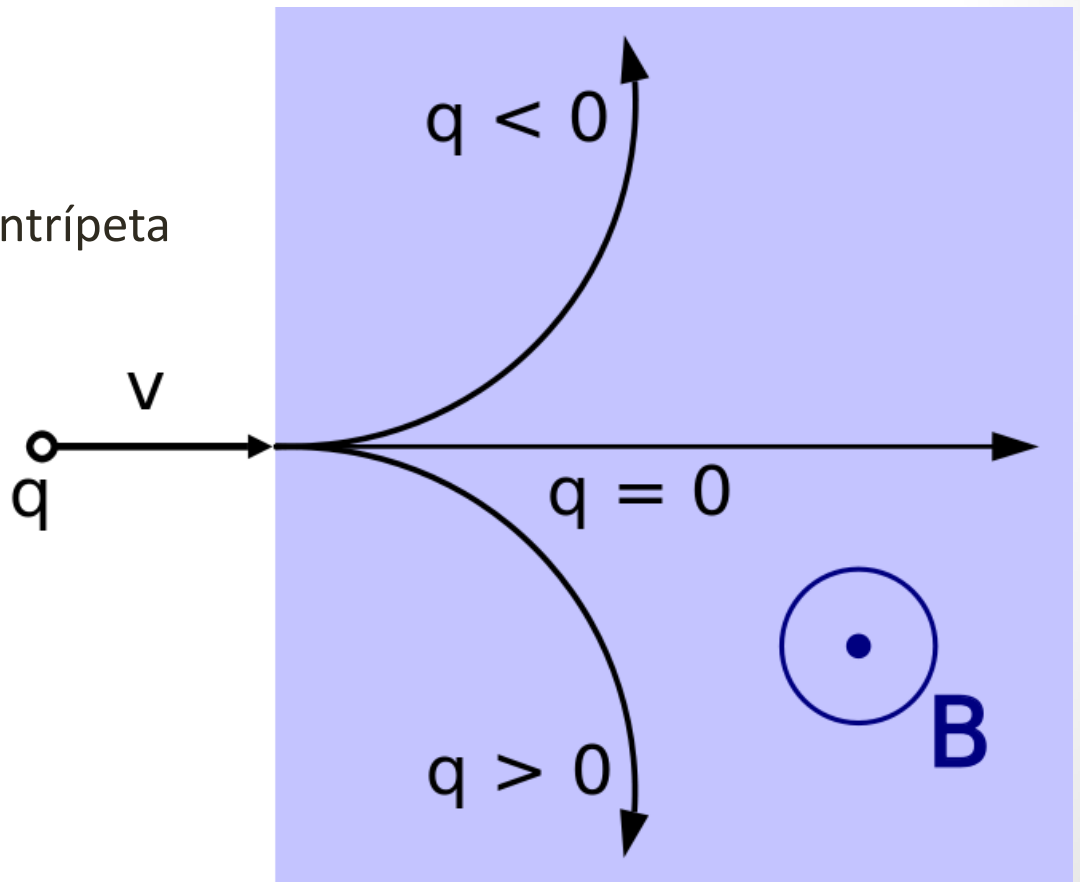
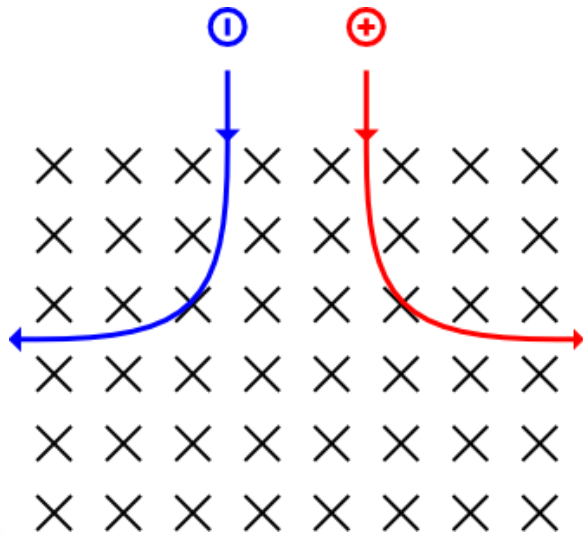


# Força de Lorentz

- Força sobre carga pontual em campo magnético uniforme:

$$\mathbf{F} = q(\mathbf{E} + \mathbf{v} \times \mathbf{B})$$
$$= q\mathbf{v} \times \mathbf{B}$$

A força é contínua e radial  $\rightarrow$  centrípeta



# Força de Lorentz

- Força sobre carga pontual em campo magnético uniforme:

Lorentz e 2ª Lei de Newton:

$$\mathbf{F} = q\mathbf{v} \times \mathbf{B} = m \frac{d\mathbf{v}}{dt}$$

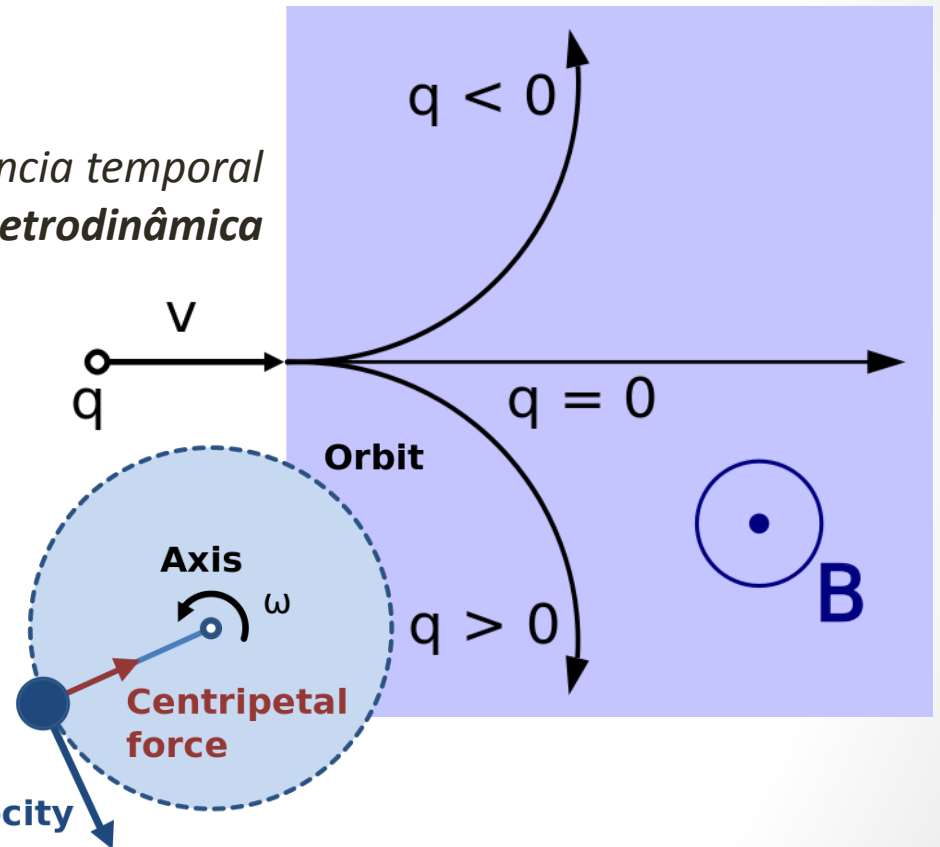
*dependência temporal*  
→ *eletrodinâmica*

$$\mathbf{v} \times \mathbf{B} = \frac{m}{q} \frac{d\mathbf{v}}{dt}$$

*Aceleração*  
*centrípeta:*

$$a_c = \frac{dv}{dt} = \frac{v^2}{r}$$

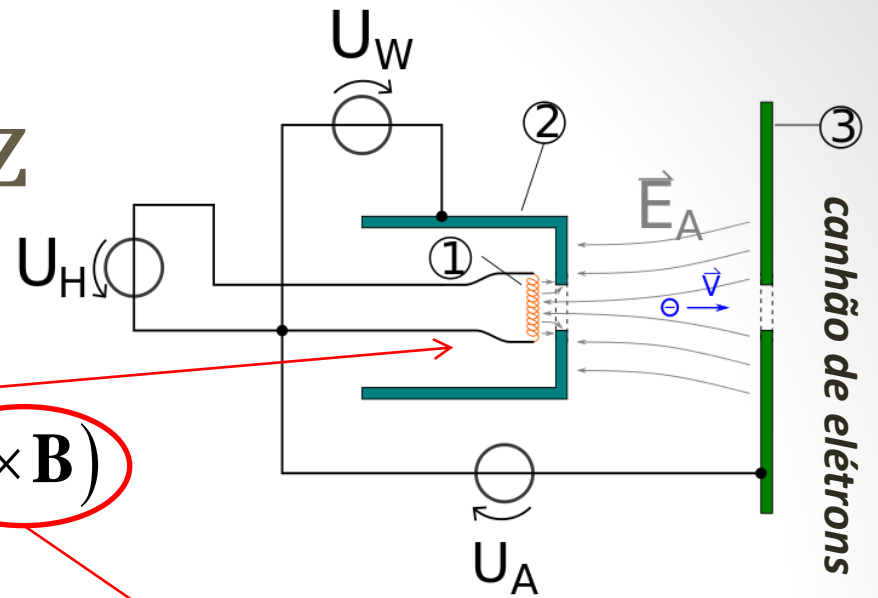
$$\therefore \frac{m}{q} \frac{v^2}{r} = vB \Rightarrow r = \frac{m}{q} \frac{v}{B}$$



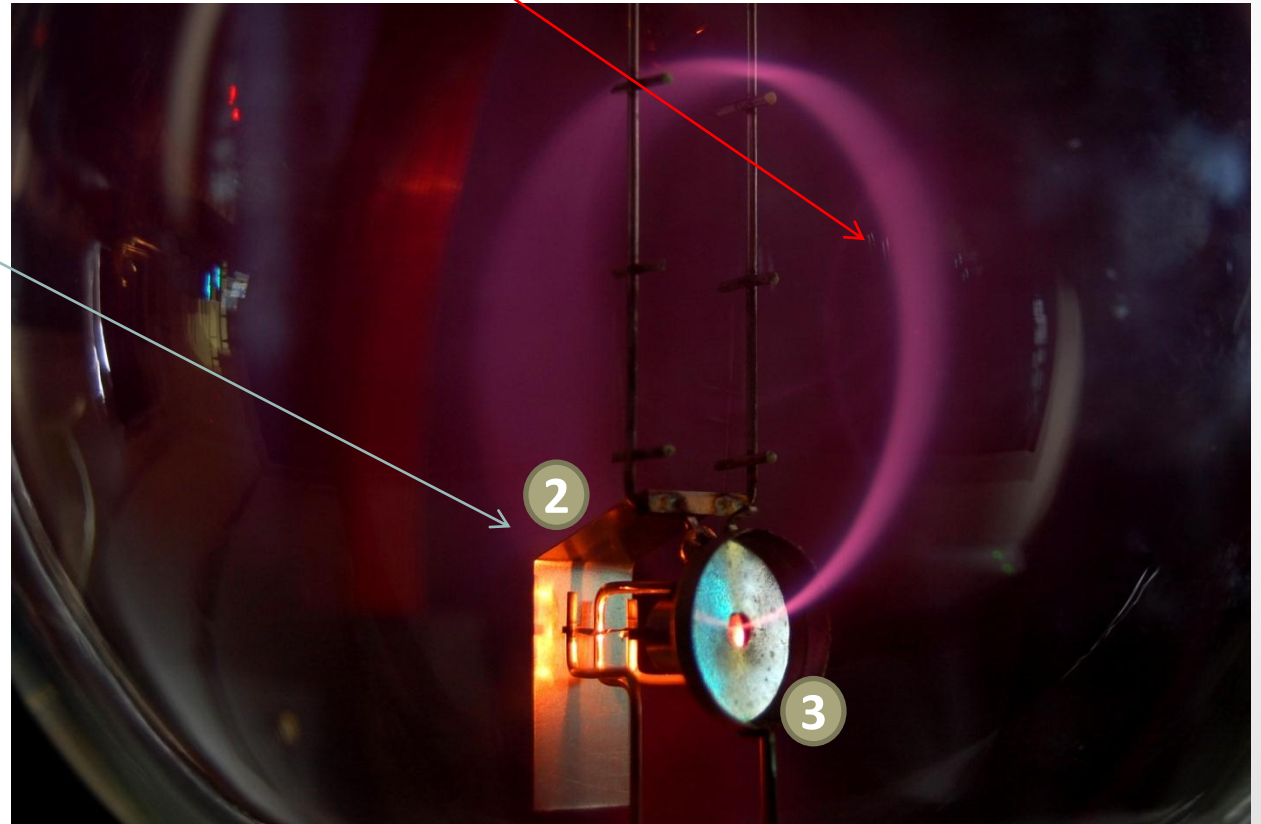
# Força de Lorentz

Elétrons acelerados por um campo elétrico na presença de um campo magnético:

$$\mathbf{F} = -q_e (\mathbf{E} + \mathbf{v} \times \mathbf{B})$$



*canhão de elétrons*



$$r = \frac{m v}{q B}$$

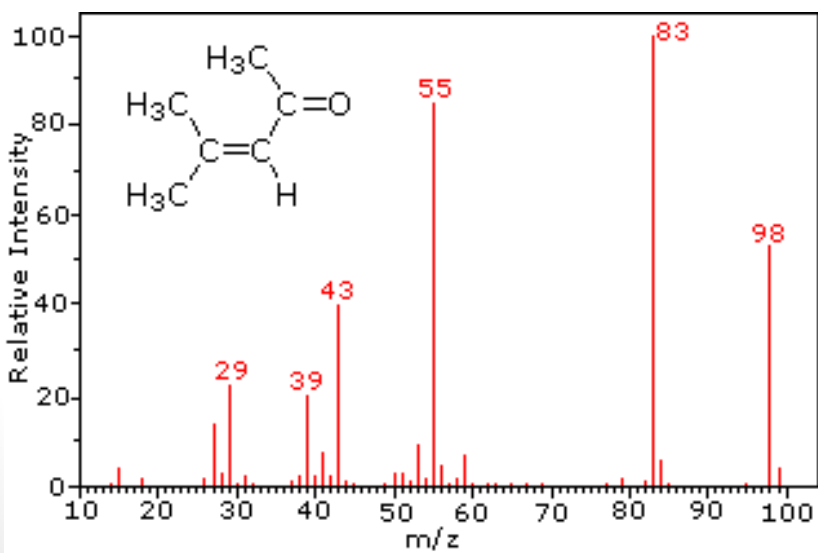
# Força de Lorentz

- Aplicação em espectrômetros de massa:

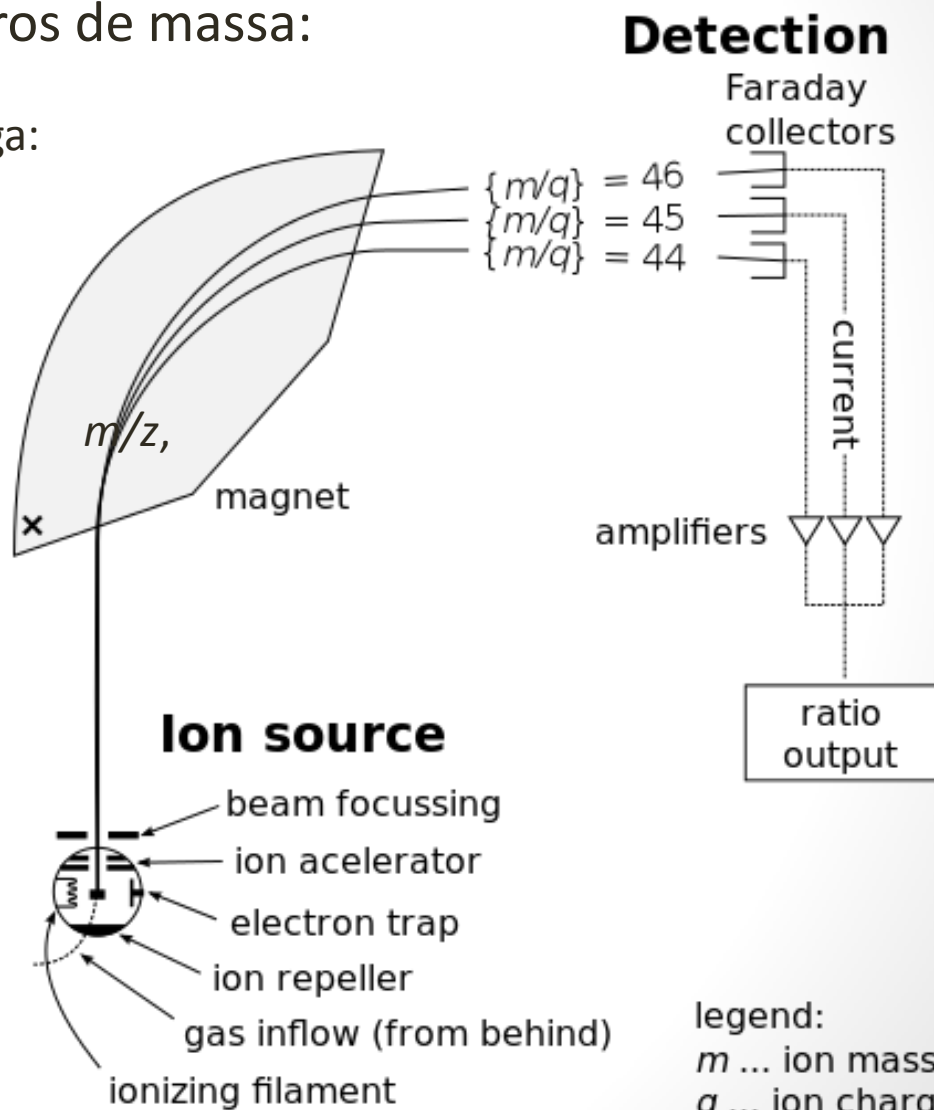
Razão massa por carga:

$$r = \frac{m v}{q B}$$

$$r \propto \frac{m}{q}$$

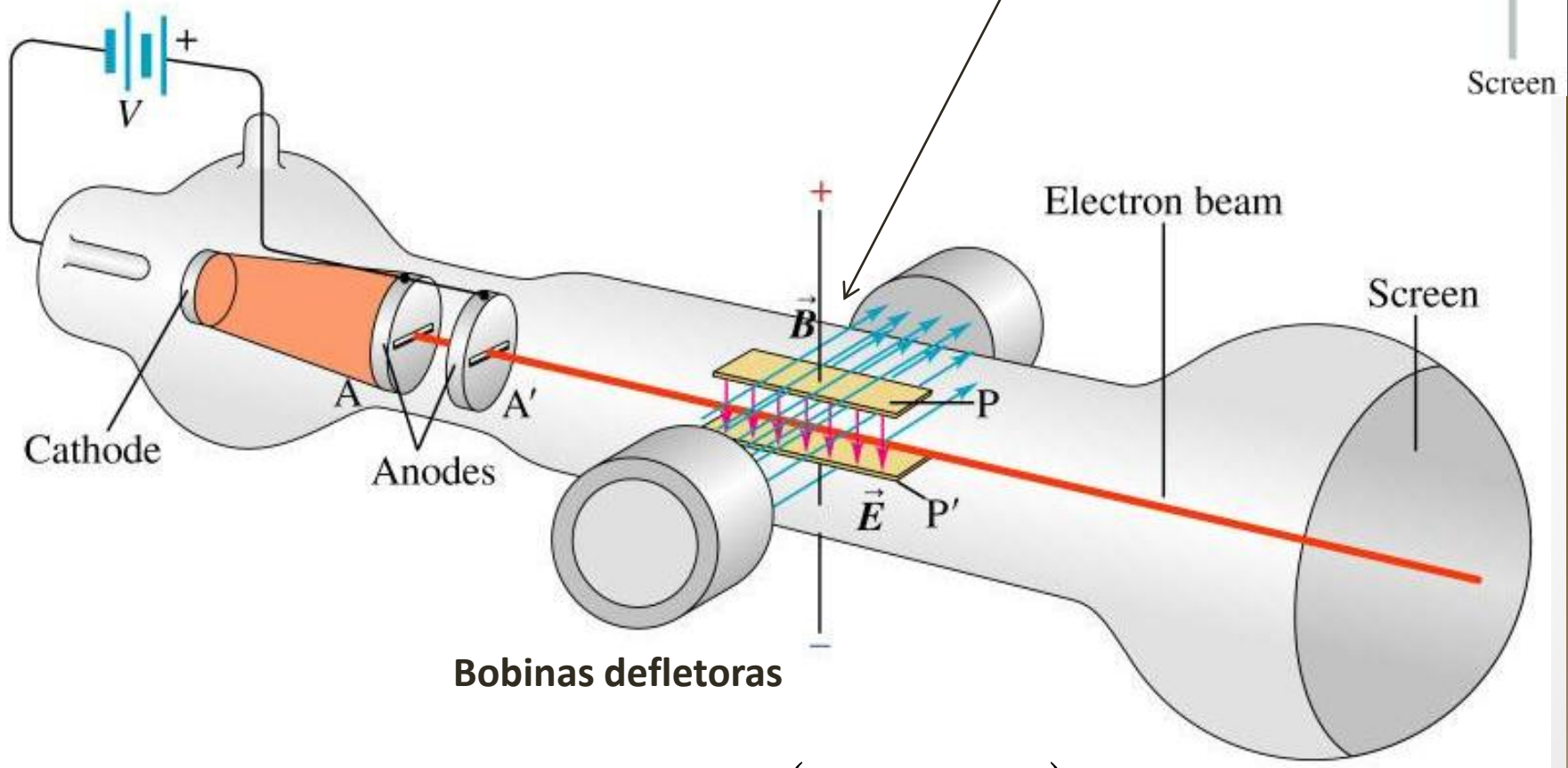


( $z=q/e$ )



# Força de Lorentz

- Aplicação em tubos de imagem (CRT):



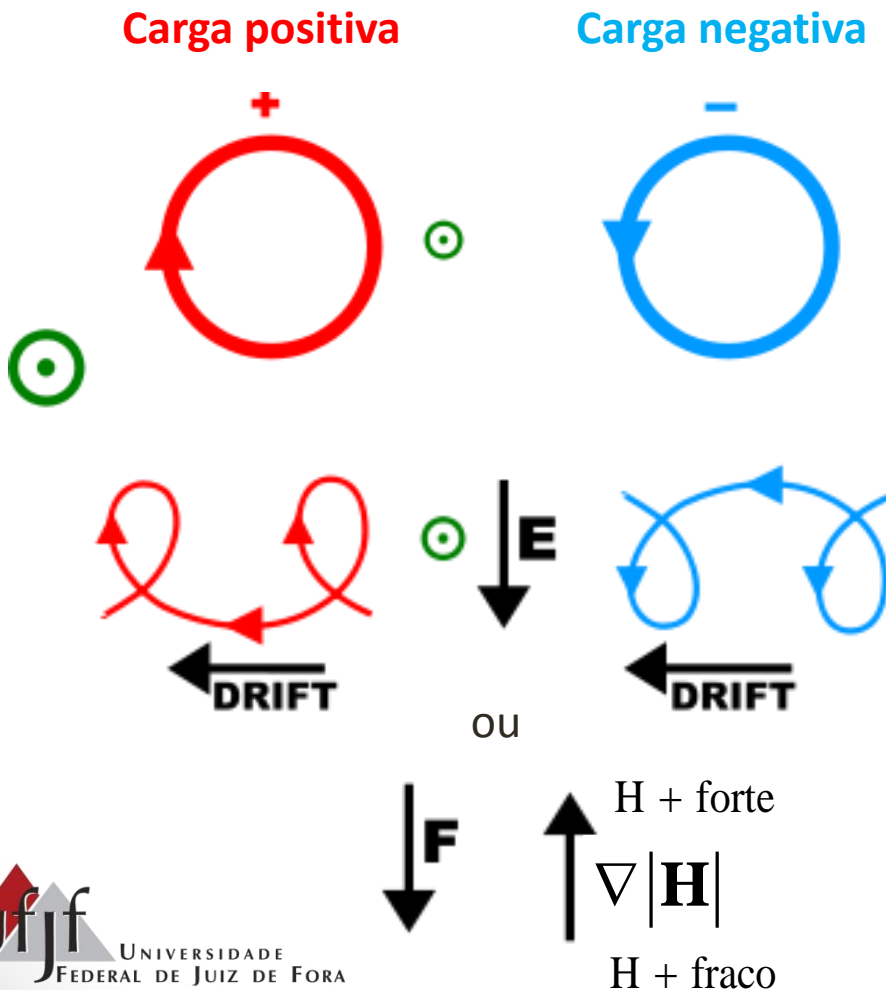
$$\mathbf{F} = -q_e (\mathbf{E} + \mathbf{v} \times \mathbf{B})$$



# Força de Lorentz

- Generalização das trajetórias nas interações cargas-campos E / B

Campo magnético saindo do plano



$$\mathbf{F} = q(\mathbf{E} + \mathbf{v} \times \mathbf{B})$$

Nenhum distúrbio e só campo magnético presente  $\rightarrow$  raio constante, sem deriva

Na presença de um **campo elétrico** ou uma **força externa** ou um **campo magnético não homogêneo**  $\rightarrow$  movimento de deriva (*drift*)

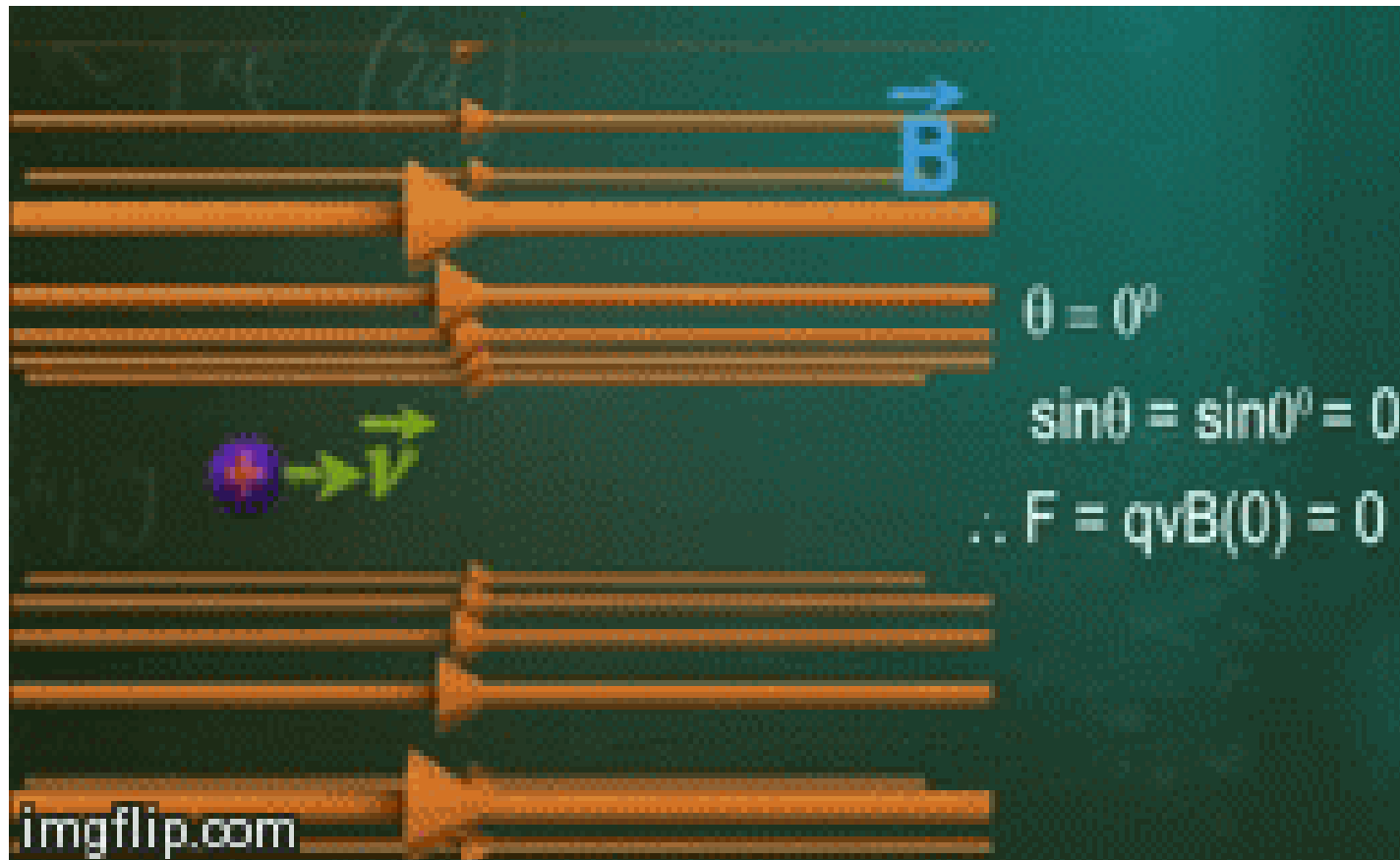
$$\mathbf{v}_D = \frac{\mathbf{E} \times \mathbf{B}}{B^2}$$

# Força de Lorentz

$$\mathbf{F} = q(\mathbf{E} + \mathbf{v} \times \mathbf{B})$$

- Outras trajetórias interessantes em campo uniforme:

Carga positiva em movimento paralelo ao campo magnético:

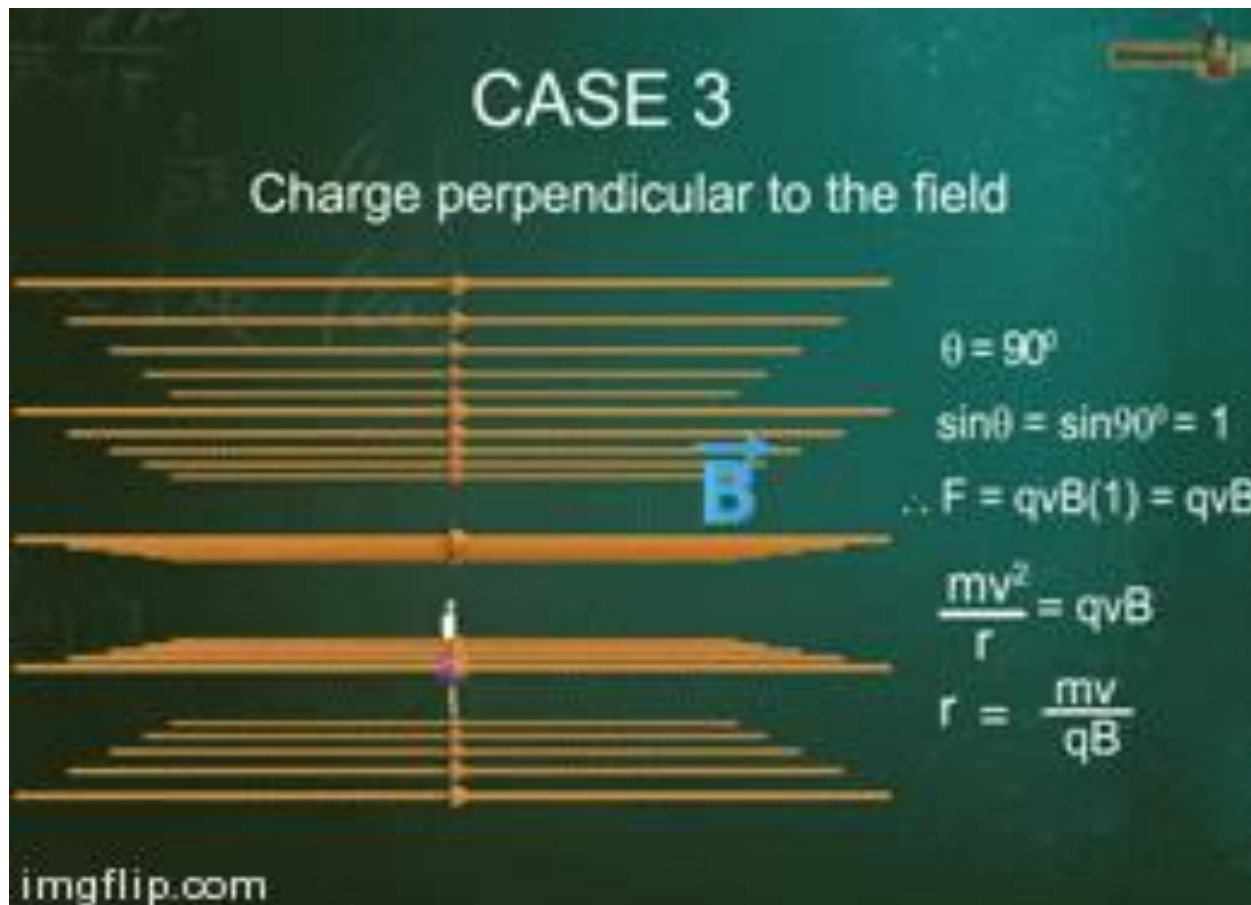


# Força de Lorentz

$$\mathbf{F} = q(\mathbf{E} + \mathbf{v} \times \mathbf{B})$$

- Outras trajetórias interessantes em campo uniforme:

Carga positiva em movimento perpendicular ao campo magnético:

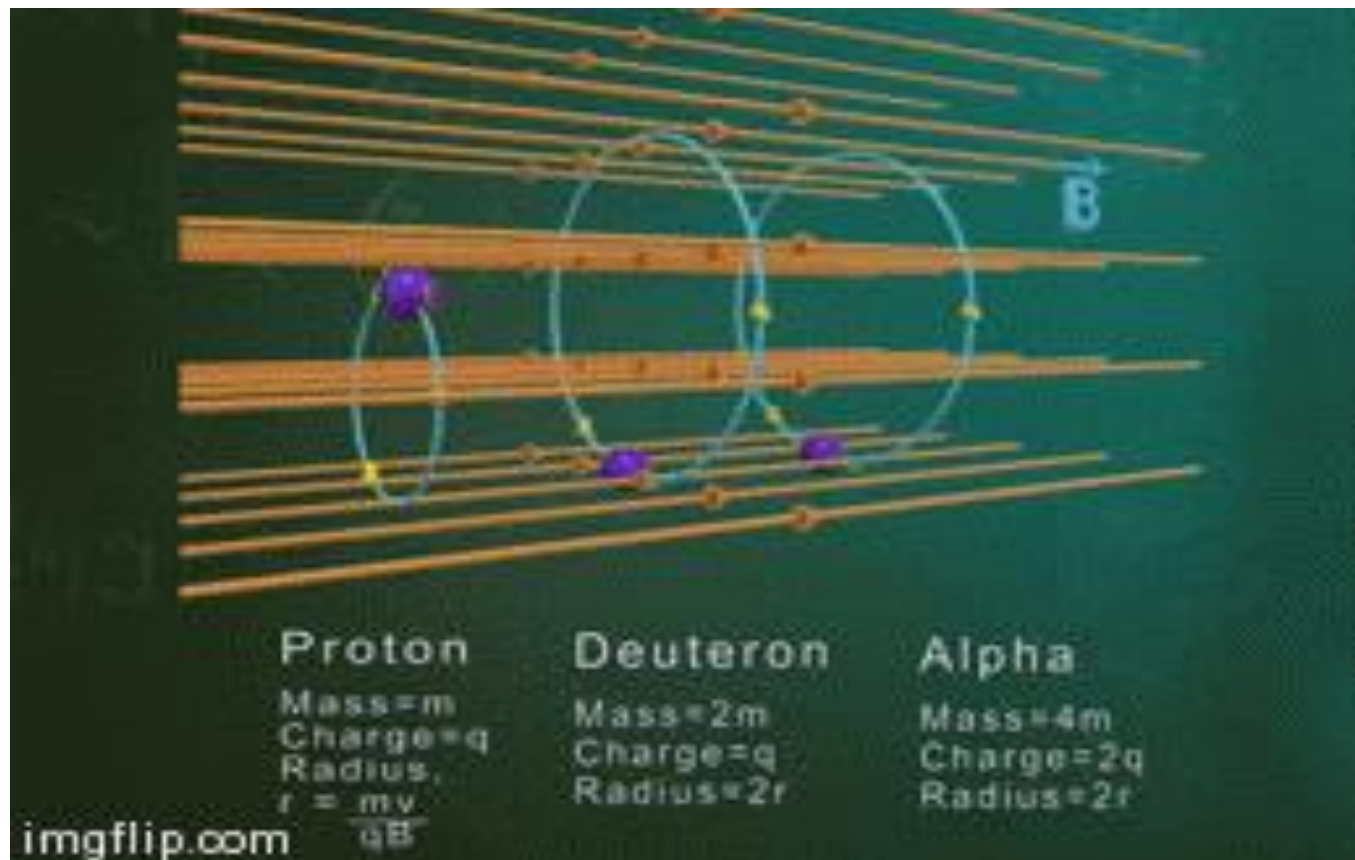


# Força de Lorentz

$$\mathbf{F} = q(\mathbf{E} + \mathbf{v} \times \mathbf{B})$$

- Outras trajetórias interessantes em campo uniforme:

Partículas de diferentes cargas e massas em movimento perpendicular ao campo magnético:

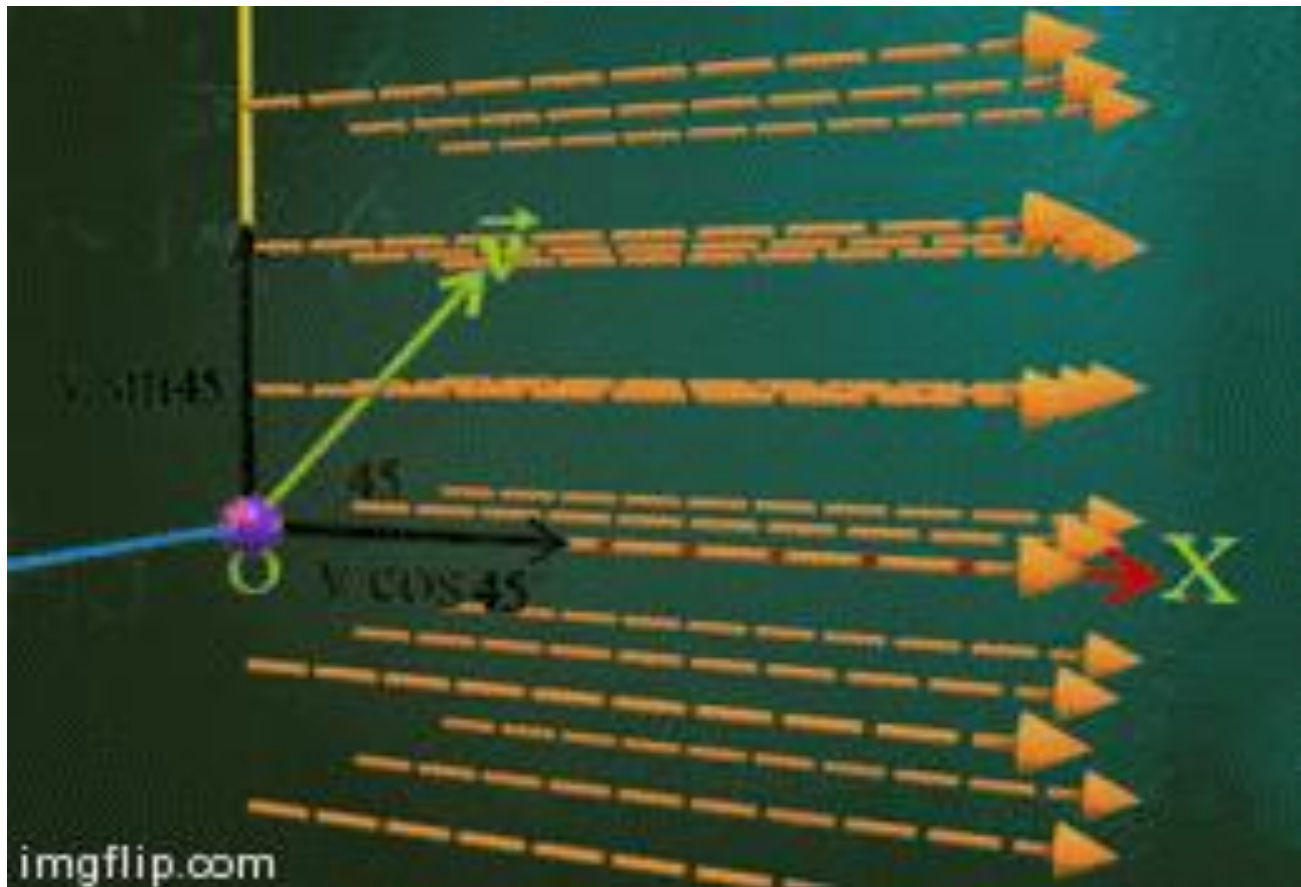


# Força de Lorentz

$$\mathbf{F} = q(\mathbf{E} + \mathbf{v} \times \mathbf{B})$$

- Outras trajetórias interessantes em campo uniforme:

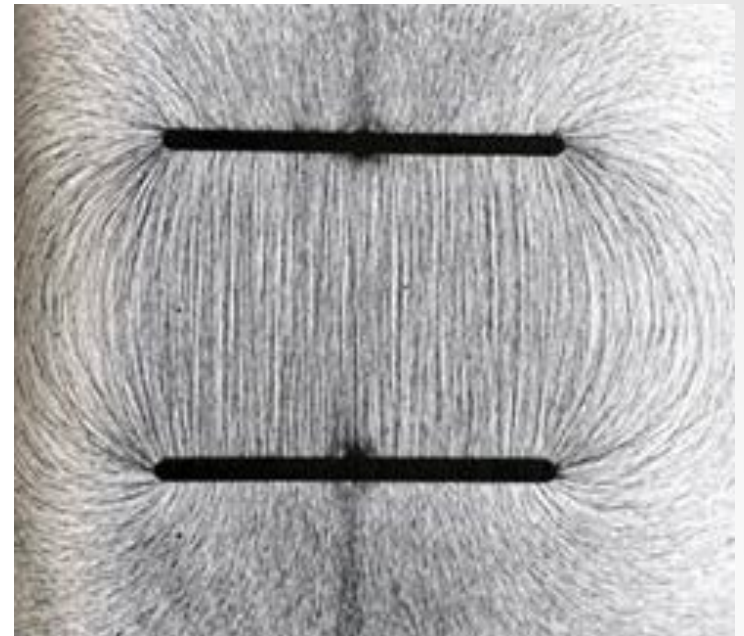
Carga positiva penetrando a região do campo com determinado ângulo:



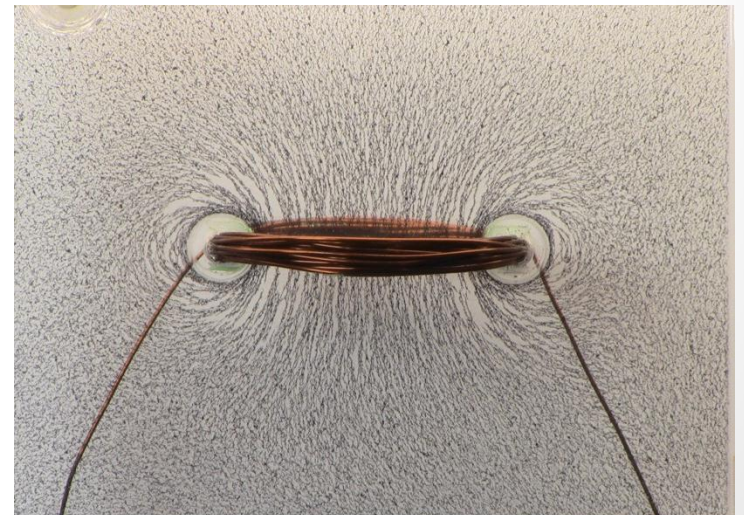
# Campos E e B

## Definição via forças

A **força eletrostática** (força de Coulomb) é uma manifestação do campo elétrico.



A **força magnética** (força de Lorentz) é uma manifestação do campo magnético.



Na prática, só sabemos da **existência** destes campos devido às **forças** e seus **efeitos observáveis** que eles causam em objetos macroscópicos!

# Campos E e B

## Definição via forças:

na verdade é a definição formal!

Campo elétrico – equação de definição:

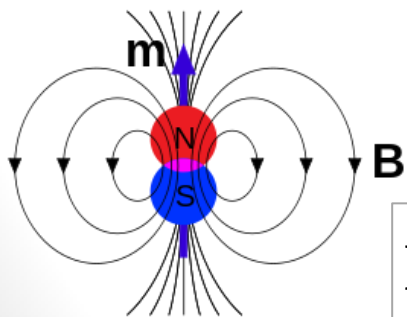
$$\mathbf{E} = \frac{\mathbf{F}}{q_e}$$

$$E: \text{V/m} = \text{N/C}$$

Campo magnético – equação de definição:

$$\mathbf{F} = q_e (\mathbf{v} \times \mathbf{B})$$

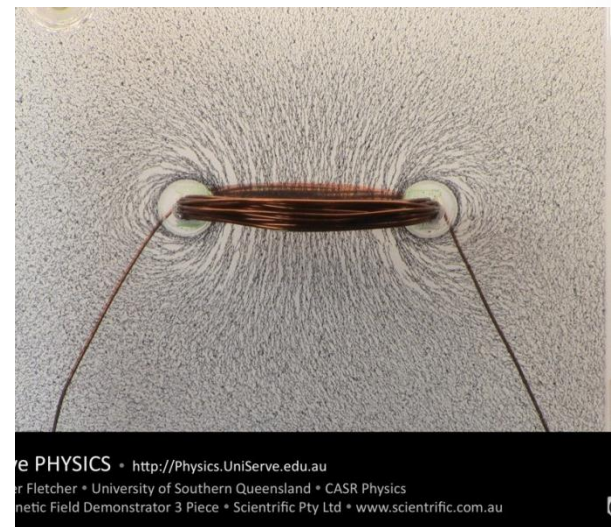
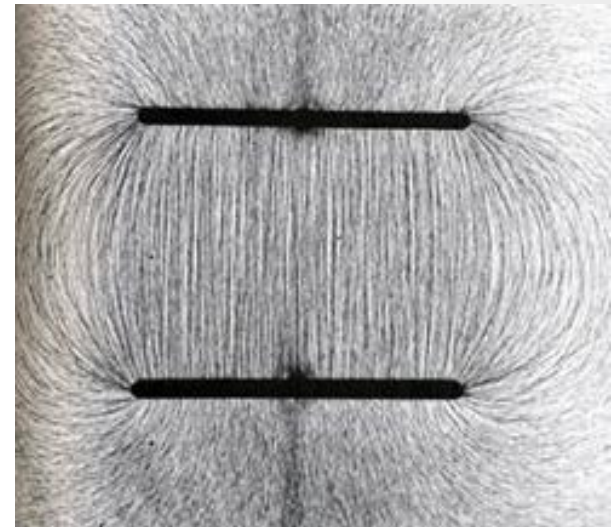
$$B: \text{T} = \text{Wb/m}^2 = \text{N/A.m}$$



*Se existissem monopolos magnéticos –  $q_m$  (Wb):*

$$\mathbf{H} = \frac{\mathbf{F}}{q_m}$$

$$H: \text{A/m} = \text{N/Wb}$$



*Se  $H$  vem de  $dq_e/dt$ , não poderia ser que  $E$  vem de  $dq_m/dt$  ?*

# Campos E e B – qual a relação?


## A origem do magnetismo como um efeito relativístico

REFERENCIAL  
INERCIAL DO  
CONDUTOR

Experimento mental: se temos um condutor percorrido por uma corrente e há uma carga de teste em suas vizinhanças

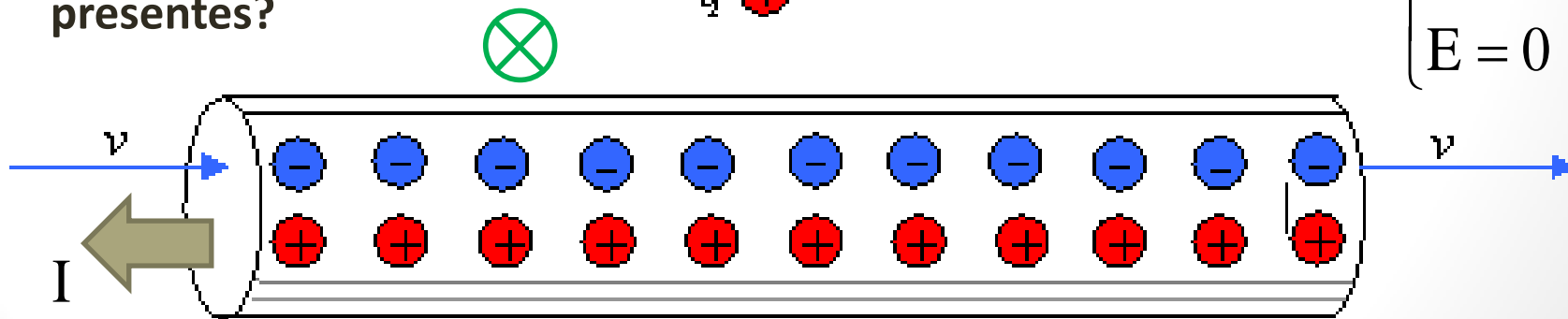
- Sabemos que o movimento de elétrons livres dentro do condutor é dual ao movimento de cargas positivas, no sentido oposto – sentido convencional da corrente.
- Vamos primeiro considerar que a **carga de teste está em repouso**.

1. Qual a força em  $q$ ?
2. Por que?
3. Quais campos estão presentes?

carga de teste  
 $q$  

$$\mathbf{F} = q(\mathbf{E} + \mathbf{v} \times \mathbf{B}) = 0$$

$$\left\{ \begin{array}{l} \mathbf{B} \neq 0 \\ \mathbf{v}_q = 0 \\ \mathbf{E} = 0 \end{array} \right.$$



O condutor é eletricamente neutro:  $N.e = N.q$



# Campos E e B – qual a relação?

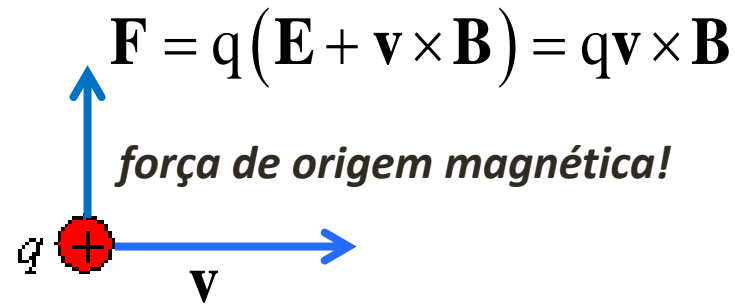
## A origem do magnetismo como um efeito relativístico

REFERENCIAL  
INERCIAL DO  
CONDUTOR

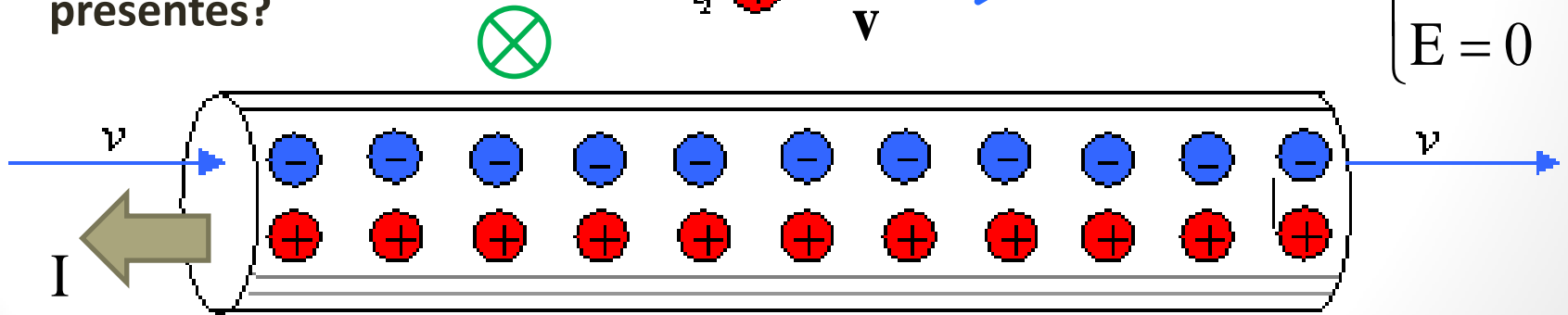
Experimento mental: se temos um condutor percorrido por uma corrente e há uma carga de teste em suas vizinhanças

- Vamos agora considerar que a **carga está em movimento**. Por simplicidade, consideraremos que a velocidade de seu movimento é igual à velocidade dos elétrons dentro do condutor.

1. Qual a força em  $q$ ?
2. Por que?
3. Quais campos estão presentes?



$$\left\{ \begin{array}{l} B \neq 0 \\ v_q = v \\ E = 0 \end{array} \right.$$



$$N.e = N.q$$

# Campos E e B – qual a relação?

## A origem do magnetismo como um efeito relativístico

Experimento mental: se temos um condutor percorrido por uma corrente e há uma carga de teste em suas vizinhanças

- ESTÁVAMOS NO REFERENCIAL INERCIAL DO CONDUTOR – e se estivermos no referencial da carga em movimento uniforme?

**REFERENCIAL INERCIAL DA CARGA**  
as Leis da Física tem que ser as mesmas!


1. Qual a força em  $q$ ?
2. Por que?
3. Quais campos estão presentes?

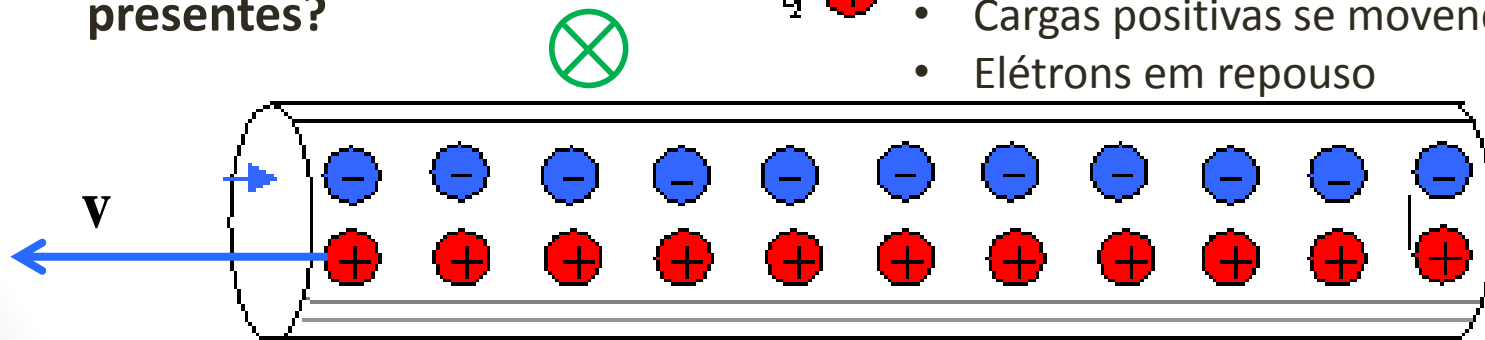
$$\mathbf{F} = q(\mathbf{E} + \mathbf{v} \times \mathbf{B}) = ?$$

EXISTE FORÇA EM  $q$  ?

$$\begin{cases} \mathbf{B} \neq 0 \\ \mathbf{v}_q = 0 \end{cases}$$

*velocidade relativa*

- $q$  
- Cargas positivas se movendo
  - Elétrons em repouso



 **B** se movendo

# Campos E e B – qual a relação?

## A origem do magnetismo como um efeito relativístico

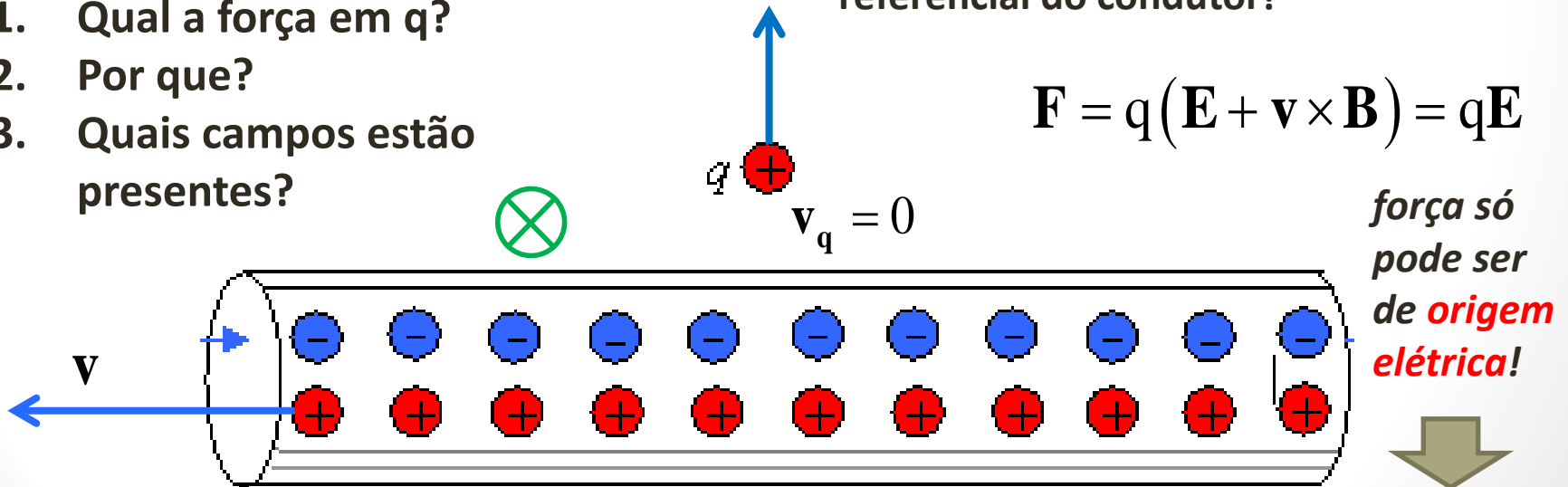
Experimento mental: se temos um condutor percorrido por uma corrente e há uma carga de teste em suas vizinhanças

REFERENCIAL  
INERCIAL DA CARGA  
as Leis da Física tem  
que ser as mesmas!

1. Qual a força em  $q$ ?
2. Por que?
3. Quais campos estão presentes?

EXISTE FORÇA EM  $q \rightarrow$  **tem que existir!**  
E tem que ser igual à força no referencial do condutor!

$$\mathbf{F} = q(\mathbf{E} + \mathbf{v} \times \mathbf{B}) = q\mathbf{E}$$



força só  
pode ser  
de **origem  
elétrica!**

$$N.e \neq N.q$$

# Campos E e B – qual a relação?

## A origem do magnetismo como um efeito relativístico

Experimento mental: se temos um condutor percorrido por uma corrente e há uma carga de teste em suas vizinhanças

Segundo a Relatividade Especial:

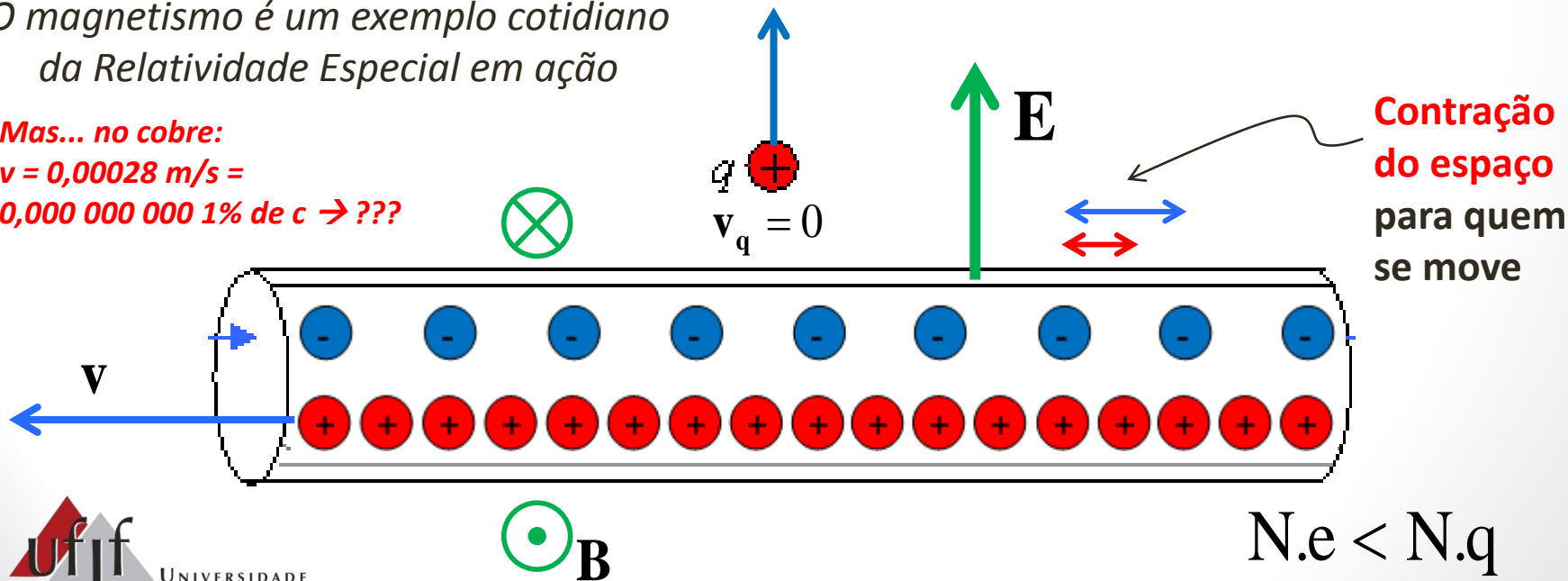
$$L = L_0 \sqrt{1 - \frac{v^2}{c^2}}$$

O magnetismo é um exemplo cotidiano da Relatividade Especial em ação

Mas... no cobre:  
 $v = 0,00028 \text{ m/s} =$   
 $0,000\ 000\ 000\ 1\% \text{ de } c \rightarrow ???$

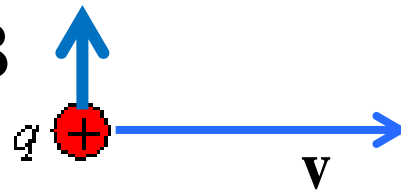
REFERENCIAL  
 INERCIAL DA CARGA  
 as Leis da Física tem  
 que ser as mesmas!

$$\mathbf{F} = q(\mathbf{E} + \mathbf{v} \times \mathbf{B}) = q\mathbf{E}$$



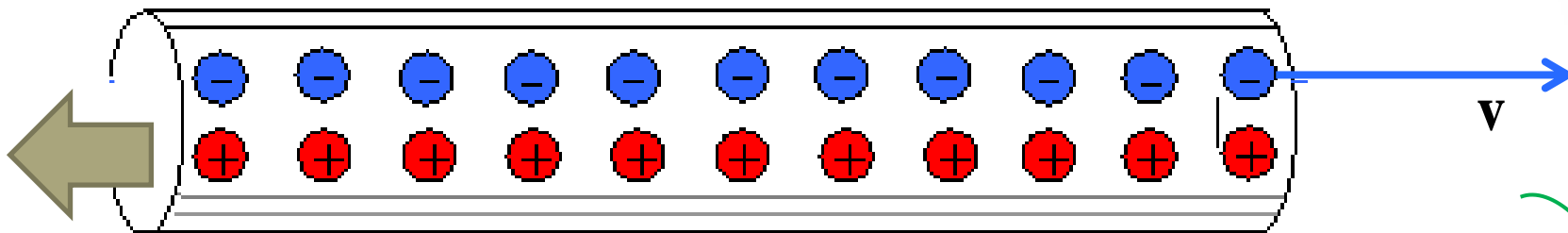
# O Fenômeno Eletromagnético

$$\mathbf{F} = q\mathbf{v} \times \mathbf{B}$$



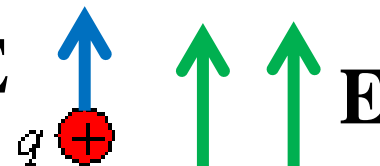
REFERENCIAL DO CONDUTOR

$$N.e = N.q$$

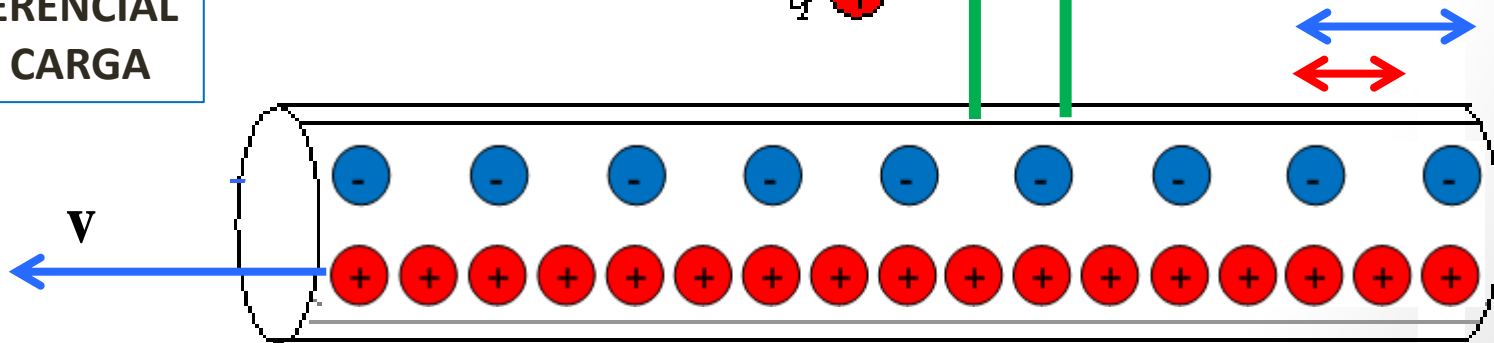


O campo magnético é nada mais que um campo elétrico visto de um outro referencial inercial!

$$\mathbf{F} = q\mathbf{E}$$



REFERENCIAL DA CARGA



$$N.e < N.q$$

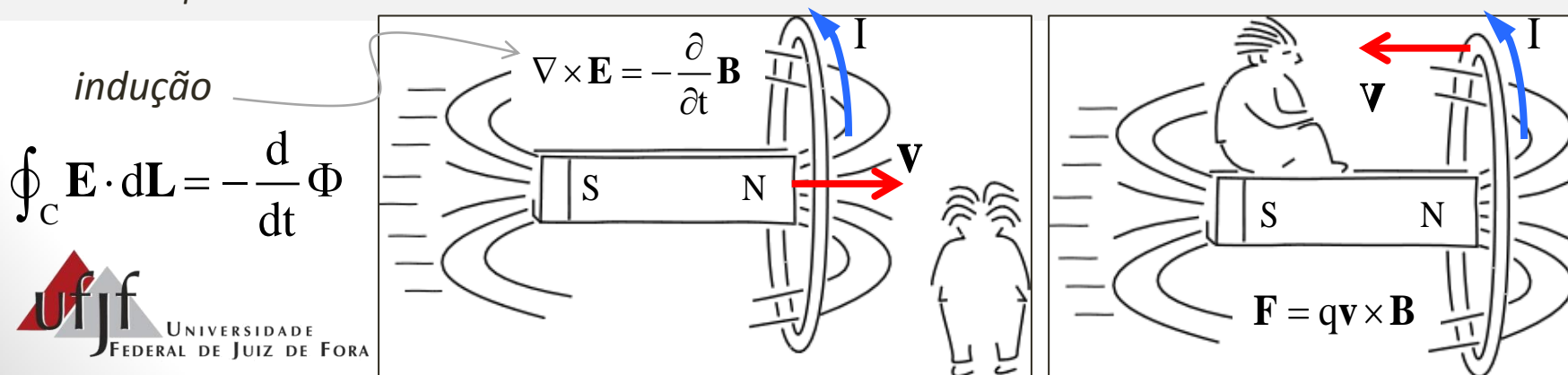


# O Fenômeno Eletromagnético

## A origem do magnetismo como um efeito relativístico

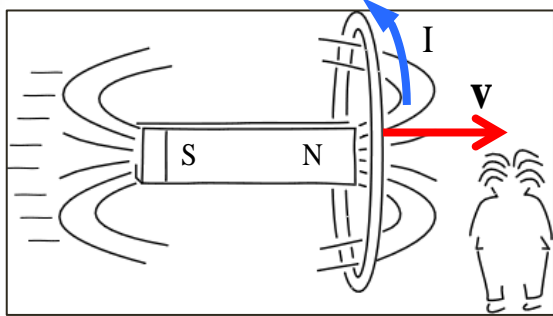
Na verdade, um problema similar foi que motivou Albert Einstein a escrever seu artigo **“Sobre a Eletrodinâmica dos Corpos em Movimento”** (“Zur Elektrodynamik bewegter Körper”), em 1905, fundando assim a **Relatividade Especial**:

“Sabe-se que a **eletrodinâmica de Maxwell** (...) quando aplicada a **corpos em movimento**, leva a **assimetrias** que não parecem ser inerentes aos fenômenos. Tomemos, por exemplo, a **ação eletrodinâmica recíproca de um ímã e um condutor**. O **fenômeno observável** aqui depende apenas do **movimento relativo** do condutor e do ímã, enquanto a **visão habitual** estabelece uma **distinção nítida entre os dois casos**, nos quais um ou outro desses corpos está em movimento. Porque, se o **ímã está em movimento** e o **condutor em repouso**, surge na vizinhança do ímã um **campo elétrico** com uma certa energia definida, **produzindo uma corrente** nos locais onde partes do condutor estão situados. Mas se o **ímã está estacionário** e o **condutor em movimento**, **nenhum campo elétrico surge** na vizinhança do ímã. No condutor, no entanto, encontramos uma **força eletromotriz**, para a qual, por si só, não há energia correspondente, mas que **dá origem** (...) a **correntes elétricas de mesmo caminho e intensidade** como os produzidos pelas **forças elétricas** no primeiro caso.”



# Indução Eletromagnética

Nosso experimento prevê a indução:



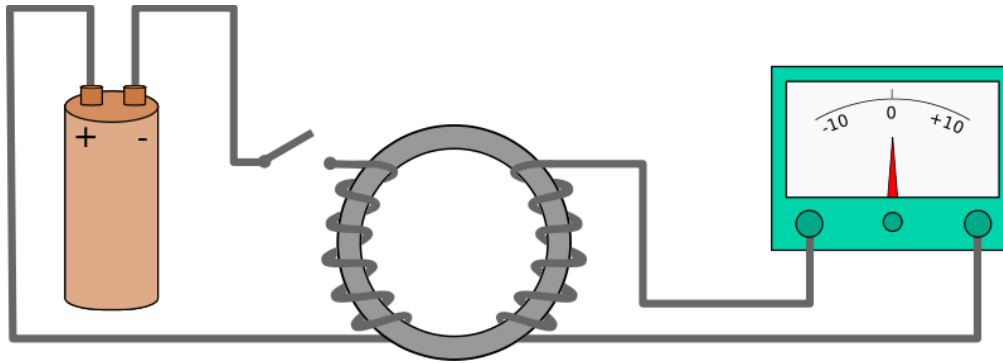
Uma dica:

$$\begin{cases} \mathbf{I} = \frac{dQ}{dt} \\ \mathbf{J} = \rho_v \mathbf{v} \end{cases}$$

Os experimentos de Michael Faraday com o magnetismo mostraram, pela primeira vez, **uma relação entre campos magnéticos e campos elétricos:**

**MAGNETISMO vs. ELETRICIDADE**

→ TEMPO ←

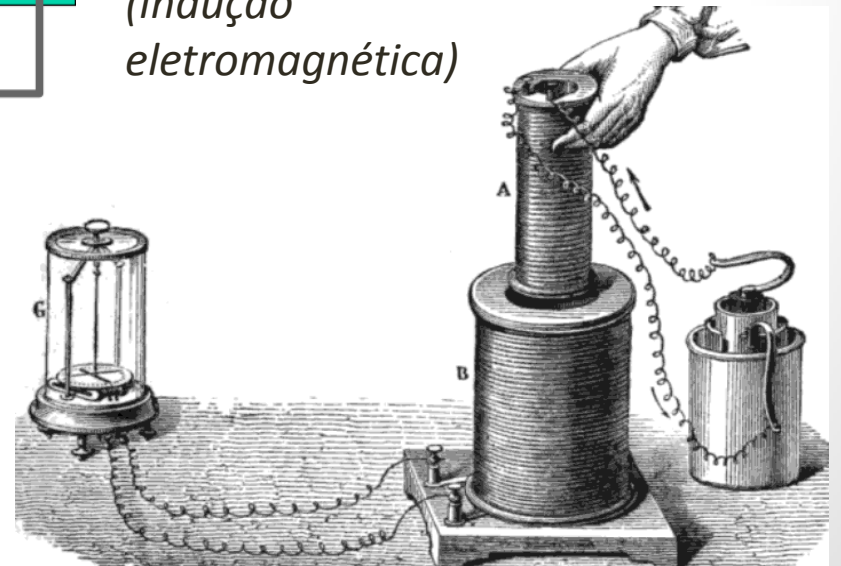


*Corrente variante no tempo  
(efeito transformador – indução mútua)*

*Para ir do magnetismo p/ eletricidade:*

$$\mathbf{B} \rightarrow \mathbf{E} \Rightarrow \frac{\partial \mathbf{B}}{\partial t}$$

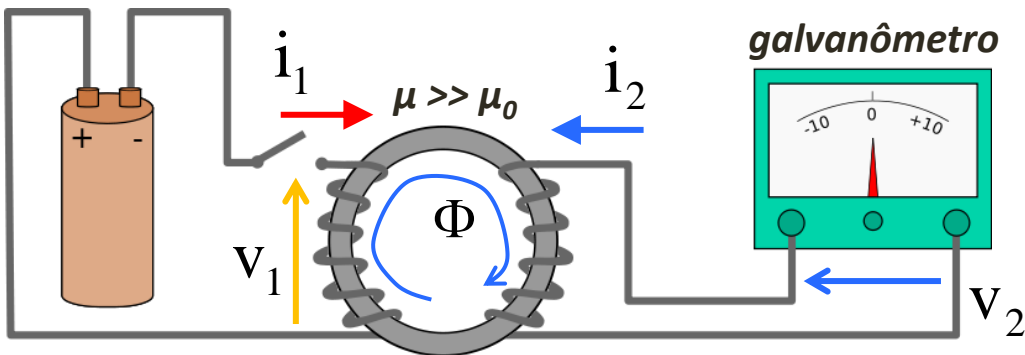
*Campo magnético variante no tempo-espço  
(indução eletromagnética)*



# Indução Eletromagnética

Os experimentos de Michael Faraday  
**MAGNETISMO vs. ELETRICIDADE**

Corrente variante no tempo  
 (efeito transformador – indução mútua)

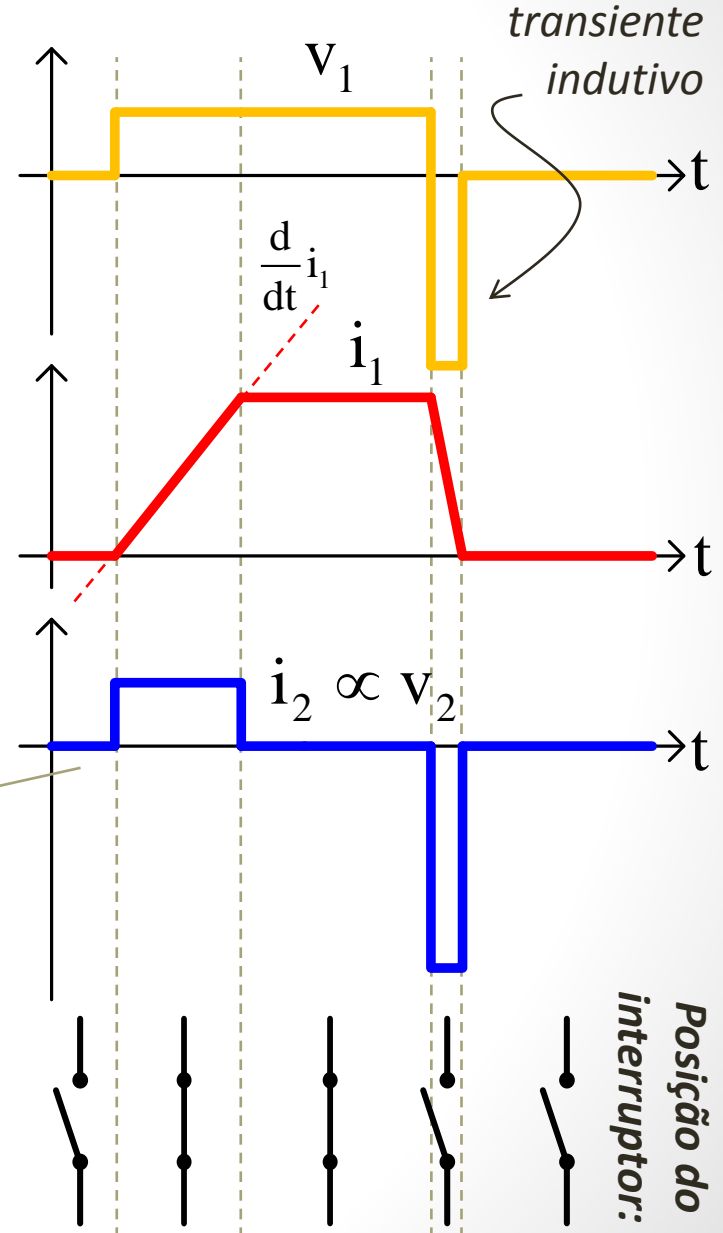


Parece que:  $V_2 \propto \frac{d}{dt} i_1$

Como o único  
 acoplamento que  
 existe é **MAGNÉTICO**:

$$V \propto \frac{d}{dt} \Phi$$

$$(\Phi \propto N \cdot i)$$



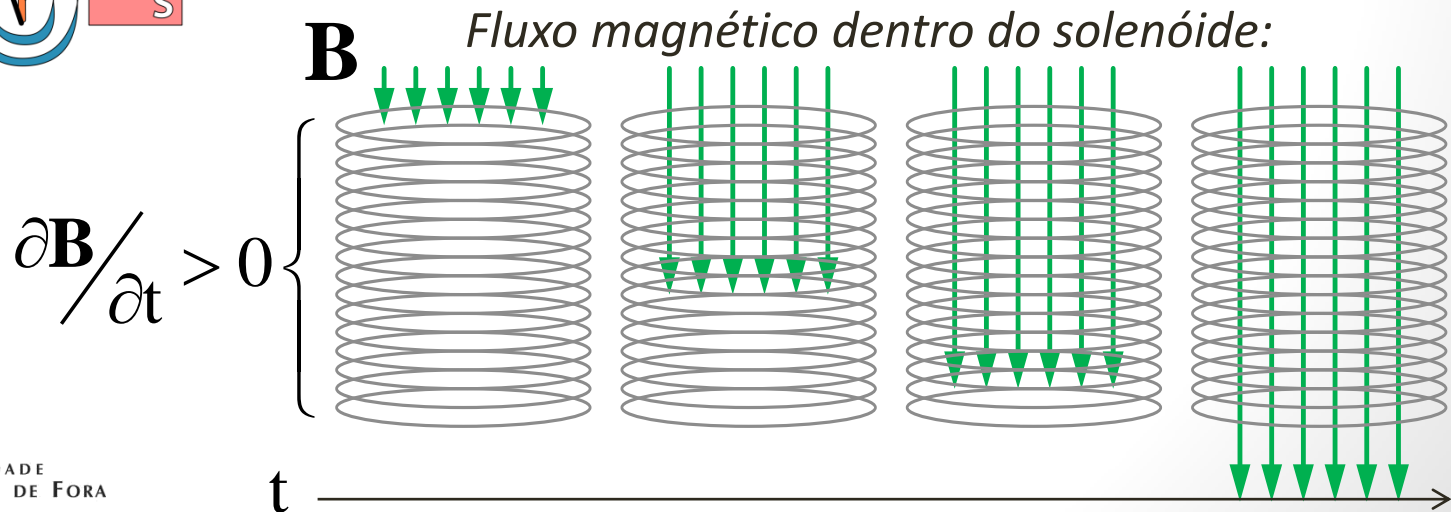
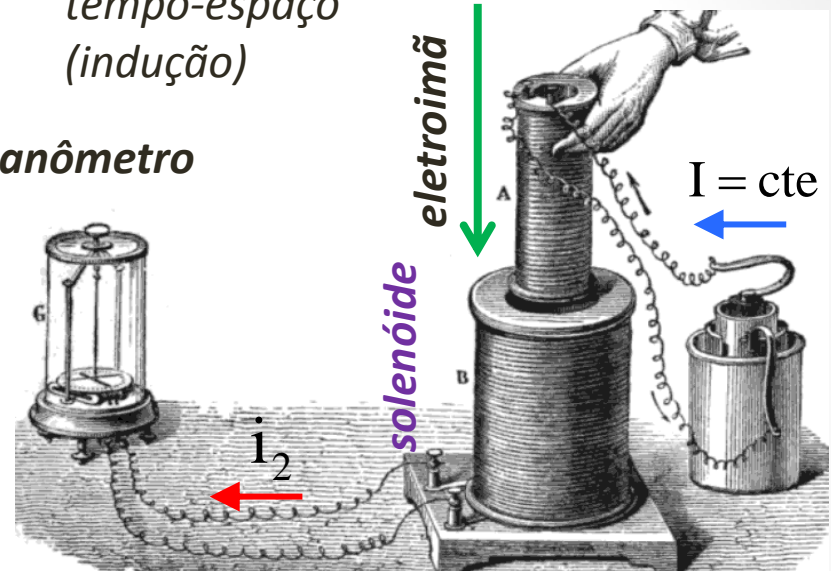
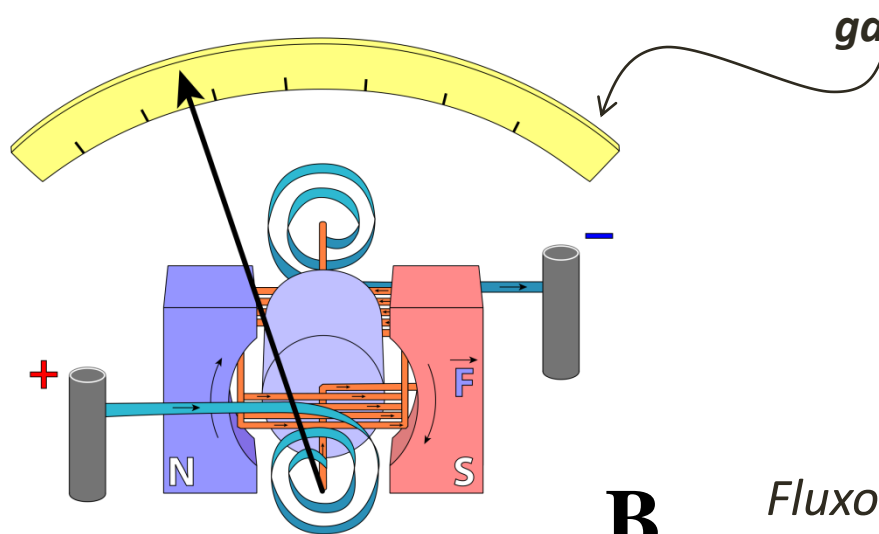
Posição do  
 interruptor:



# Indução Eletromagnética

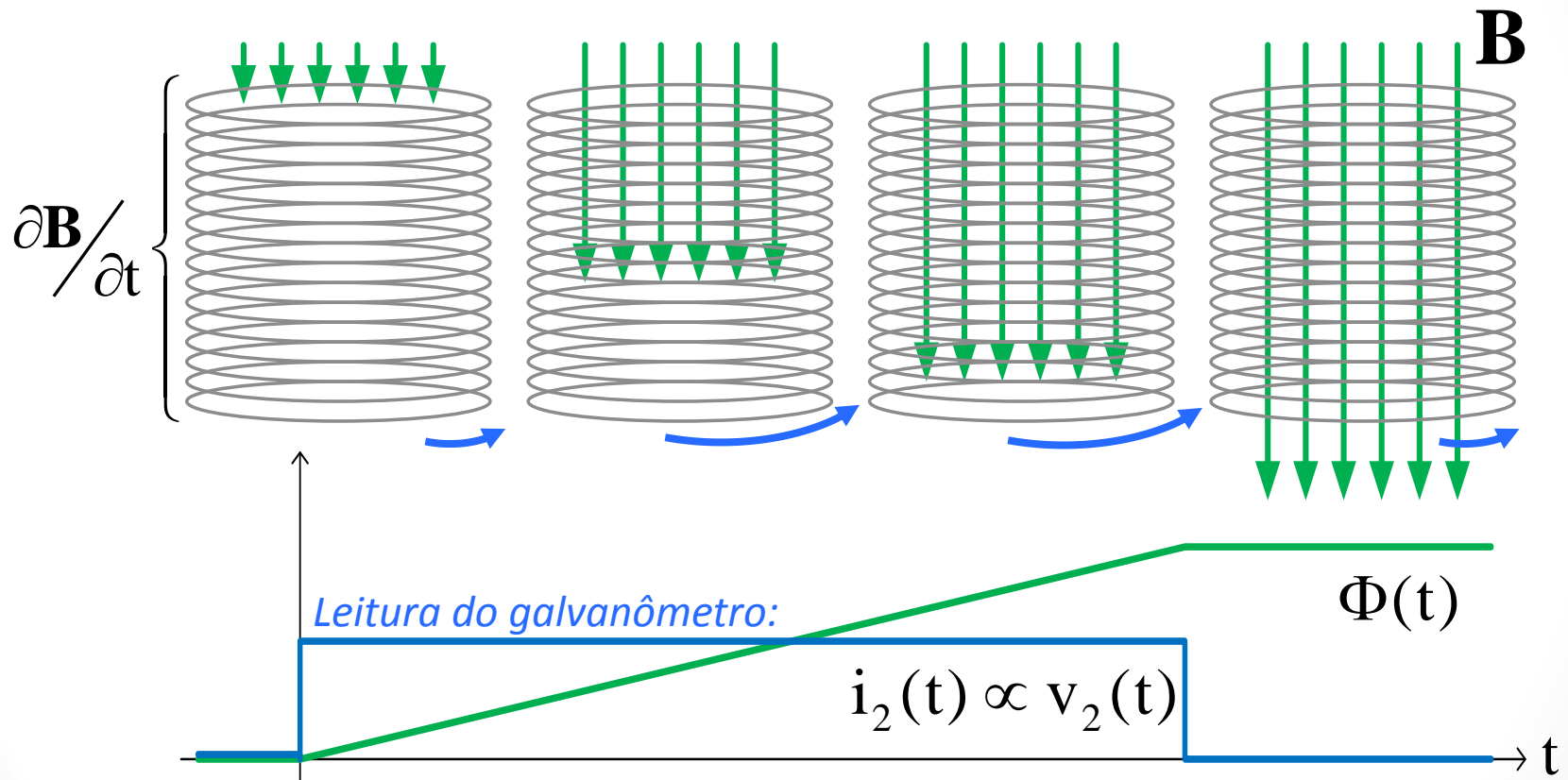
Os experimentos de Michael Faraday  
**MAGNETISMO** vs. **ELETRICIDADE**

*Campo magnético variante no tempo-espço (indução)*



# Indução Eletromagnética

Os experimentos de Michael Faraday  
**MAGNETISMO** vs. **ELETRICIDADE**



Novamente,  
parece que:

$$v \propto \frac{d}{dt} \Phi$$

Como provar que é uma  
**tensão induzida**, e não  
uma **corrente induzida**?

# Lei de Faraday-Lenz

$$\text{f.e.m.} = v_{\text{ind}} = -N \frac{d}{dt} \Phi$$

- M. Faraday descobriu experimentalmente o princípio da indução eletromagnética.
- Heinrich Lenz propôs o **sentido da tensão** induzida (ou f.e.m.) – sinal negativo.

O **sentido da indução** é aquele que resulta numa f.e.m. que produziria uma corrente cujo campo magnético associado (induzido) tenta **se opor à variação**.

A origem disto é simples:

*consistência do*

eletromagnetismo c/ a

**3ª Lei de Newton**

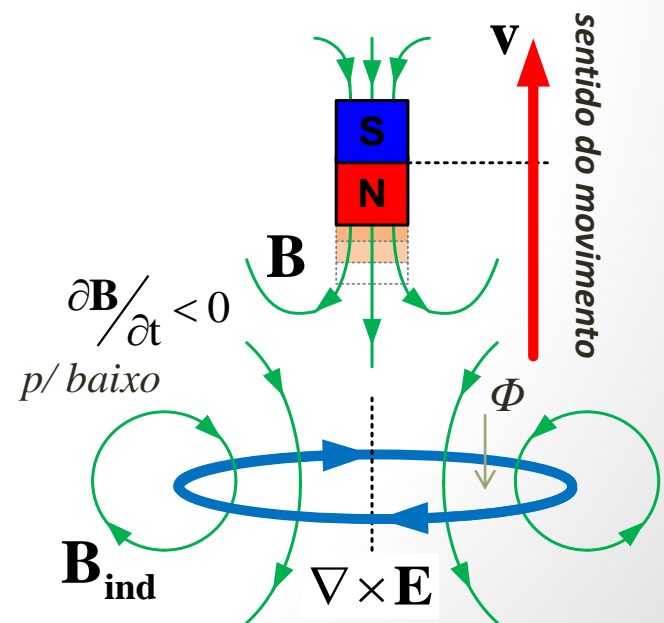
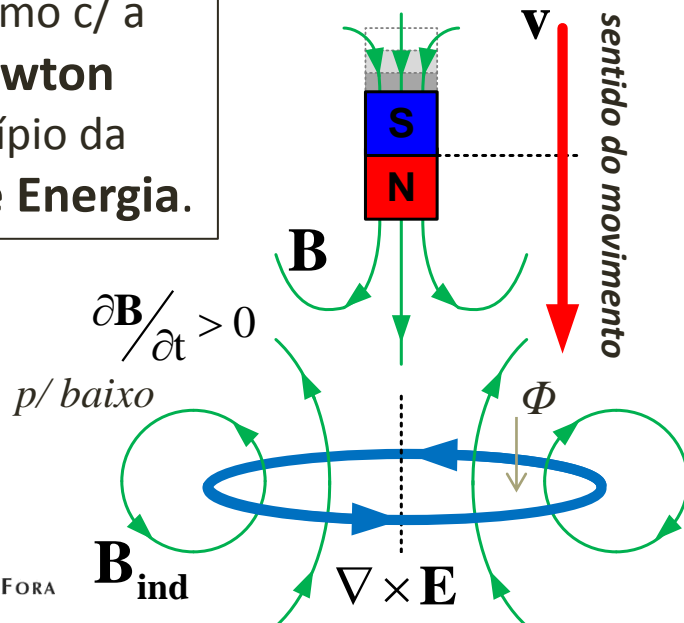
& com o princípio da

**Conservação de Energia.**

→ O campo magnético quer permanecer imperturbado:

*Φ através da espira aumentando*

*Φ através da espira diminuindo*

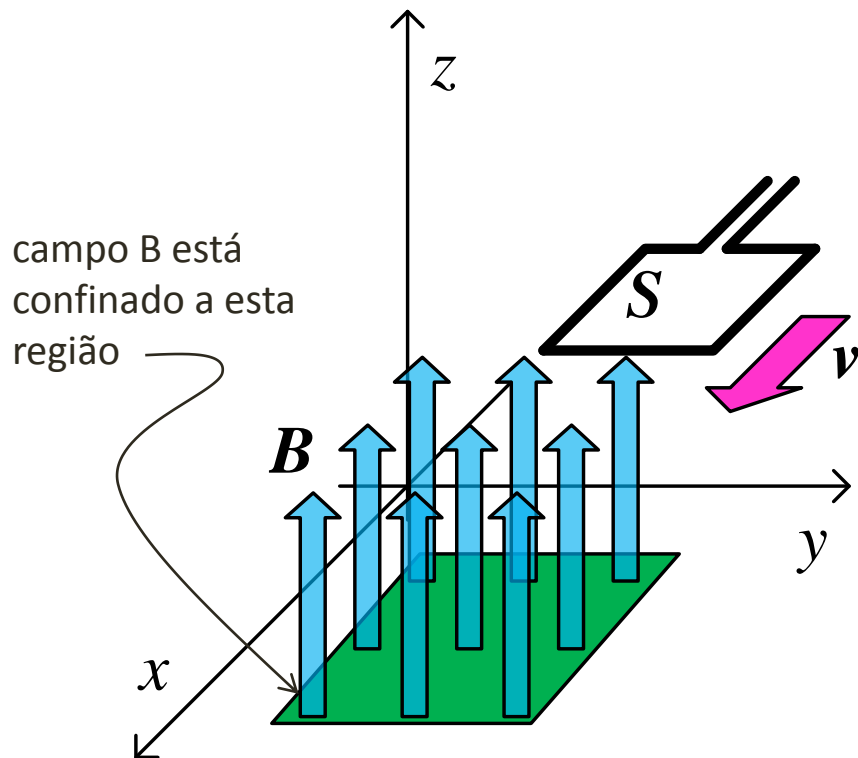


# Lei de Faraday-Lenz

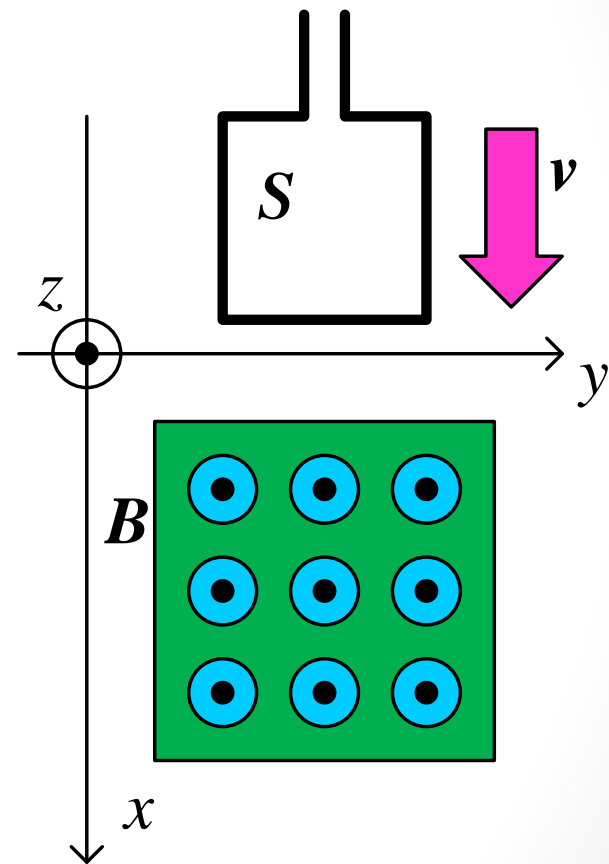
$$\text{f.e.m.} = -N \frac{d}{dt} \Phi$$

## Experimento mental:

uma espira condutora penetrando uma região do espaço que contém um campo magnético uniforme



campo  $B$  está confinado a esta região

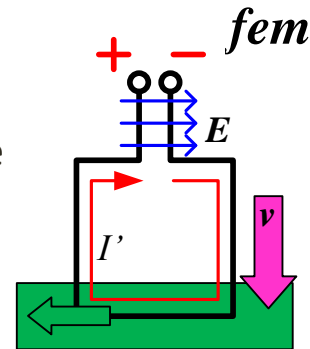
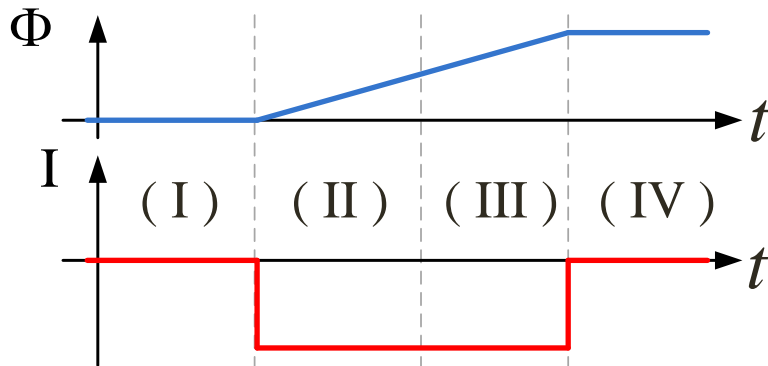


Lembrando que: 
$$\Phi = \iint_S \mathbf{B} \cdot d\mathbf{S}$$

# Lei de Faraday-Lenz

Experimento mental:

uma espira condutora penetrando uma região do espaço que contém um campo magnético uniforme



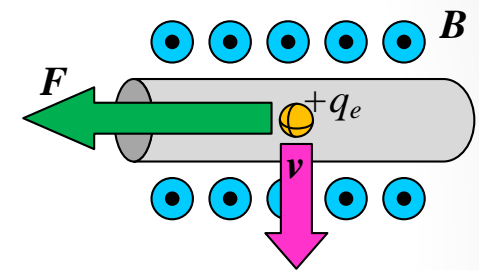
$I \rightarrow$  referenciada no sentido positivo (anti-horário)

$$f.e.m. = -N \frac{d}{dt} \Phi$$

$$\Phi = \iint_S \mathbf{B} \cdot d\mathbf{S}$$

$$\mathbf{F} = q_e \mathbf{v} \times \mathbf{B}$$

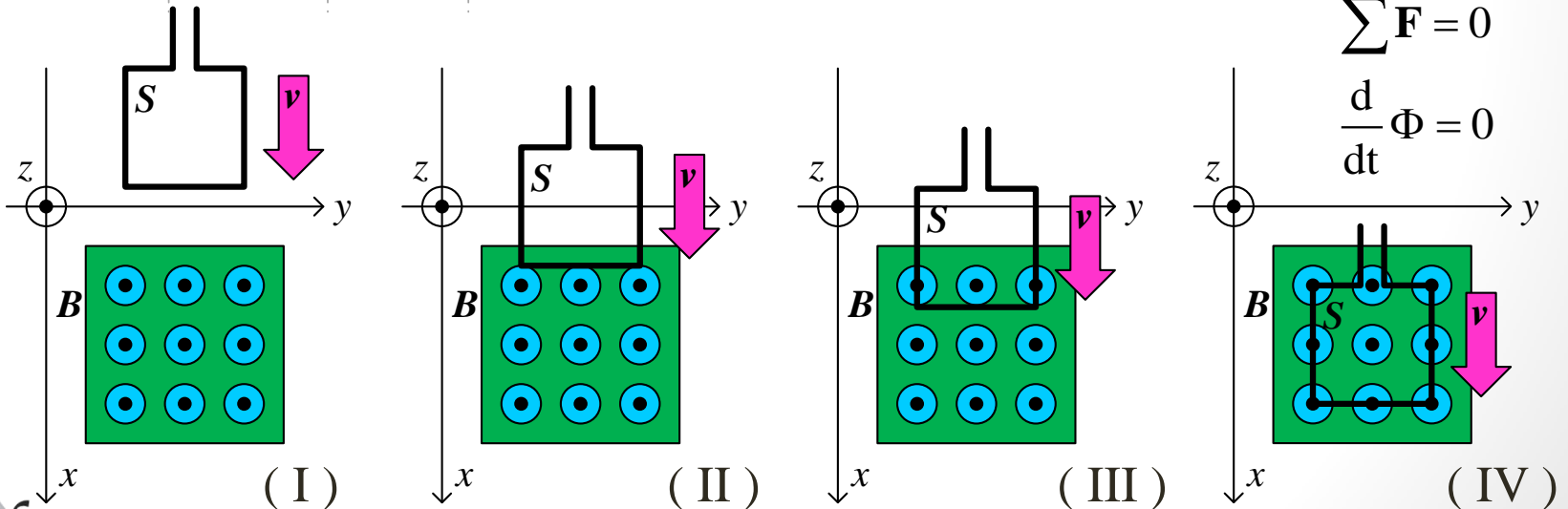
Lorentz:



$$\sum \mathbf{F} = 0$$

$$\frac{d}{dt} \Phi = 0$$

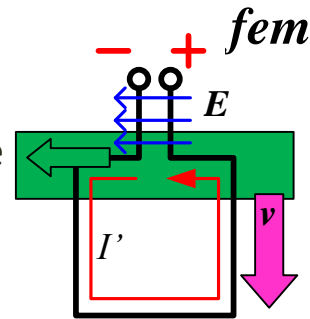
Espira entrando



# Lei de Faraday-Lenz

**Experimento mental:**

uma espira condutora penetrando uma região do espaço que contém um campo magnético uniforme



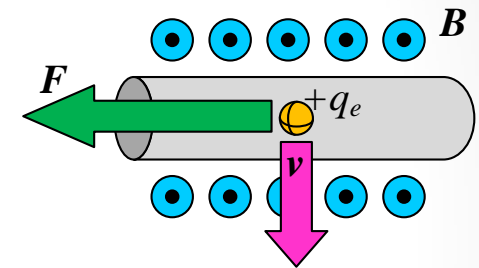
$I \rightarrow$  referenciada no sentido positivo (anti-horário)

$$\text{f.e.m.} = -N \frac{d}{dt} \Phi$$

$$\Phi = \iint_S \mathbf{B} \cdot d\mathbf{S}$$

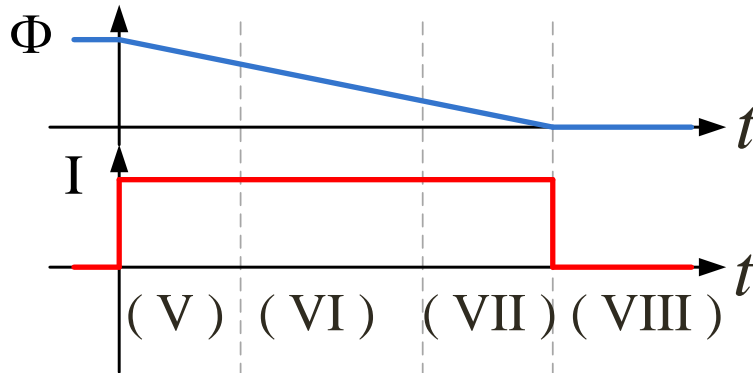
$$\mathbf{F} = q_e \mathbf{v} \times \mathbf{B}$$

Lorentz:

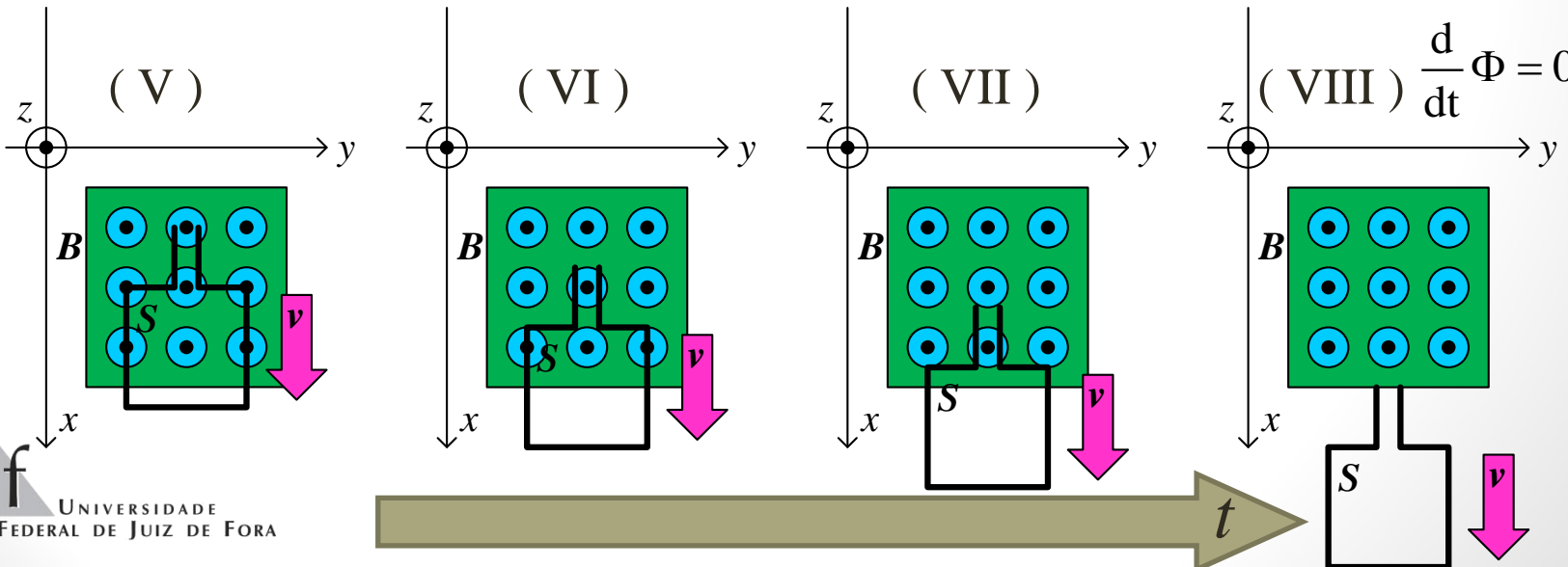


$$\sum \mathbf{F} = 0$$

$$\frac{d}{dt} \Phi = 0$$

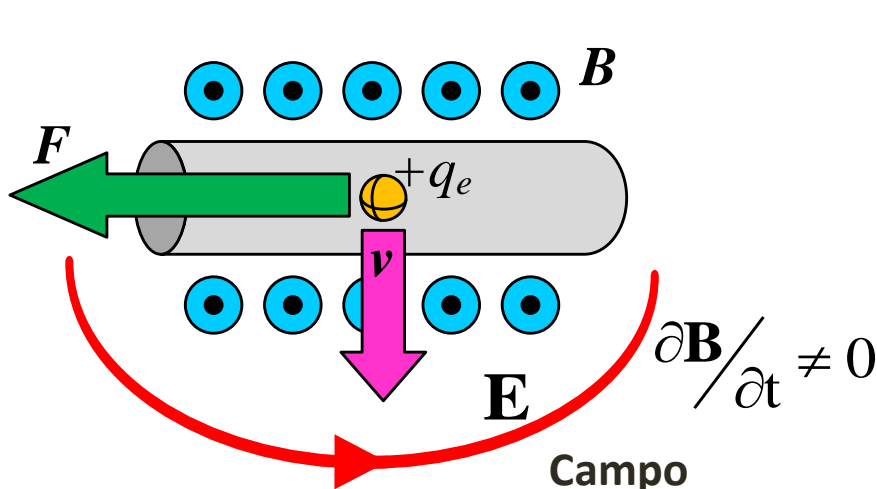


Espira saindo



# Lei de Faraday-Lenz

Neste caso, podemos notar que a indução é, de certa forma, uma consequência da força de Lorentz atuando sobre os portadores de carga no condutor

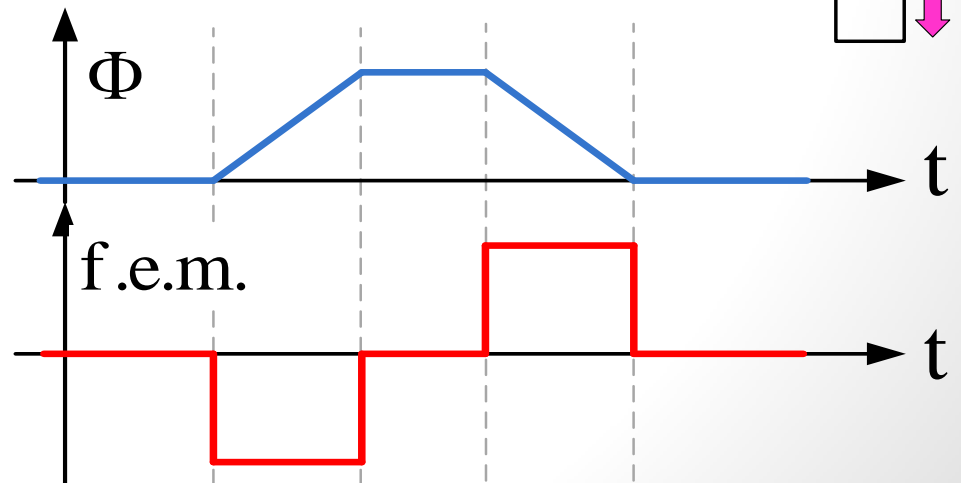
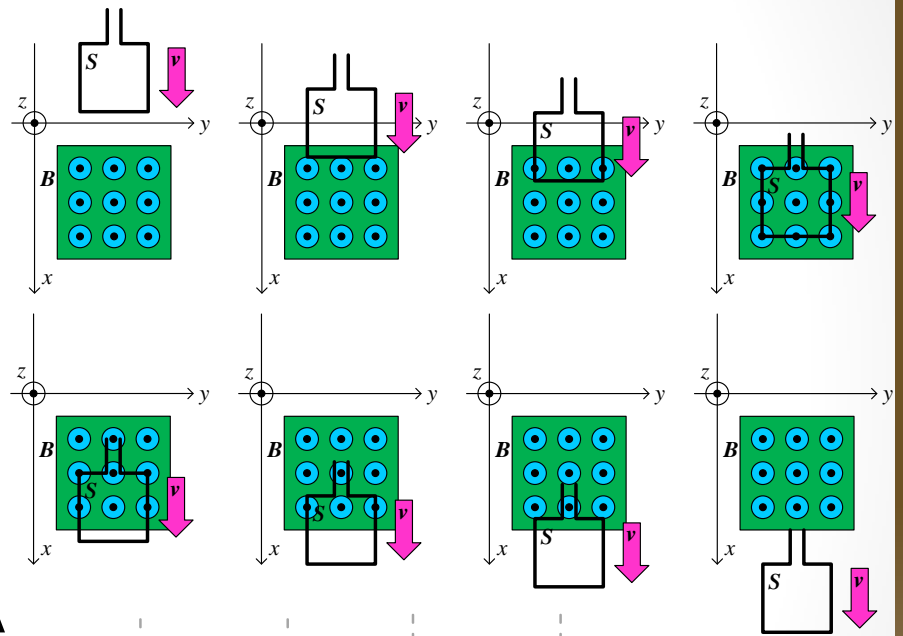


Faraday & Lorentz:

$$\text{f.e.m.} = -N \frac{d}{dt} \Phi$$

$$\mathbf{F} = q_e \mathbf{v} \times \mathbf{B}$$

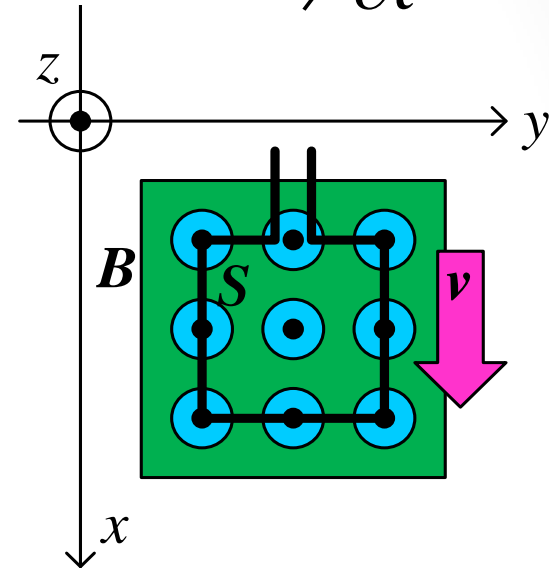
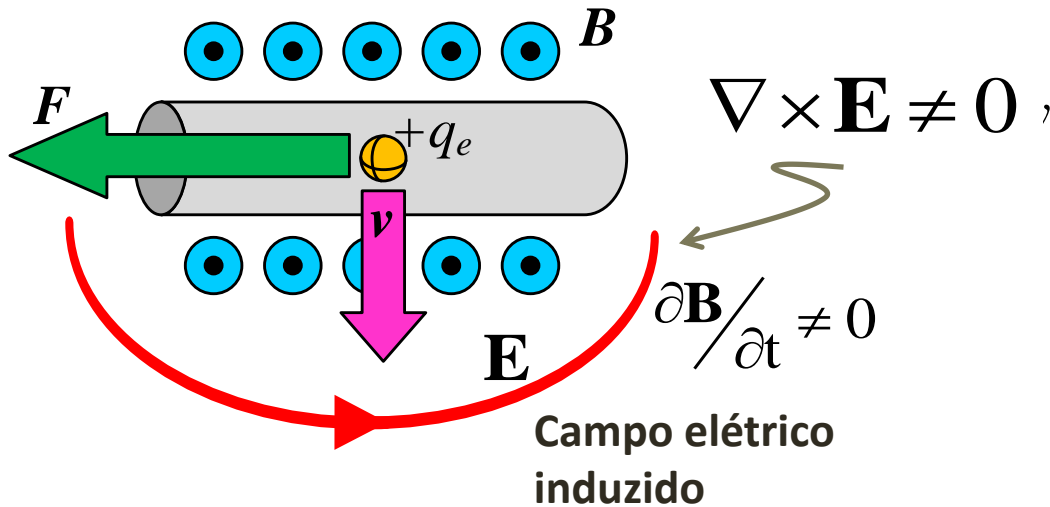
Campo elétrico induzido  
(resulta da migração de carga)



# Lei de Faraday-Lenz

Uma vez que temos uma situação dinâmica como esta...

$$\frac{\partial \mathbf{B}}{\partial t} \neq 0$$



~~Condição eletrostática~~

Veremos que:

$$\oint_C \mathbf{E} \cdot d\mathbf{L} = - \frac{\partial}{\partial t} \iint_S \mathbf{B} \cdot d\mathbf{S}$$

ou

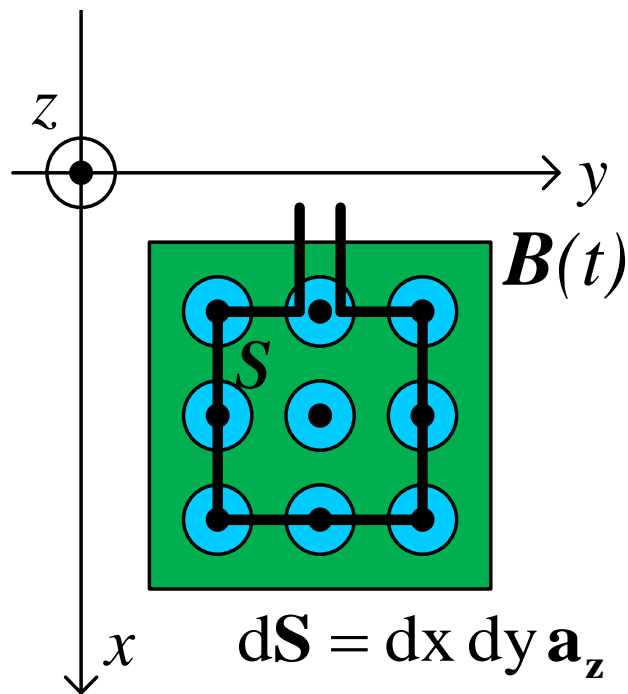
$$\nabla \times \mathbf{E} = - \frac{\partial}{\partial t} \mathbf{B}$$

~~$\oint_C \mathbf{E} \cdot d\mathbf{L} = 0$   
(conservativo)~~



# Lei de Faraday-Lenz

Mesmo **sem haver movimento**, teremos uma tensão induzida se o fluxo variar. Se, ao invés de penetrar a espira no campo, a mantivermos fixa no espaço e **variarmos o campo B continuamente no tempo**:



Exemplo:  $\mathbf{B}(t) = B_0 \sin(\omega t) \mathbf{a}_z$

Como:  $\Phi(t) = \iint_S \mathbf{B}(t) \cdot d\mathbf{S}$

$$\begin{aligned} \Phi(t) &= B_0 \sin(\omega t) \iint_S |d\mathbf{S}| = \\ &= B_0 S \sin(\omega t) \end{aligned}$$

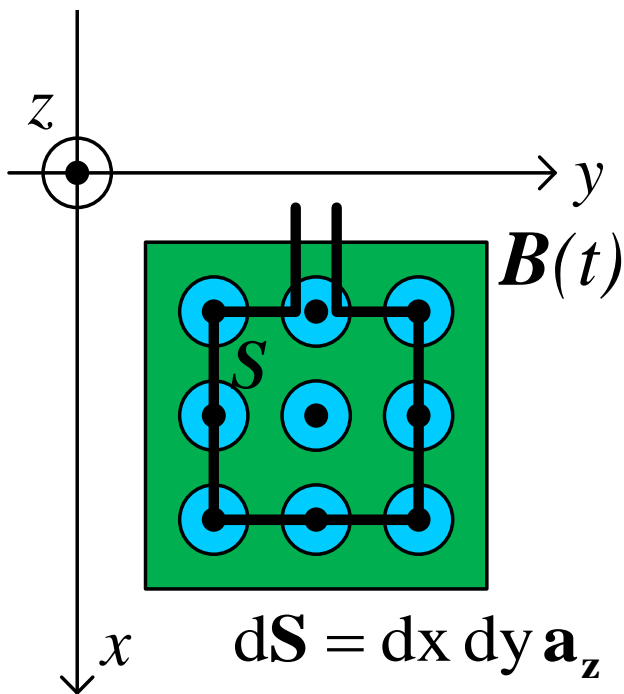
Aplicando Faraday-Lenz:

$$v_{\text{ind}}(t) = -\frac{d}{dt} \Phi(t) = -B_0 S \omega \cos(\omega t)$$

Há uma **tensão senoidal induzida** na espira, cuja amplitude depende da **amplitude do campo magnético**, da **área da espira** e da **frequência de variação do campo**!

# Lei de Faraday-Lenz

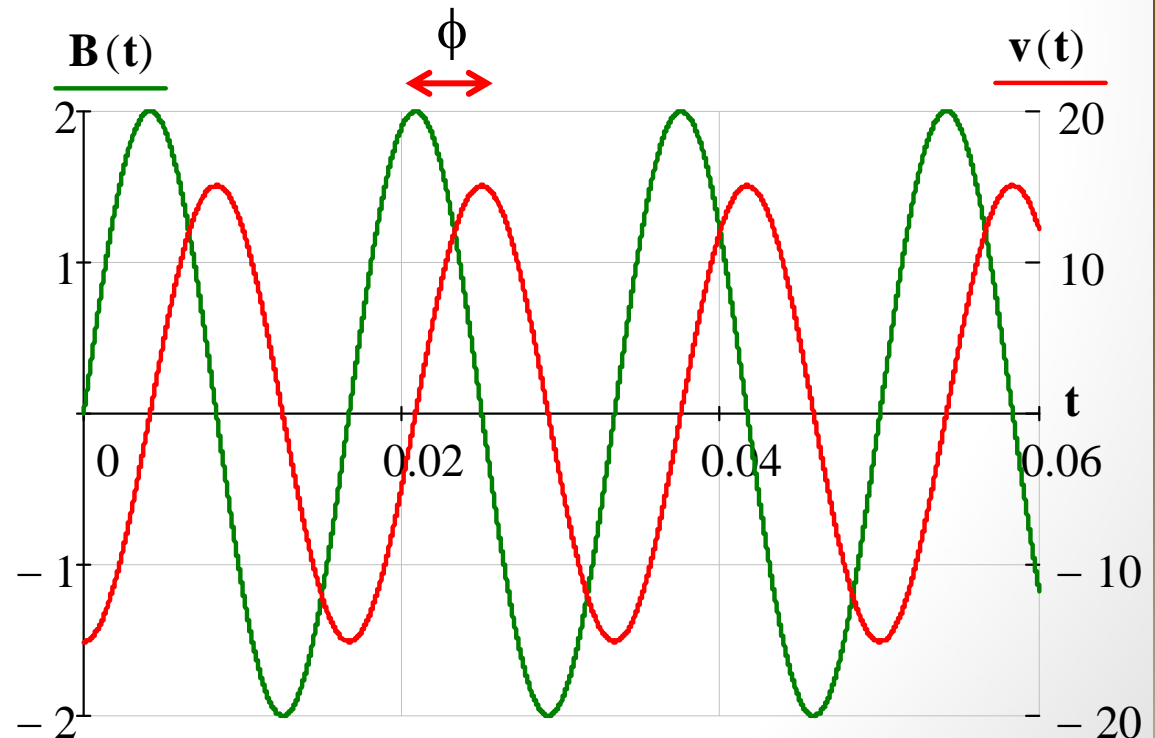
Mesmo **sem haver movimento**, teremos uma tensão induzida se o fluxo variar. Se, ao invés de penetrar a espira no campo, a mantivermos fixa no espaço e **variarmos o campo B continuamente no tempo**:



$$\mathbf{B}(t) = B_0 \sin(\omega t) \mathbf{a}_z$$

$$v_{\text{ind}}(t) = -B_0 S \omega \cos(\omega t)$$

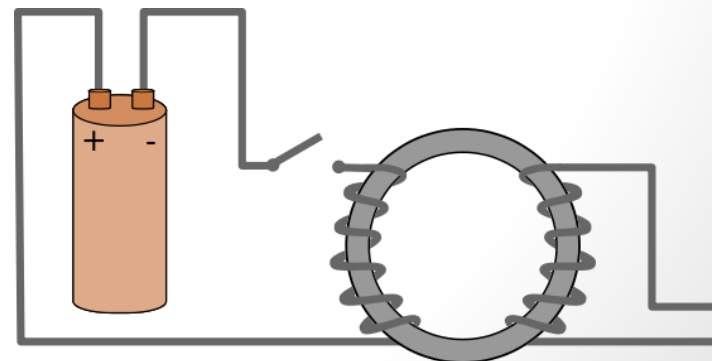
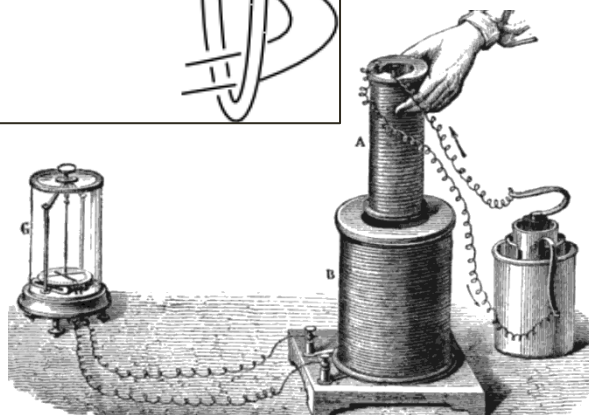
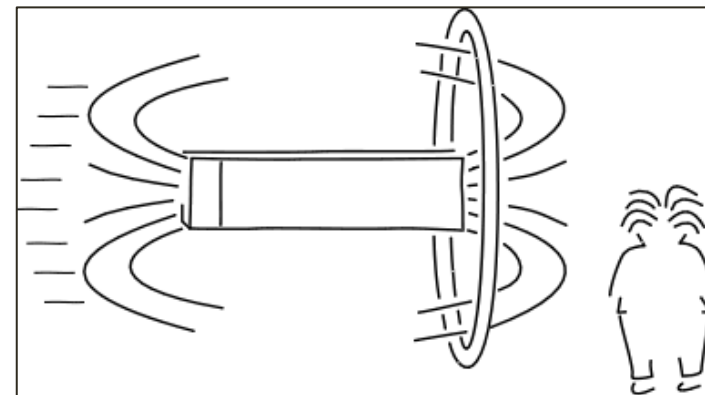
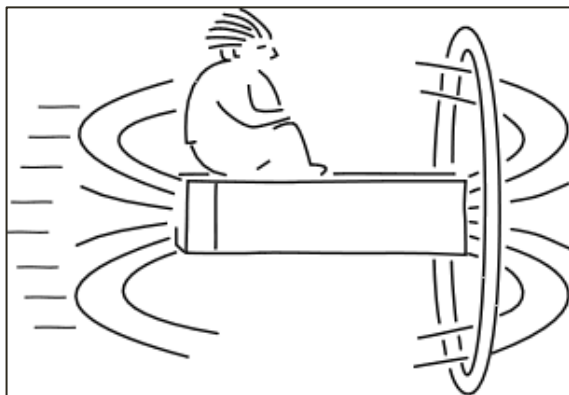
$$\begin{cases} B_0 = 2 \text{ T} \\ S = 0,02 \text{ m}^2 \\ \omega = 2\pi 60 \text{ rad/s} \end{cases}$$



# Generalizando a Lei de Faraday

Historicamente, a partir das descobertas de Faraday e os experimentos mostrados, acreditava-se que a “força eletromotriz – f.e.m.” era dividida em dois tipos (antes da explicação que a *relatividade especial* nos fornece):

- a força eletromotriz de **movimento** (“motional emf”)
- a força eletromotriz **induzida** (“induced emf”)



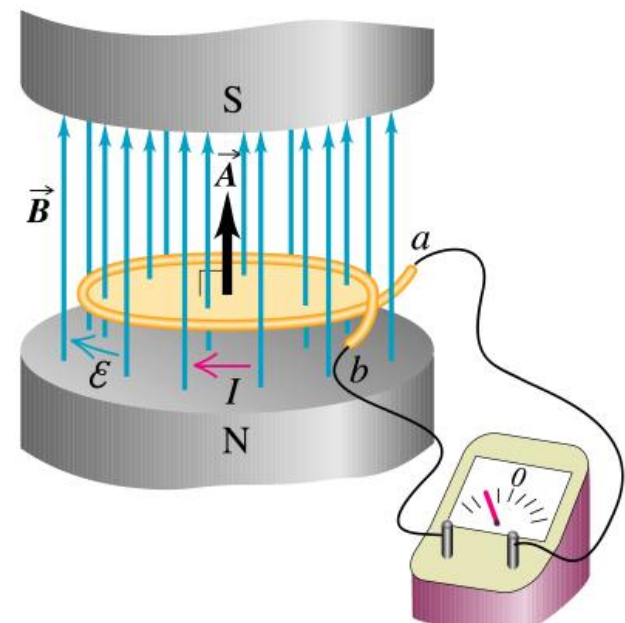
# Generalizando a Lei de Faraday

Historicamente, a partir das descobertas de Faraday e os experimentos mostrados, acreditava-se que a “**força eletromotriz – f.e.m.**” era dividida em dois tipos (antes da explicação que a **relatividade especial** nos forneceu):

- a força eletromotriz de **movimento** (“motional emf”)
- a força eletromotriz **induzida** (“induced emf”)

A **forma escalar** como a lei foi explicada por Faraday & Lenz (através da mudança temporal do fluxo magnético,  $d\Phi/dt$ ) pode ser inclusive **inválida** em alguns contextos, chegando a prever **paradoxos**.

$$v_{\text{ind}}(t) = - \frac{d}{dt} \Phi(t)$$



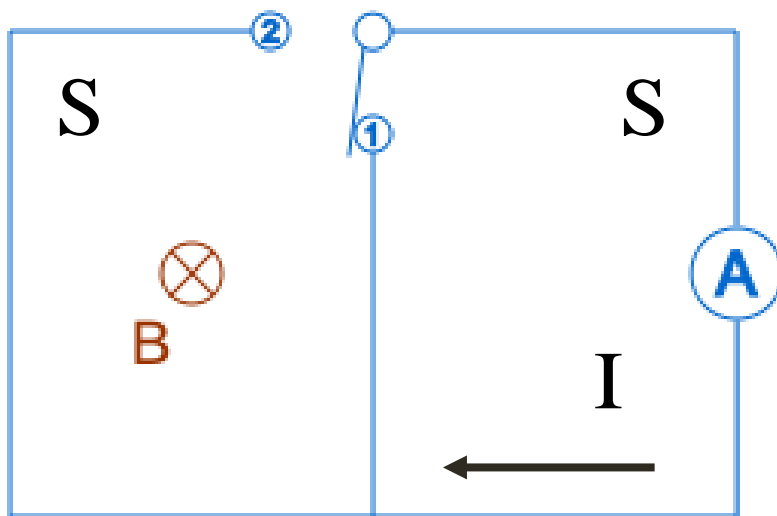
**Estritamente falando, só é válida para um circuito fechado, composto por laço(s) de fio(s) infinitamente fino(s) – elementos infinitesimais de corrente!**

# Generalizando a Lei de Faraday

## Alguns paradoxos de Faraday:

- quando a lei escalar **prevê que existirá uma f.e.m. induzida**, mas **é observada uma f.e.m. nula** na prática.
- quando a lei escalar **prevê que não existirá uma f.e.m. induzida**, mas **é observada uma f.e.m. induzida**.

**Exemplo:** experimento de Tilley  
(circuito de 2 malhas de áreas idênticas)



1. O campo **B** é uniforme em todo o circuito.
2. A chave muda da posição 1 para a posição 2.
3. Observa-se o galvanômetro.

O fluxo muda:

$$\begin{cases} \Phi_1 = BS \\ \Phi_2 = 2BS \end{cases}$$

Faraday prevê:

$$\text{f.e.m.} = -\frac{\Phi_2 - \Phi_1}{\Delta t} \Rightarrow I \neq 0$$

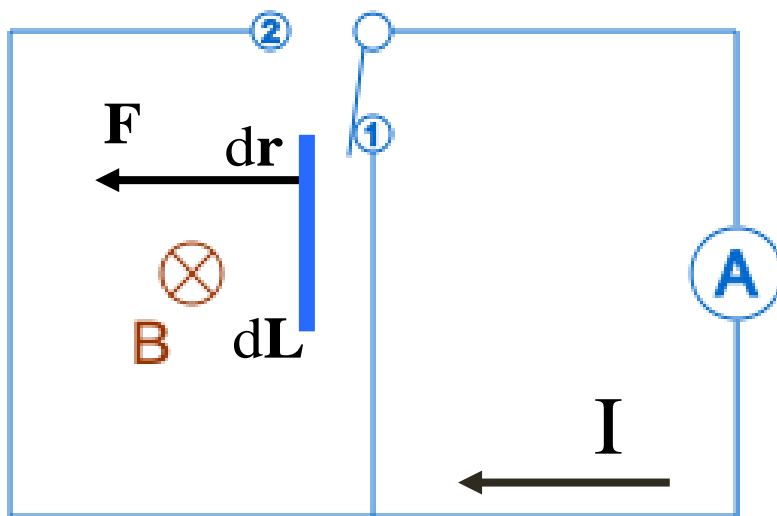
**Mas o experimento não observou deflexão no galvanômetro!**

# Generalizando a Lei de Faraday

## Alguns paradoxos de Faraday:

- quando a lei escalar **prevê que existirá uma f.e.m. induzida**, mas **é observada uma f.e.m. nula** na prática.
- quando a lei escalar **prevê que não existirá uma f.e.m. induzida**, mas **é observada uma f.e.m. induzida**.

**Exemplo:** experimento de Tilley  
(circuito de 2 malhas de áreas idênticas)



$$\text{f.e.m.} = 0 \Rightarrow d\Phi = ?$$

*Para a lei de Faraday ser válida, algum tipo de trabalho tem de ser realizado na produção de um fluxo variante  $\rightarrow$  não é o caso.*

$$\mathbf{F}_{2,1} = I \oint_{C_1} d\mathbf{L}_1 \times \mathbf{B}_2$$

*força sobre o fio 1*

$$dW = d\mathbf{F} \cdot d\mathbf{r} = I \mathbf{B} \cdot d\mathbf{S} = I d\Phi$$

$(d\mathbf{S} = d\mathbf{r} \times d\mathbf{L})$

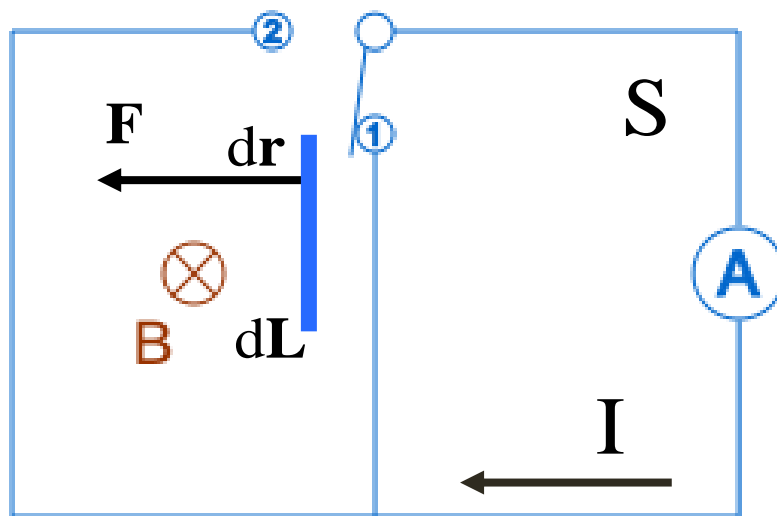
*trabalho realizado em um segmento  $d\mathbf{L}$  deslocado por  $d\mathbf{r}$  em  $\mathbf{B}$*

# Generalizando a Lei de Faraday

## Alguns paradoxos de Faraday:

- quando a lei escalar **prevê que existirá uma f.e.m. induzida**, mas **é observada uma f.e.m. nula** na prática.
- quando a lei escalar **prevê que não existirá uma f.e.m. induzida**, mas **é observada uma f.e.m. induzida**.

**Exemplo:** experimento de Tilley  
(circuito de 2 malhas de áreas idênticas)



$$f.e.m. =$$

$$= \oint_C (\mathbf{E} + \mathbf{v} \times \mathbf{B}) \cdot d\mathbf{L}$$

O galvanômetro só mede o primeiro termo

*(não dá pra medir uma f.e.m. onde não tem condutor!)*

# Generalizando a Lei de Faraday

Maxwell corrigiu a distorção generalizando a lei de Faraday de uma **forma escalar** para uma **forma vetorial**, que dá a variação temporal do vetor densidade de fluxo magnético.

Como:

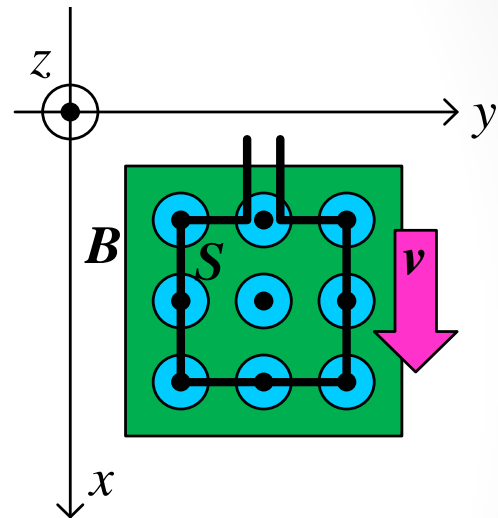
$$\Phi = \iint_S \mathbf{B} \cdot d\mathbf{S} \quad \Rightarrow \quad \frac{d\Phi}{dt} = \frac{\partial}{\partial t} \iint_S \mathbf{B} \cdot d\mathbf{S}$$

Lembrando que não estamos mais numa condição eletrostática, portanto:

$$\oint_C \mathbf{E} \cdot d\mathbf{L} \neq 0$$

A tensão num circuito fechado C, então, pode ser diferente de zero  $\rightarrow$  ou seja, pode haver tensão induzida (isto é resultado dos experimentos de Faraday em si):

$$V = \oint_C \mathbf{E} \cdot d\mathbf{L} = \text{f.e.m.}$$



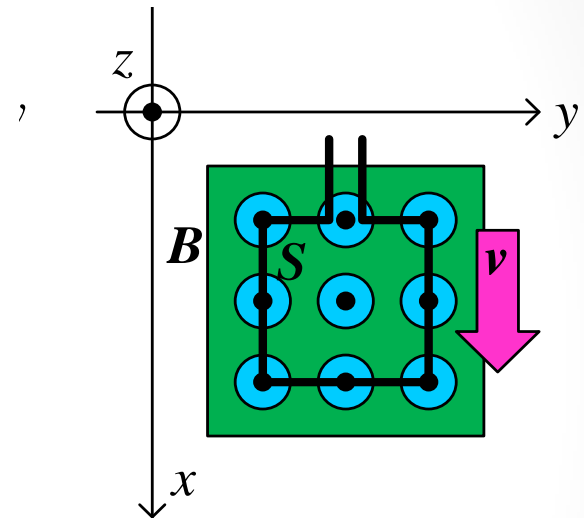


# Generalizando a Lei de Faraday

Maxwell corrigiu a distorção generalizando a lei de Faraday de uma **forma escalar** para uma **forma vetorial**, que dá a variação temporal do vetor densidade de fluxo magnético.

Temos então:

$$\frac{d\Phi}{dt} = \frac{\partial}{\partial t} \iint_S \mathbf{B} \cdot d\mathbf{S}$$
$$\mathcal{V} = \oint_C \mathbf{E} \cdot d\mathbf{L}$$



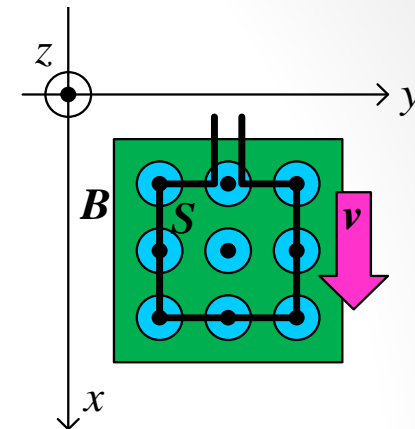
A Lei de Faraday iguala ambos os termos (observe o sinal da Lei de Lenz):

$$\oint_C \mathbf{E} \cdot d\mathbf{L} = - \frac{\partial}{\partial t} \iint_S \mathbf{B} \cdot d\mathbf{S} \neq 0$$

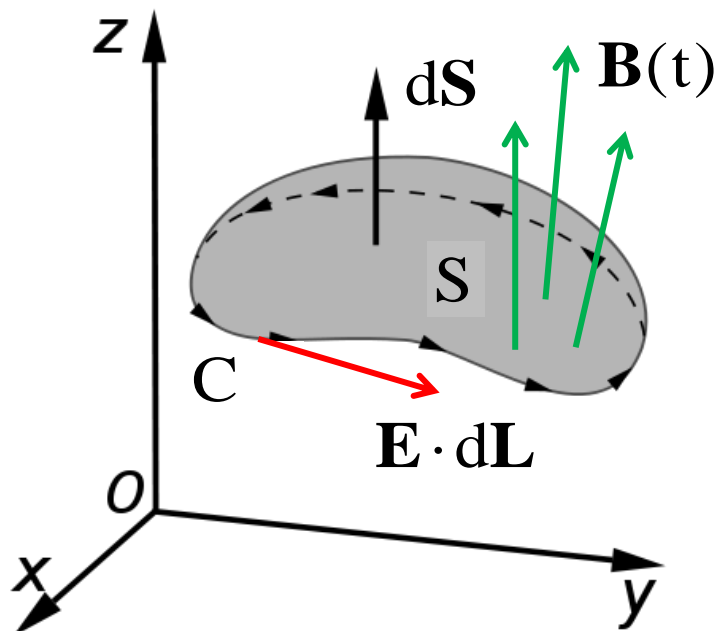
Faraday torna o campo elétrico **não conservativo** → pode ser inserida energia através de indução eletromagnética no campo elétrico!

# Generalizando a Lei de Faraday

Maxwell corrigiu a distorção generalizando a lei de Faraday, de uma forma escalar para uma **forma vetorial**, que dá a variação temporal do vetor densidade de fluxo magnético.



$$\oint_C \mathbf{E} \cdot d\mathbf{L} = -\frac{\partial}{\partial t} \iint_S \mathbf{B} \cdot d\mathbf{S} \neq 0$$



Usando o teorema de Stokes:

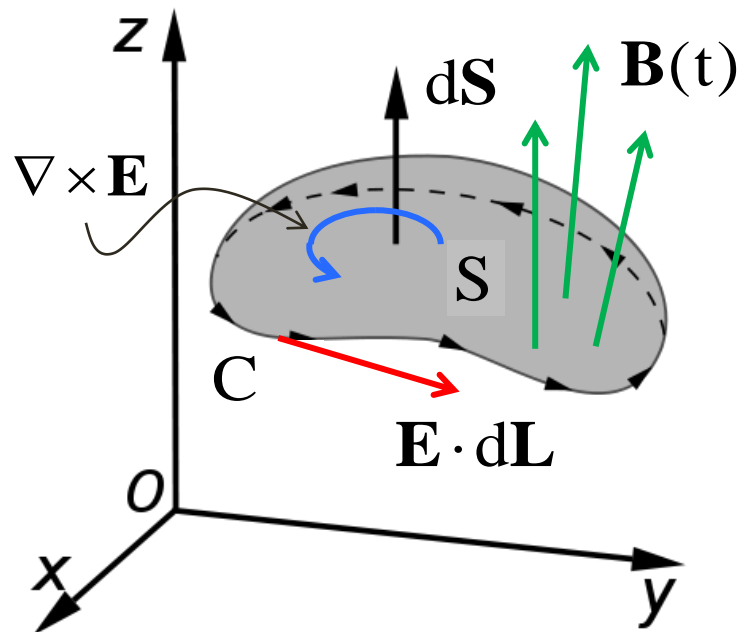
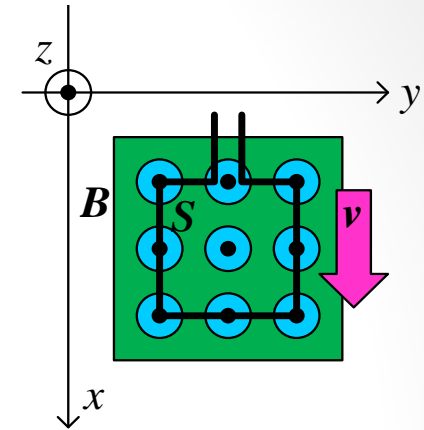
$$\oint_C \mathbf{E} \cdot d\mathbf{L} = \iint_S (\nabla \times \mathbf{E}) \cdot d\mathbf{S}$$

onde C é o **circuito fechado** limítrofe (fronteira) da **superfície aberta** S (através da qual há um vetor de densidade de fluxo magnético)

# Generalizando a Lei de Faraday

Maxwell corrigiu a distorção generalizando a lei de Faraday, de uma forma escalar para uma **forma vetorial**, que dá a variação temporal do vetor densidade de fluxo magnético.

$$\iint_S (\nabla \times \mathbf{E}) \cdot d\mathbf{S} = -\frac{\partial}{\partial t} \iint_S \mathbf{B} \cdot d\mathbf{S} \neq 0$$



Se o integrando tem que ser igual nas duas integrais de fluxo:

$$\nabla \times \mathbf{E} = -\frac{\partial}{\partial t} \mathbf{B}$$

Forma pontual da Lei de Faraday  
(Lei de Faraday-Maxwell)

**“Um campo magnético variante no tempo está sempre acompanhado de um campo elétrico não conservativo variante no espaço e vice-versa”**

Observe o contraste c/ o caso eletrostático, mais uma vez.

# Lei de Faraday-Maxwell

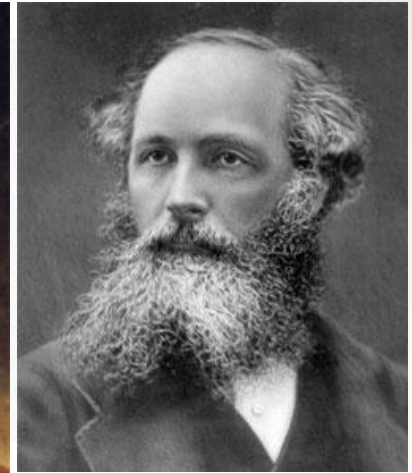
Generalização feita por Maxwell

$$\nabla \times \mathbf{E} = -\frac{\partial}{\partial t} \mathbf{B}$$

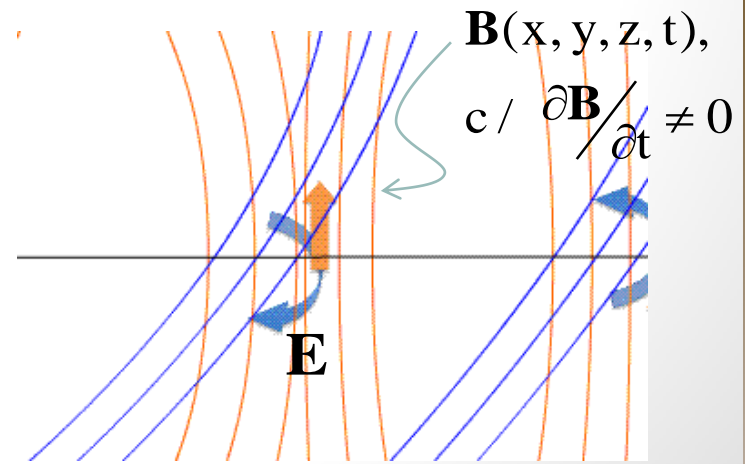
$$\oint_C \mathbf{E} \cdot d\mathbf{L} = -\frac{\partial}{\partial t} \iint_S \mathbf{B} \cdot d\mathbf{S} \neq 0$$

Observe que a conclusão de Maxwell leva a crer que existe um campo elétrico  $\mathbf{E}$  definido para todos os pontos do espaço, independente de haver um circuito fechado (condutor) por onde uma corrente induzida possa fluir.

Desde que  $\mathbf{B}$  varie no tempo, haverá um  $\mathbf{E}$  definido em todo ponto do espaço, resultante desta variação



***“Um campo magnético variante no tempo está sempre acompanhado de um campo elétrico não conservativo variante no espaço e vice-versa”***



# Revisitando a Lei de Ampère

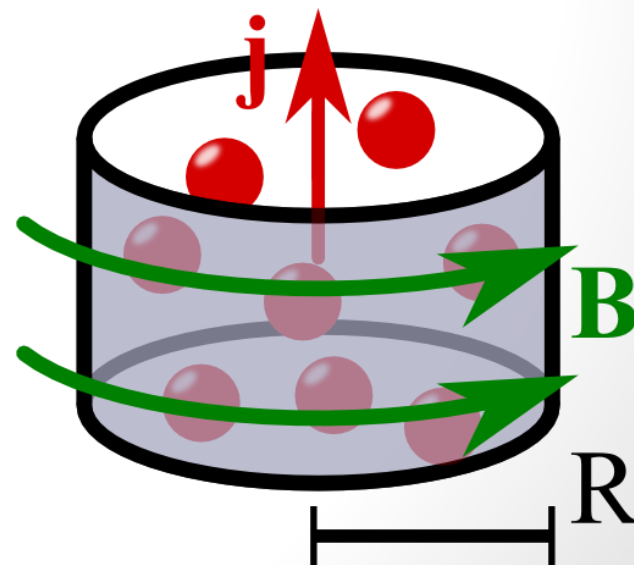
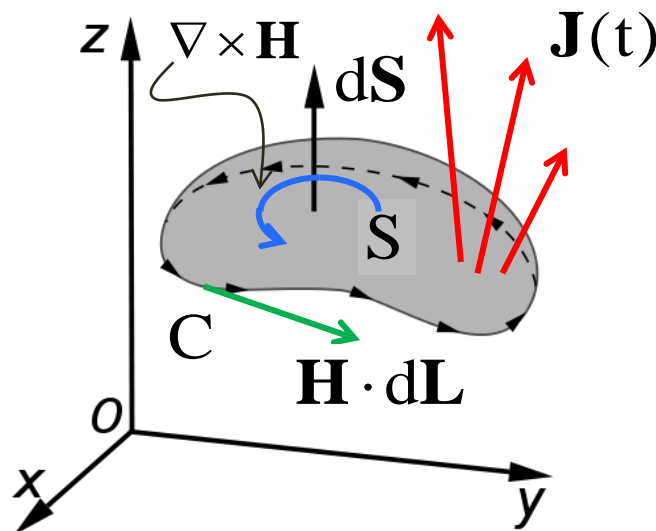
A Lei de Ampère, como declarada para campos magnetostáticos (H gerado por I), também levava a alguns paradoxos quando são consideradas as variações temporais:

$$\oint_C \mathbf{H} \cdot d\mathbf{L} = \iint_S \mathbf{J} \cdot d\mathbf{S} \quad \Rightarrow \quad \nabla \times \mathbf{H} = \mathbf{J}$$

onde C é a **curva fechado** limítrofe (fronteira) da **superfície aberta** S (através da qual há um vetor de densidade de corrente de condução)

No caso magnetostático (também vem do Teorema de Stokes)

**Teorema de Stokes:**  
a integral independe tanto do caminho quanto da superfície escolhida!

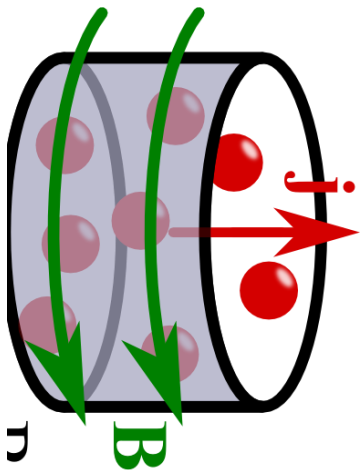


# Revisitando a Lei de Ampère

A Lei de Ampère, como declarada para campos magnetostáticos (H gerado por I), também levava a alguns paradoxos quando são consideradas as variações temporais:

Se considerarmos este resultado da magnetostática:

$$\nabla \times \mathbf{H} = \mathbf{J}$$



Usando a identidade vetorial de que o divergente de um rotacional é sempre nulo:

$$\nabla \cdot (\nabla \times \mathbf{A}) = 0$$

$$\therefore \nabla \cdot (\nabla \times \mathbf{H}) = \nabla \cdot \mathbf{J}$$

A divergência da densidade de corrente é dada pela

**equação da continuidade:**

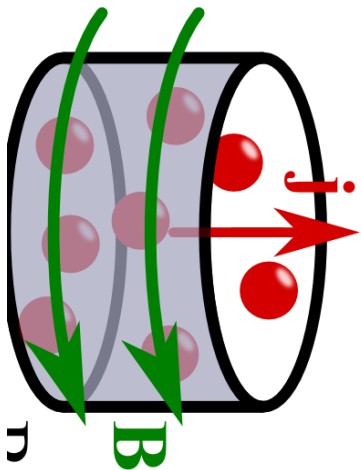
(princípio da conservação de carga)

$$\nabla \cdot \mathbf{J} = -\frac{\partial}{\partial t} \rho_v$$

# Revisitando a Lei de Ampère

A Lei de Ampère, como declarada para campos magnetostáticos (H gerado por I), também levava a alguns paradoxos quando são consideradas as variações temporais:

No caso magnetostático  $\rightarrow \frac{\partial}{\partial t} \rho_v = 0$   $\nabla \times \mathbf{H} = \mathbf{J}$   
(correntes contínuas)



$$\therefore \nabla \cdot \mathbf{J} = -\frac{\partial}{\partial t} \rho_v = 0$$

$$\therefore \nabla \cdot (\nabla \times \mathbf{H}) = \nabla \cdot \mathbf{J} = 0$$

A identidade vetorial é satisfeita!  $\rightarrow$  OK

$$\nabla \cdot (\nabla \times \mathbf{A}) = 0$$

*No caso magnetostático, a expressão da Lei de Ampère está correta.*

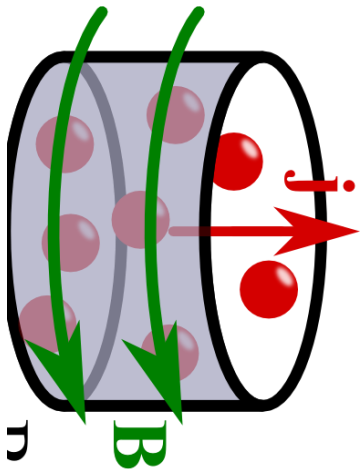
# Revisitando a Lei de Ampère

A Lei de Ampère, como declarada para campos magnetostáticos (H gerado por I), também levava a alguns paradoxos quando são consideradas as variações temporais:

E no caso eletrodinâmico?  $\rightarrow \frac{\partial}{\partial t} \rho_v \neq 0$

$$\nabla \times \mathbf{H} = \mathbf{J}$$

(correntes variantes no tempo  $\rightarrow$  campos variantes no tempo)



$$\nabla \cdot \mathbf{J} \neq 0$$

$$\therefore \nabla \cdot (\nabla \times \mathbf{H}) = \nabla \cdot \mathbf{J} \neq 0$$

A identidade vetorial NÃO é satisfeita!  $\rightarrow$  ????????

$$\nabla \cdot (\nabla \times \mathbf{A}) = 0$$

**No caso ELETRODINÂMICO, a expressão da Lei de Ampère está ERRADA!**



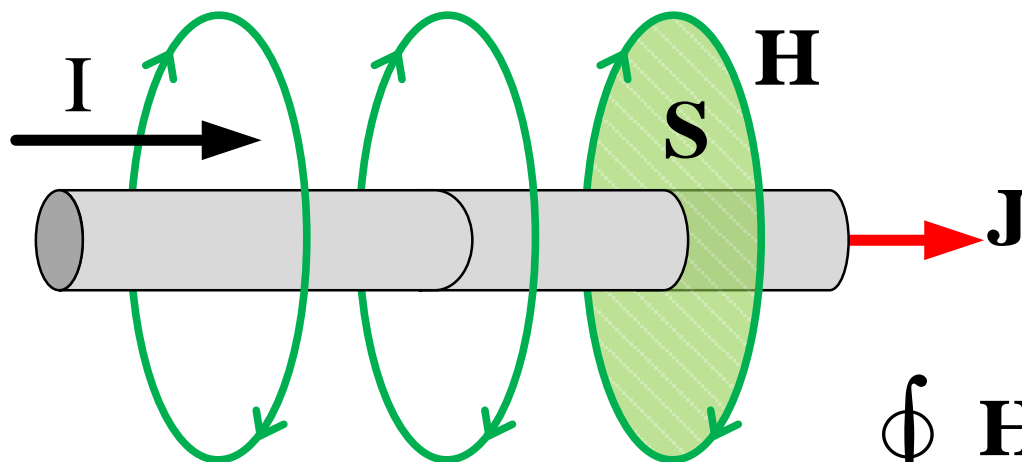
# Revisitando a Lei de Ampère

A Lei de Ampère, como declarada para campos magnetostáticos (H gerado por I), também levava a alguns paradoxos quando são consideradas as variações temporais:

$$\nabla \times \mathbf{H} = ?$$

Mesmo numa situação no mundo real, é também evidente o paradoxo, mesmo se a corrente é contínua.

Consideremos um condutor **contínuo** percorrido por uma corrente:



$$\nabla \times \mathbf{H} = \mathbf{J}$$

$$\oint_C \mathbf{H} \cdot d\mathbf{L} = \iint_S \mathbf{J} \cdot d\mathbf{S} = I$$

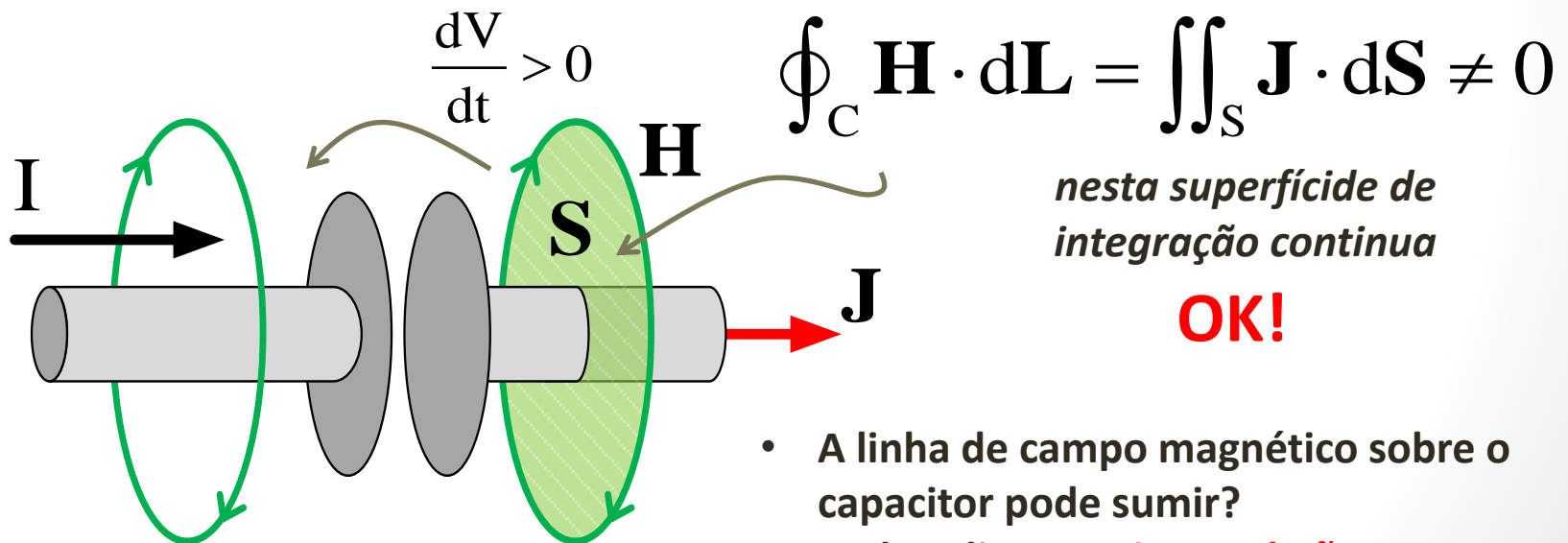
OK!

# Revisitando a Lei de Ampère

A Lei de Ampère, como declarada para campos magnetostáticos (H gerado por I), também levava a alguns paradoxos quando são consideradas as variações temporais:

$$\nabla \times \mathbf{H} = ?$$

Se abrimos o condutor, formando um capacitor de placas paralelas:  
*A corrente contínua atua como se estivesse carregando o capacitor.*



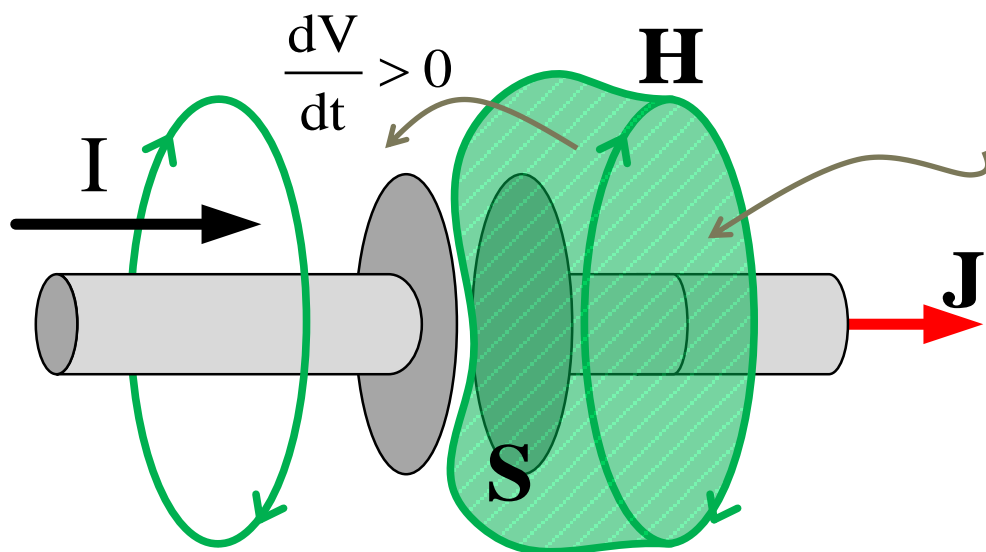
- A linha de campo magnético sobre o capacitor pode sumir?
- Stokes diz que **a integral não depende de S...** e se trocarmos S para envolver uma das placas?

# Revisitando a Lei de Ampère

A Lei de Ampère, como declarada para campos magnetostáticos (H gerado por I), também levava a alguns paradoxos quando são consideradas as variações temporais:

$$\nabla \times \mathbf{H} = ?$$

Se abrimos o condutor, formando um capacitor de placas paralelas:  
*A corrente contínua atua como se estivesse carregando o capacitor.*



$$\iint_S \mathbf{J} \cdot d\mathbf{S} = 0$$

*nesta superfície de  
integração*

*Mas é evidente que:*

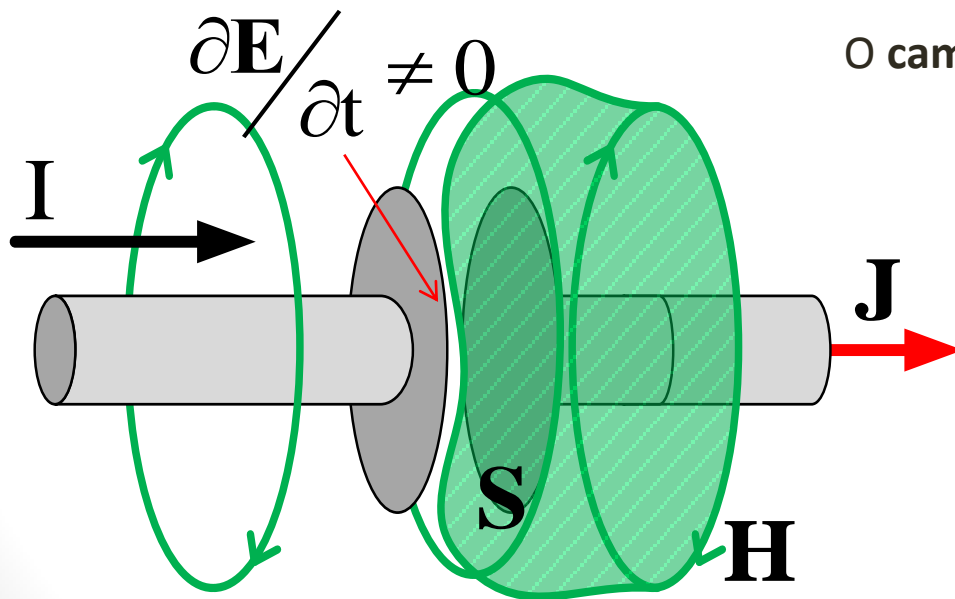
$$\oint_C \mathbf{H} \cdot d\mathbf{L} \neq 0$$

**Como resolver este aparente paradoxo?  
O que mudou na situação eletrodinâmica?**

# A corrente de deslocamento

Maxwell também endereçou este paradoxo. Em seu artigo seminal “*On Physical Lines of Force*” e, mais tarde, em “*A Dynamical Theory of the Electromagnetic Field*”, Maxwell propõe que a Lei de Ampère seja modificada (generalizada) para incluir um termo devido à **variação do campo elétrico**.

Sabemos que a corrente “atravessa” o capacitor de fato  $\rightarrow$  cargas positivas acumulam de um lado, enquanto cargas negativas acumulam-se de outro lado.



O campo elétrico aumenta com o tempo:

$$\frac{\partial \mathbf{E}}{\partial t} > 0 \Rightarrow \frac{\partial \mathbf{D}}{\partial t} > 0$$

$$(\mathbf{D} = \epsilon \mathbf{E})$$

Temos, portanto, um fluxo elétrico variante:

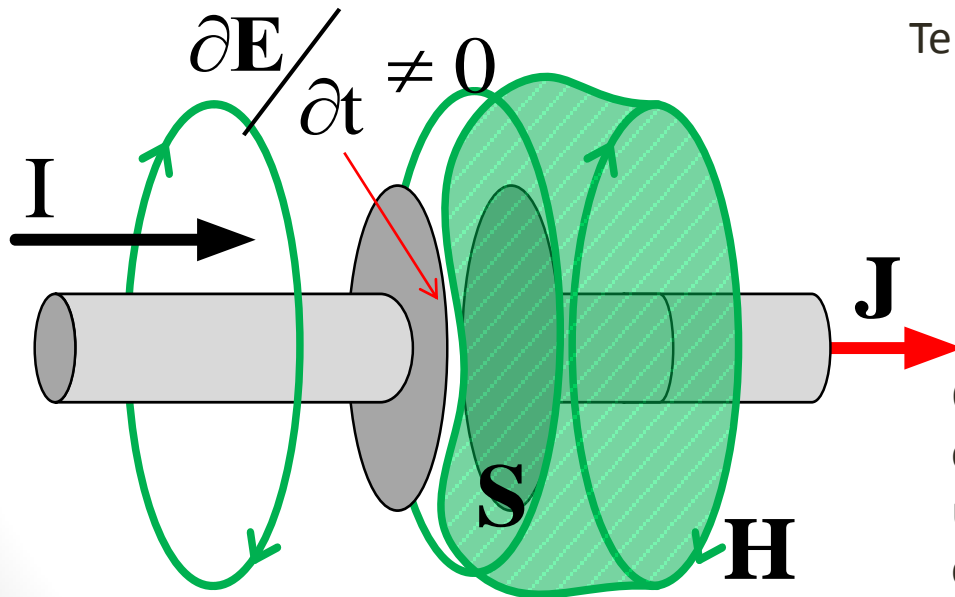
$$\frac{\partial \Psi}{\partial t} > 0$$

A lei de Gauss dita:  $\Psi = \iint_S \mathbf{D} \cdot d\mathbf{S} = Q$

# A corrente de deslocamento

Maxwell também endereçou este paradoxo. Em seu artigo seminal “*On Physical Lines of Force*” e, mais tarde, em “*A Dynamical Theory of the Electromagnetic Field*”, Maxwell propõe que a Lei de Ampère seja modificada (generalizada) para incluir um termo devido à **variação do campo elétrico**.

Sabemos que a corrente “atravessa” o capacitor de fato → cargas positivas acumulam de um lado, enquanto cargas negativas acumulam-se de outro lado.



Temos:

$$\frac{\partial \Psi}{\partial t} = \frac{\partial}{\partial t} \iint_S \mathbf{D} \cdot d\mathbf{S} = \frac{d}{dt} Q$$

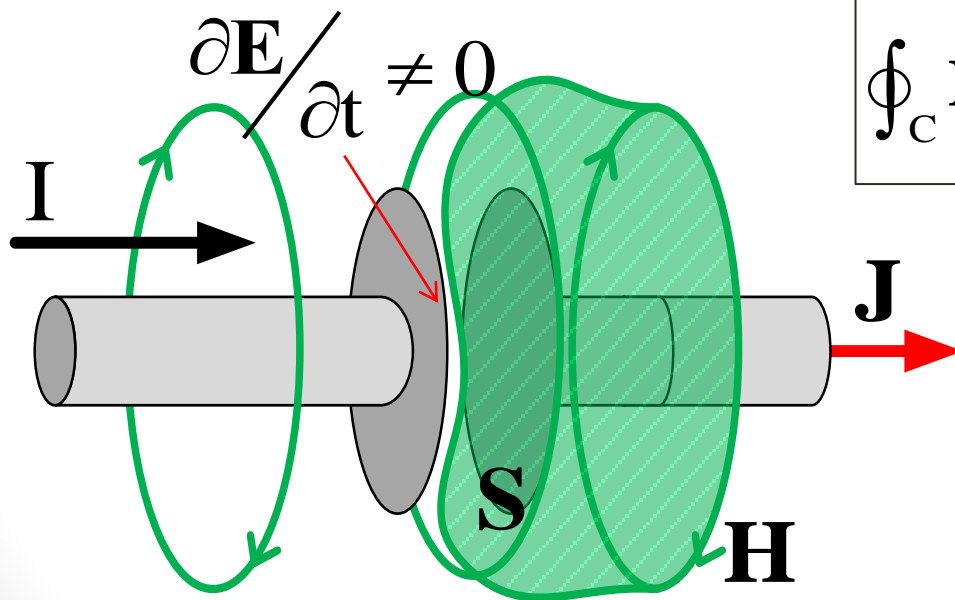
O que sugere que a **variação temporal do fluxo elétrico** atua como se fosse uma corrente → **a corrente de deslocamento**

(pois **D** é chamado de vetor **deslocamento elétrico**)

# A corrente de deslocamento

Maxwell também endereçou este paradoxo. Em seu artigo seminal “*On Physical Lines of Force*” e, mais tarde, em “*A Dynamical Theory of the Electromagnetic Field*”, Maxwell propõe que a Lei de Ampère seja modificada (generalizada) para incluir um termo devido à **variação do campo elétrico**.

Se jogarmos este termo na Lei de Ampère, o paradoxo desaparece e o campo magnético volta a estar definido INCLUSIVE em torno do capacitor:



$$\oint_C \mathbf{H} \cdot d\mathbf{L} = \iint_S \left( \mathbf{J} + \frac{\partial \mathbf{D}}{\partial t} \right) \cdot d\mathbf{S}$$

$$\oint_C \mathbf{H} \cdot d\mathbf{L} = \iint_S \mathbf{J} \cdot d\mathbf{S}$$

fora do capacitor

$$\oint_C \mathbf{H} \cdot d\mathbf{L} = \frac{\partial}{\partial t} \iint_S \mathbf{D} \cdot d\mathbf{S}$$

dentro do capacitor

(onde  $\mathbf{J} = 0$ , mas nem  $\mathbf{D}$  nem  $d\mathbf{D}/dt$  são nulos!)

# A corrente de deslocamento

Maxwell também endereçou este paradoxo. Em seu artigo seminal “*On Physical Lines of Force*” e, mais tarde, em “*A Dynamical Theory of the Electromagnetic Field*”, Maxwell propõe que a Lei de Ampère seja modificada (generalizada) para incluir um termo devido à **variação do campo elétrico**.

Será agora a identidade vetorial satisfeita?  $\nabla \cdot (\nabla \times \mathbf{H}) = 0$

$$\oint_C \mathbf{H} \cdot d\mathbf{L} = \iint_S \left( \mathbf{J} + \frac{\partial}{\partial t} \mathbf{D} \right) \cdot d\mathbf{S} \Rightarrow \nabla \times \mathbf{H} = \mathbf{J} + \frac{\partial}{\partial t} \mathbf{D}$$

Aplicando o divergente do rotacional:  $\nabla \cdot (\nabla \times \mathbf{H}) = \nabla \cdot \mathbf{J} + \frac{\partial}{\partial t} (\nabla \cdot \mathbf{D})$

Segundo a Lei de Gauss:  $\nabla \cdot \mathbf{D} = \rho_v$

e a Equação da Continuidade:  $\nabla \cdot \mathbf{J} = -\frac{\partial}{\partial t} \rho_v$

**Agora a expressão da Lei de Ampère está 100% CORRETA → inclusive no caso ELETRODINÂMICO!**

$$\therefore \nabla \cdot \mathbf{J} + \frac{\partial}{\partial t} (\nabla \cdot \mathbf{D}) = -\frac{\partial}{\partial t} \rho_v + \frac{\partial}{\partial t} \rho_v = 0$$

# Equações de Maxwell



James Clerk Maxwell (1831-1879) escreveu, em meados do Século XIX, 3 artigos seminais tentando traçar um paralelo entre eletricidade e magnetismo, que progrediram em complexidade até a Teoria Eletromagnética Clássica que conhecemos hoje:

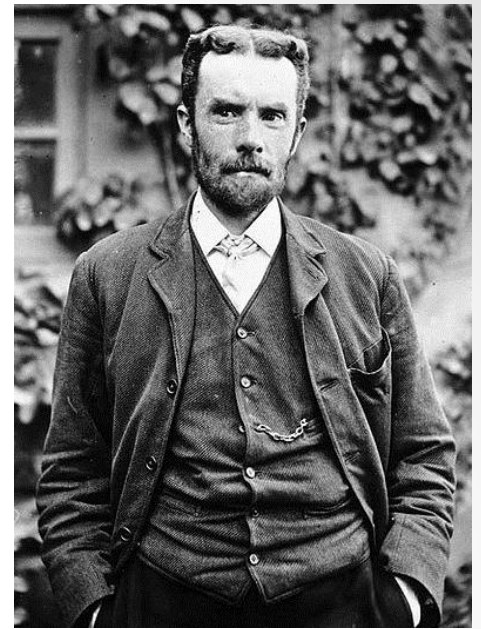
- ***On Faraday's Lines of Force*** (1855) – Maxwell buscou resgatar a idéia de “linhas de força” de Faraday – conhecidos hoje como campos vetoriais – e formalizou suas idéias num conjunto conexo de 20 EDOs e 20 variáveis.
- ***On Physical Lines of Force*** (1861-1862) – Maxwell apresentou, em 4 partes, uma teoria refinada conectando eletricidade e magnetismo baseada em campos vetoriais (“vórtices moleculares”) e demonstrou a necessidade da existência da **corrente de deslocamento**, introduzindo, desta forma, este termo na Lei de Ampère.
- ***On a Dynamical Theory of the Electromagnetic Field*** (1865) – Maxwell apresenta o conjunto original daquelas que, hoje, são conhecidas como as **quatro Equações de Maxwell**, prevendo a existência de uma **onda eletromagnética** que se propagaria no tempo e no espaço com a velocidade da luz. Maxwell unificou, desta forma, eletricidade, magnetismo e a luz como manifestações do mesmo fenômeno – o fenômeno eletromagnético.

**“A segunda maior unificação da física”**



# Equações de Maxwell

Oliver Heaviside (1850-1925) reformulou as 20 equações originais de Maxwell utilizando a notação vetorial moderna (que ele ajudou a criar). Das equações originais, 18 poderiam ser vetorizadas em 6, cada uma representando 3 equações originais (cada componente). O conjunto de 8 equações resultantes, em notação moderna era:



*Lei das correntes totais:*  $\mathbf{J}_{\text{tot}} = \mathbf{J} + \frac{\partial \mathbf{D}}{\partial t}$

*Definição do potencial magnético vetorial:*  $\mu \mathbf{H} = \nabla \times \mathbf{A}$

*Lei Circuital de Ampère:*  $\nabla \times \mathbf{H} = \mathbf{J}_{\text{tot}}$

*A Força Eletromotriz:  
(por convecção, indução & estática – Lorentz + Faraday + Coulomb)*

$$\mathbf{f} = \mu (\mathbf{v} \times \mathbf{H}) - \frac{\partial \mathbf{A}}{\partial t} - \nabla \phi$$

*Equação da elasticidade elétrica:*

$$\mathbf{f} = \frac{1}{\epsilon} \mathbf{D}$$

*Lei de Ohm:*

$$\mathbf{f} = \frac{1}{\sigma} \mathbf{J}$$

*Lei de Gauss:*

$$\nabla \cdot \mathbf{D} = \rho$$

*Equação da continuidade de carga:*

$$\nabla \cdot \mathbf{J} = -\frac{\partial \rho}{\partial t}$$

*Força Eletromotriz:*  $\mathbf{f} \rightarrow \text{N/C}$

# Equações de Maxwell

A forma moderna destaca somente **quatro equações** (as demais são restrições e relações constitutivas dos campos), utiliza **campos** em detrimento de **potenciais** e substitui “força por unidade de carga” pelo **campo elétrico**:

*E Deus disse:*

*Lei de Gauss*       $\nabla \cdot \mathbf{D} = \rho_v$       *Cargas produzem fluxo elétrico, com linhas de campo elétrico que divergem destas*

*Lei de Gauss para o magnetismo*       $\nabla \cdot \mathbf{B} = 0$       *Não existem monopolos magnéticos isolados; as linhas de campo magnético sempre se fecham*

*Lei de Ampère-Maxwell*       $\nabla \times \mathbf{H} = \mathbf{J} + \frac{\partial \mathbf{D}}{\partial t}$       *Campos magnéticos podem ser produzidos de duas formas: por correntes elétricas ou campos elétricos variantes no tempo*

*Lei de Faraday-Maxwell*       $\nabla \times \mathbf{E} = -\frac{\partial \mathbf{B}}{\partial t}$       *Campos magnéticos variantes no tempo induzem campos elétricos no espaço*

# Equações de Maxwell

Estas quatro equações vetoriais formam um conjunto compacto de **12 equações diferenciais parciais** (EDPs) relacionando 3 componentes espaciais e 1 componente temporal dos campos.

A forma diferencial é conhecida como

**FORMA PONTUAL:**

*(útil para geometrias distribuídas)*

$$\nabla \cdot \mathbf{D} = \rho_v$$

$$\nabla \cdot \mathbf{B} = 0$$

$$\nabla \times \mathbf{H} = \mathbf{J} + \frac{\partial \mathbf{D}}{\partial t}$$

$$\nabla \times \mathbf{E} = -\frac{\partial \mathbf{B}}{\partial t}$$

*Em conjunto às relações constitutivas...*

*... e à Força de Lorentz & à Equação da Continuidade...*

$$\left\{ \begin{array}{l} \mathbf{D} = \epsilon \mathbf{E} \\ \mathbf{B} = \mu \mathbf{H} \\ \mathbf{J} = \sigma \mathbf{E} \end{array} \right.$$

$$\mathbf{F} = q(\mathbf{E} + \mathbf{v} \times \mathbf{B})$$

$$\nabla \cdot \mathbf{J} + \frac{\partial \rho_v}{\partial t} = 0$$

**PREVÊM TODA E QUALQUER INTERAÇÃO ELETROMAGNÉTICA CLÁSSICA**

# Equações de Maxwell

A **FORMA INTEGRAL** é possível de derivar a partir dos teoremas de cálculo vetorial:

(útil para geometrias simétricas)

$$\oiint_{\partial\Omega} \mathbf{D} \cdot d\mathbf{S} = \iiint_{\Omega} \rho_v dV = Q$$

$$\oiint_{\partial\Omega} \mathbf{B} \cdot d\mathbf{S} = 0$$

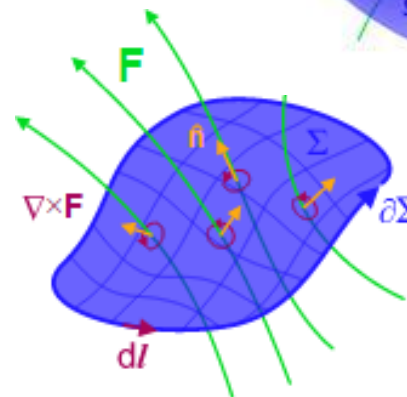
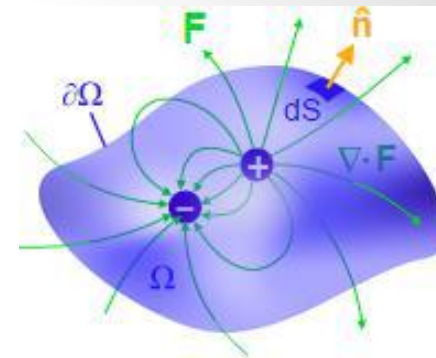
$$\oint_{\partial\Sigma} \mathbf{H} \cdot d\mathbf{L} = \iint_{\Sigma} \mathbf{J} \cdot d\mathbf{S} + \frac{\partial}{\partial t} \iint_{\Sigma} \mathbf{D} \cdot d\mathbf{S} = I + \frac{\partial}{\partial t} \iint_{\Sigma} \mathbf{D} \cdot d\mathbf{S}$$

$$\oint_{\partial\Sigma} \mathbf{E} \cdot d\mathbf{L} = -\frac{\partial}{\partial t} \iint_{\Sigma} \mathbf{B} \cdot d\mathbf{S}$$

Nas quais:

$\Omega$  é um volume fechado de fronteira  $\partial\Omega$

$\Sigma$  é uma superfície aberta de fronteira  $\partial\Sigma$



# Equações de Maxwell

Uma outra formulação bastante popular é **em termos dos potenciais** (escalar e vetorial):

$$[V(x, y, z, t) \ \& \ \mathbf{A}(x, y, z, t)] \quad \text{tal que} \quad \begin{cases} \mathbf{B} = \nabla \times \mathbf{A} & \text{consequ\^encia da Lei de Gauss p/ o magnetismo} \\ \mathbf{E} = -\nabla V - \frac{\partial \mathbf{A}}{\partial t} & \text{consequ\^encia da Lei de Faraday} \end{cases}$$

$$\left. \begin{aligned} \nabla^2 V + \frac{\partial}{\partial t} (\nabla \cdot \mathbf{A}) &= -\frac{\rho_v}{\epsilon} \\ \left( \nabla^2 \mathbf{A} - \mu\epsilon \frac{\partial^2 \mathbf{A}}{\partial t^2} \right) - \nabla \left( \nabla \cdot \mathbf{A} + \mu\epsilon \frac{\partial V}{\partial t} \right) &= -\mu\mathbf{J} \end{aligned} \right\} \begin{aligned} &\text{As 2 primeiras eq. somem (identidades)} \\ &\text{(n\~ao parece, mas \^e bastante compacta, s\~o} \\ &\text{4 componentes - 1 do potencial escalar e} \\ &\text{3 do potencial vetorial)} \end{aligned}$$

Como potenciais podem ser “livremente” arbitrados, podemos usar o **calibre (gauge) de Lorenz**, tal que:

$$\nabla \cdot \mathbf{A} + \mu\epsilon \frac{\partial V}{\partial t} = 0 \Rightarrow \begin{cases} V \rightarrow V - \frac{\partial \psi}{\partial t} \\ \mathbf{A} \rightarrow \mathbf{A} + \nabla \psi \end{cases}$$

(mudança de potenciais)

$\psi$  satisfaz:

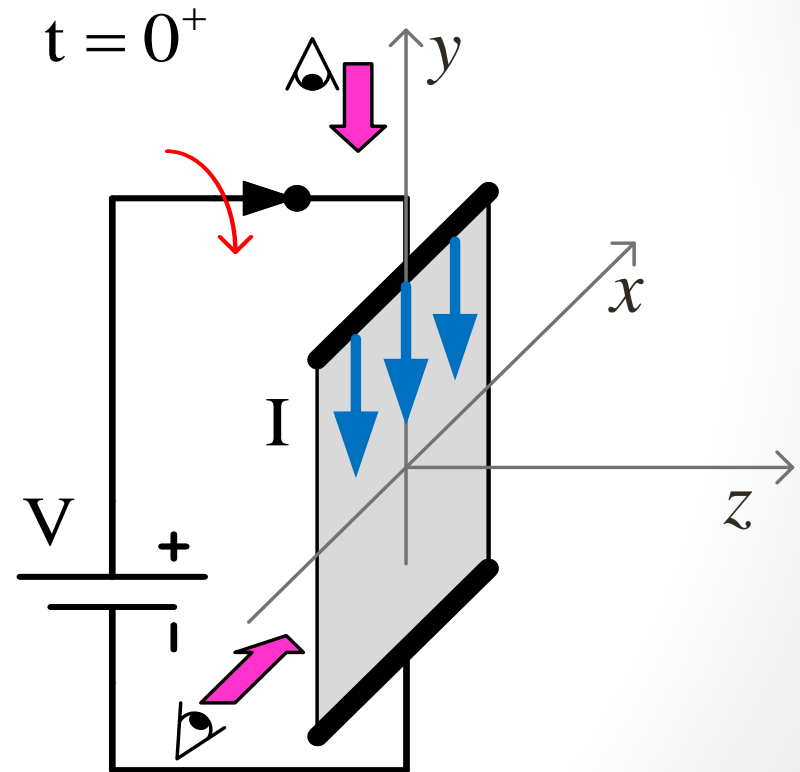
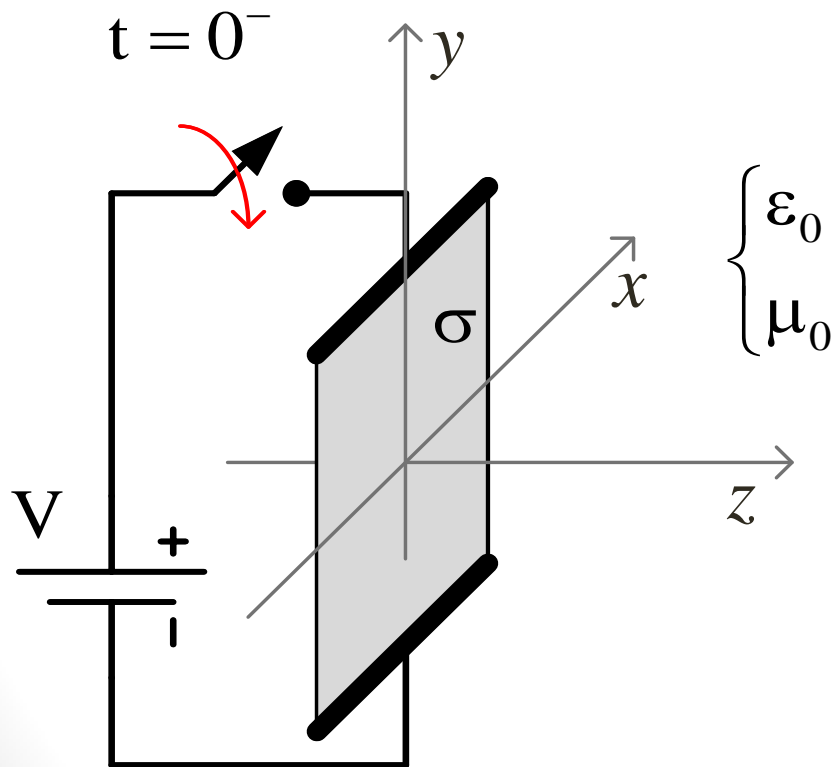
$$\nabla^2 \psi - \mu\epsilon \frac{\partial^2 \psi}{\partial t^2} = -\nabla \cdot \mathbf{A} - \mu\epsilon \frac{\partial V}{\partial t}$$

Similares à Eq. de Poisson  
Resultam na Eq. de Onda não homogênea  
Solução: potenciais avançados & retardados  
Formulação em consonância c/ a Relatividade Especial

$$\begin{aligned} \nabla^2 V - \mu\epsilon \frac{\partial^2 V}{\partial t^2} &= -\frac{\rho_v}{\epsilon} \\ \nabla^2 \mathbf{A} - \mu\epsilon \frac{\partial^2 \mathbf{A}}{\partial t^2} &= -\mu\mathbf{J} \end{aligned}$$

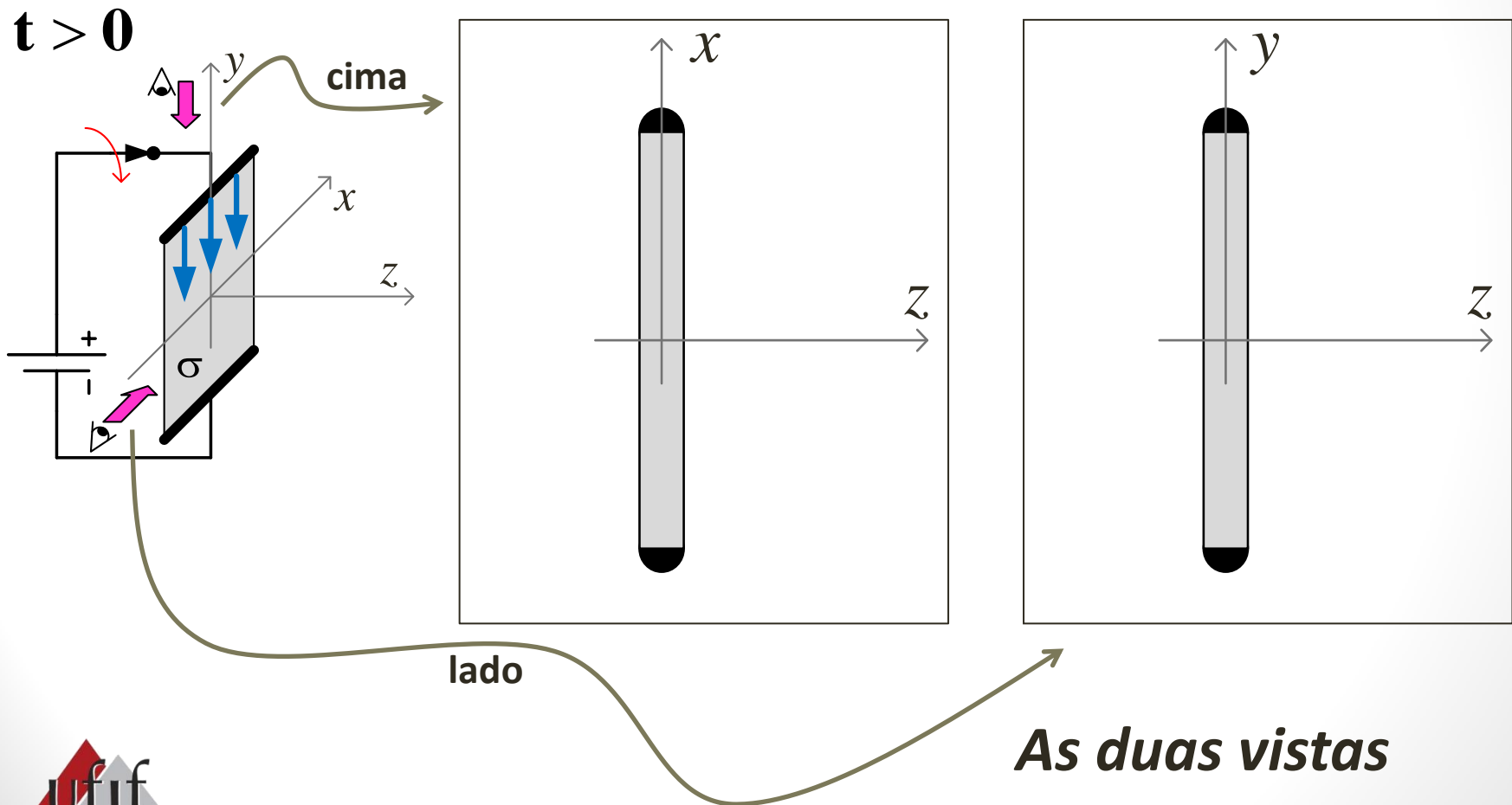
# O que as Equações de Maxwell nos dizem?

Imaginemos o seguinte experimento com uma folha condutora num circuito:



# O que as Equações de Maxwell nos dizem?

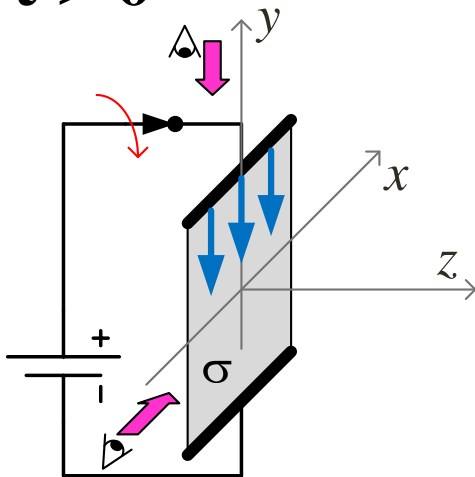
Imaginemos o seguinte experimento com uma folha condutora num circuito:



# O que as Equações de Maxwell nos dizem?

Imaginemos o seguinte experimento com uma folha condutora num circuito:

$t > 0$

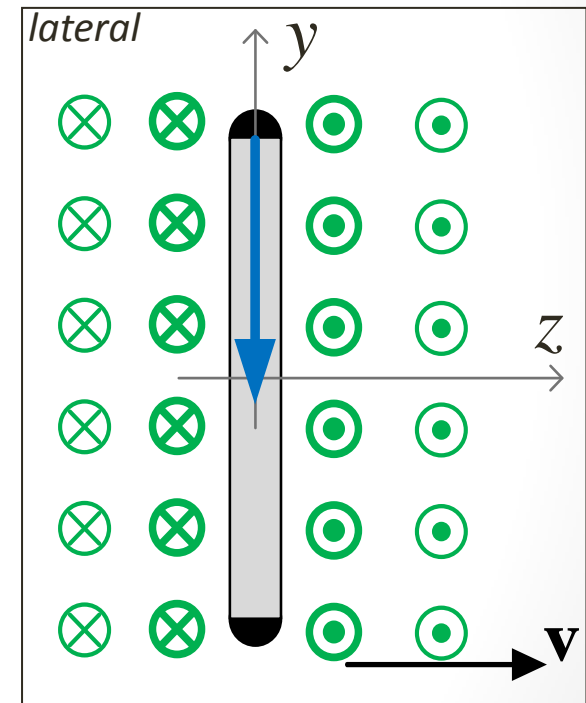
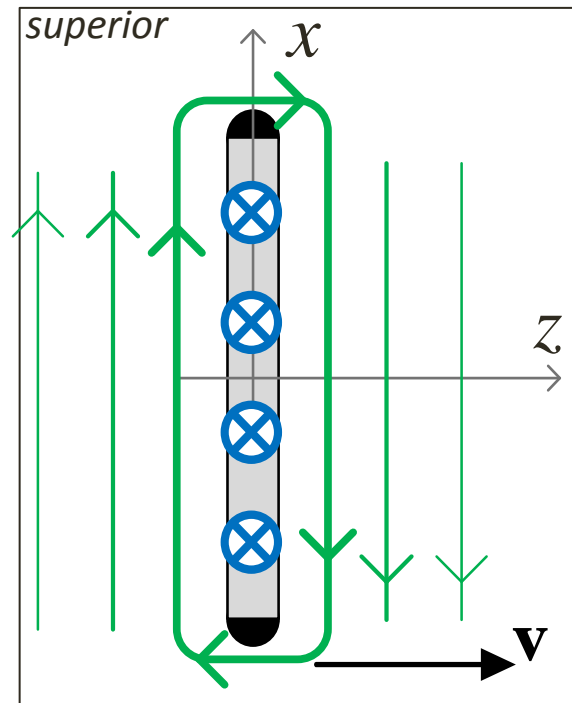


Campos:

→  $H, B$

→  $E, D$

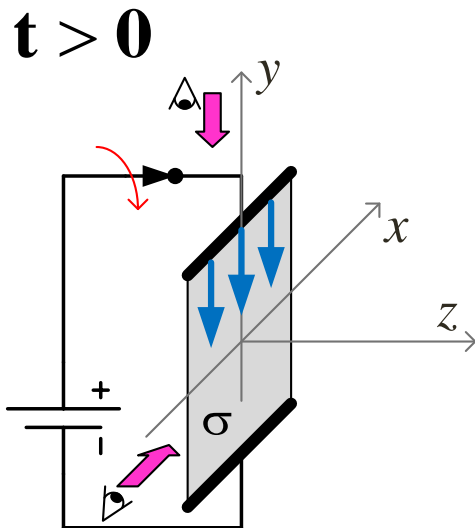
→  $J$





# O que as Equações de Maxwell nos dizem?

Imaginemos o seguinte experimento com uma folha condutora num circuito:

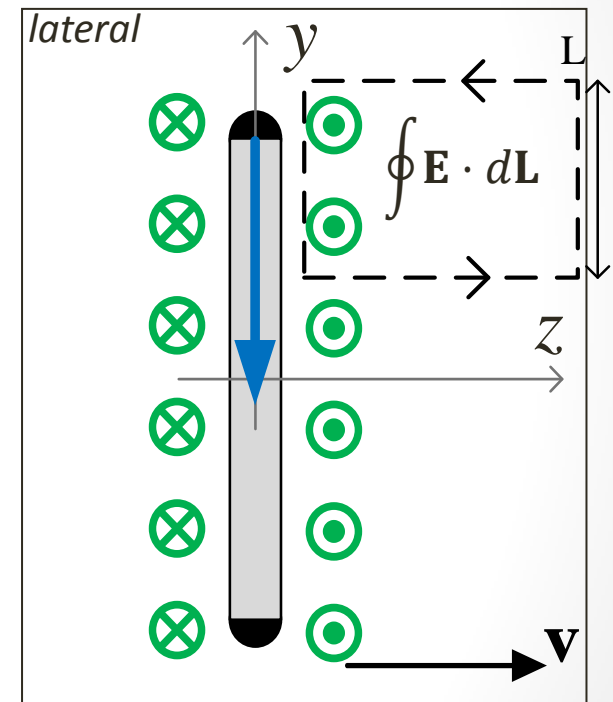
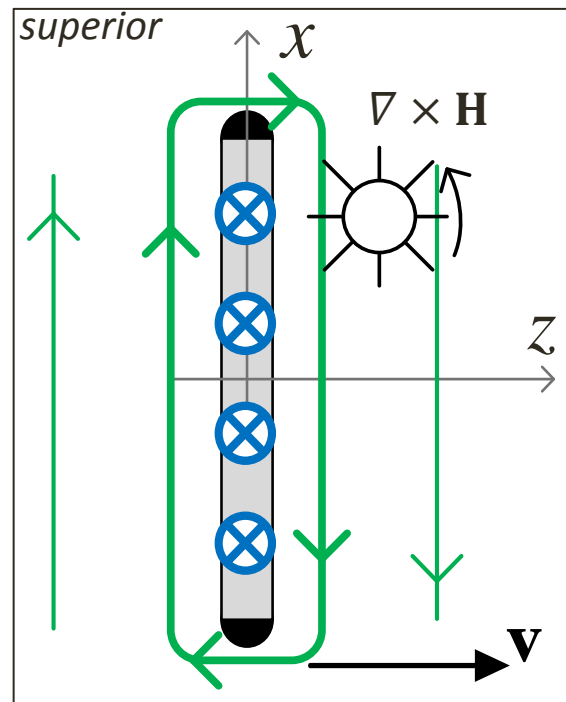


Campos:

→  $H, B$

→  $E, D$

→  $J$

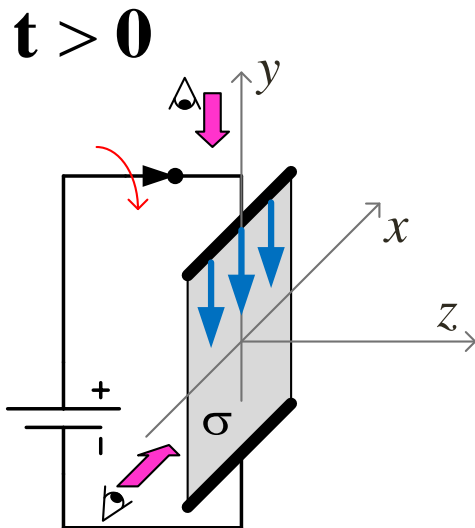


$$\nabla \times \mathbf{H} = \cancel{\sigma \mathbf{E}} + \frac{\partial \mathbf{D}}{\partial t}$$

$$\oint_{\partial \Sigma} \mathbf{E} \cdot d\mathbf{L} = - \frac{\partial}{\partial t} \iint_{\Sigma} \mathbf{B} \cdot d\mathbf{S}$$

# O que as Equações de Maxwell nos dizem?

Imaginemos o seguinte experimento com uma folha condutora num circuito:

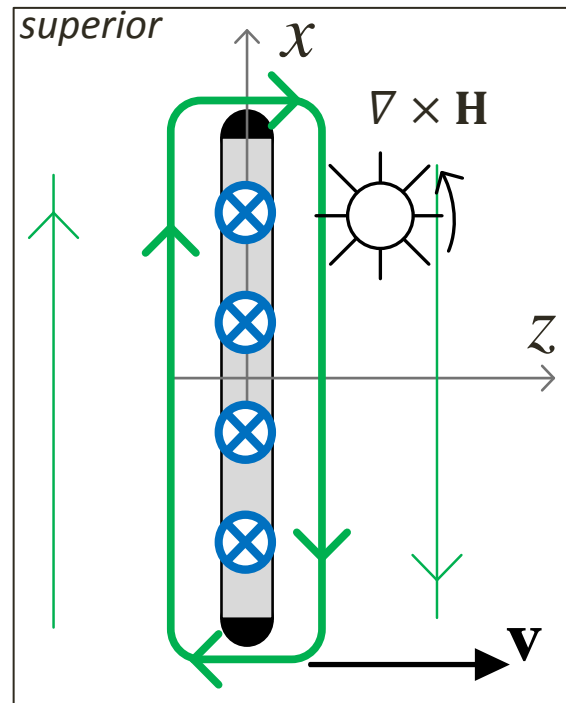


Campos:

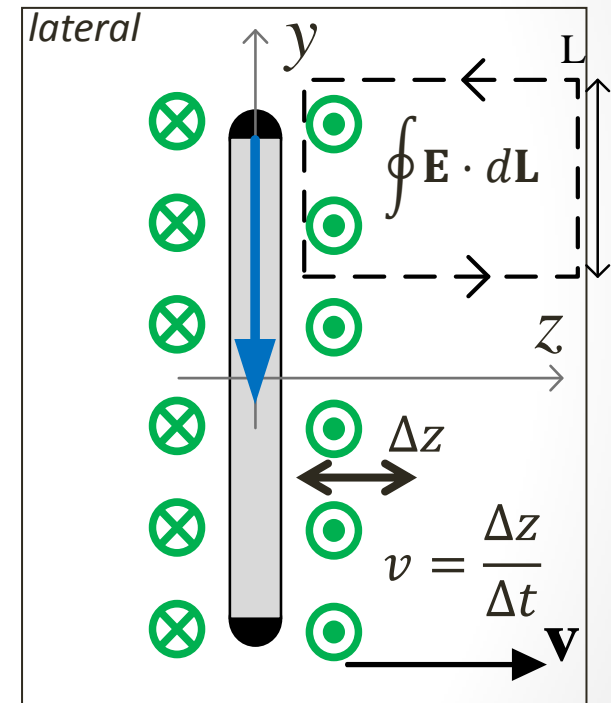
$$\rightarrow \mathbf{H}, \mathbf{B}$$

$$\rightarrow \mathbf{E}, \mathbf{D}$$

$$\rightarrow \mathbf{J}$$



$$\nabla \times \mathbf{H} = \frac{\partial \mathbf{D}}{\partial t}$$

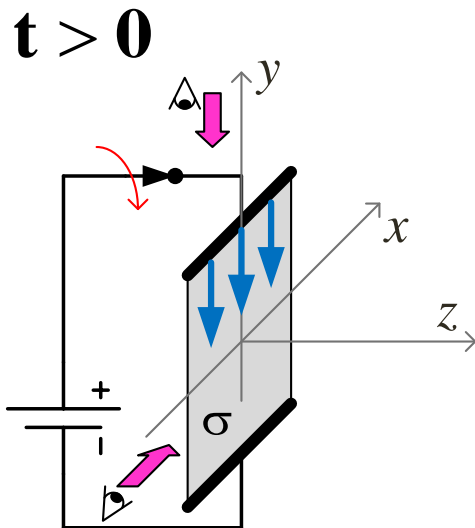


$$\iint_{\Sigma} \frac{\partial \mathbf{B}}{\partial t} \cdot d\mathbf{S} = BLv$$

$$\oint_{\partial \Sigma} \mathbf{E} \cdot d\mathbf{L} = EL$$

# O que as Equações de Maxwell nos dizem?

Imaginemos o seguinte experimento com uma folha condutora num circuito:

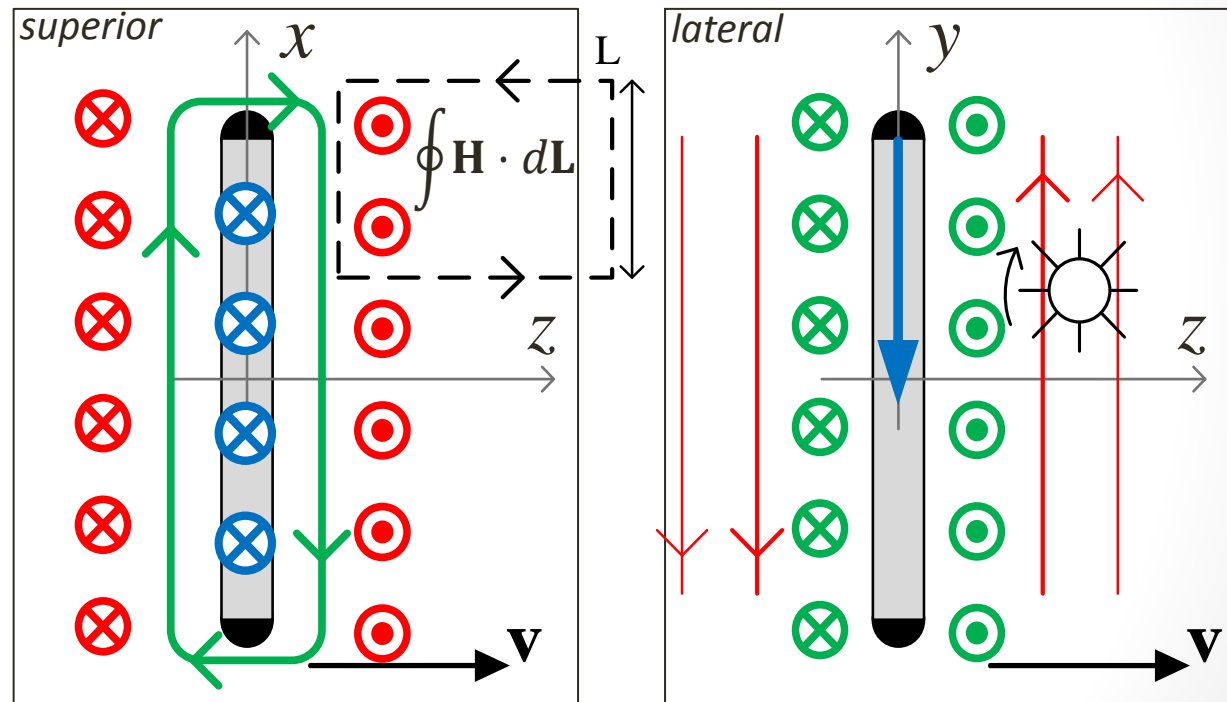


Campos:

→  $H, B$

→  $E, D$

→  $J$

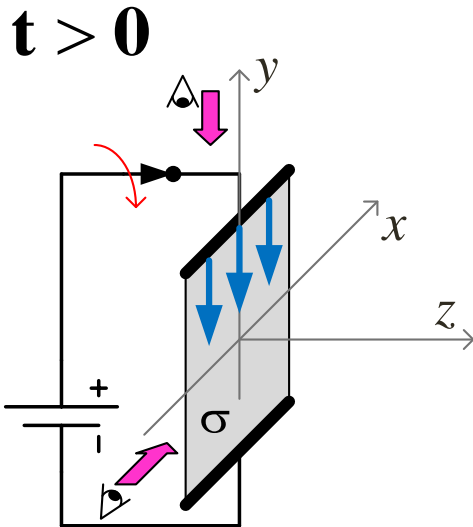


$$\oint_{\partial \Sigma} \mathbf{H} \cdot d\mathbf{L} = \cancel{I} + \frac{\partial}{\partial t} \iint_{\Sigma} \mathbf{D} \cdot d\mathbf{S}$$

$$\nabla \times \mathbf{E} = -\frac{\partial \mathbf{B}}{\partial t}$$

# O que as Equações de Maxwell nos dizem?

Imaginemos o seguinte experimento com uma folha condutora num circuito:

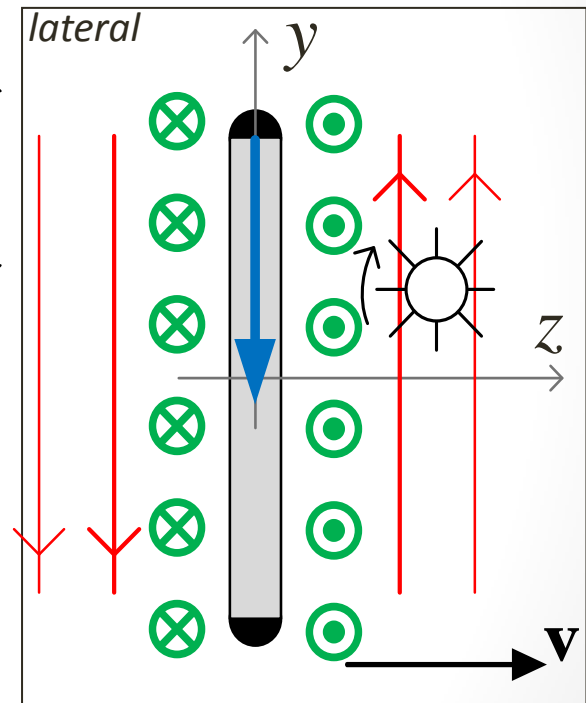
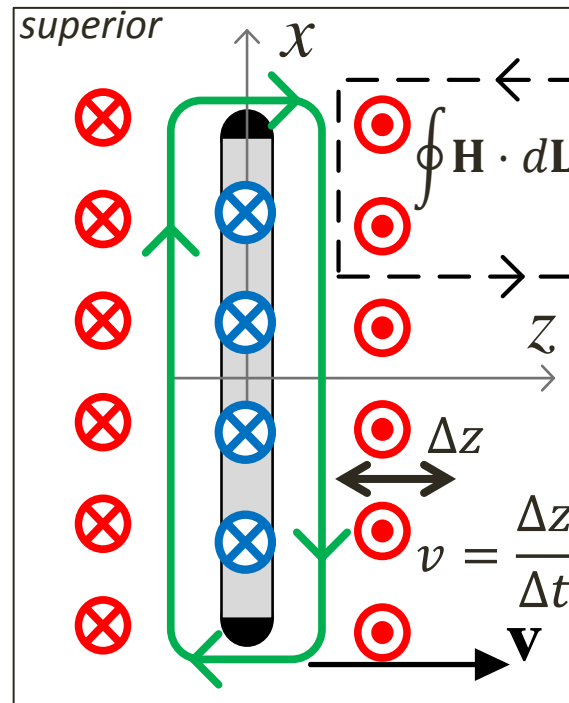


Campos:

→  $H, B$

→  $E, D$

→  $J$



$$\iint_{\Sigma} \frac{\partial \mathbf{D}}{\partial t} \cdot d\mathbf{S} = DLv$$

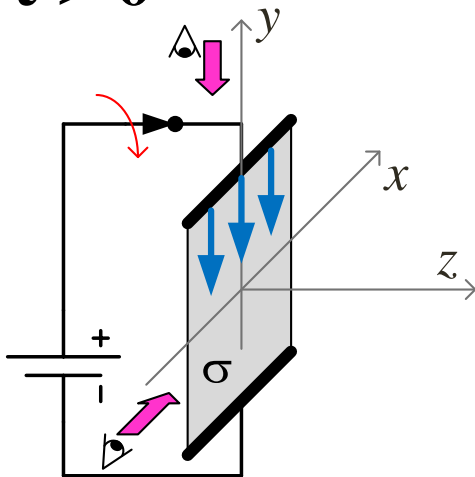
$$\oint_{\partial \Sigma} \mathbf{H} \cdot d\mathbf{L} = HL$$

$$\nabla \times \mathbf{E} = -\frac{\partial \mathbf{B}}{\partial t}$$

# O que as Equações de Maxwell nos dizem?

Imaginemos o seguinte experimento com uma folha condutora num circuito:

$t > 0$

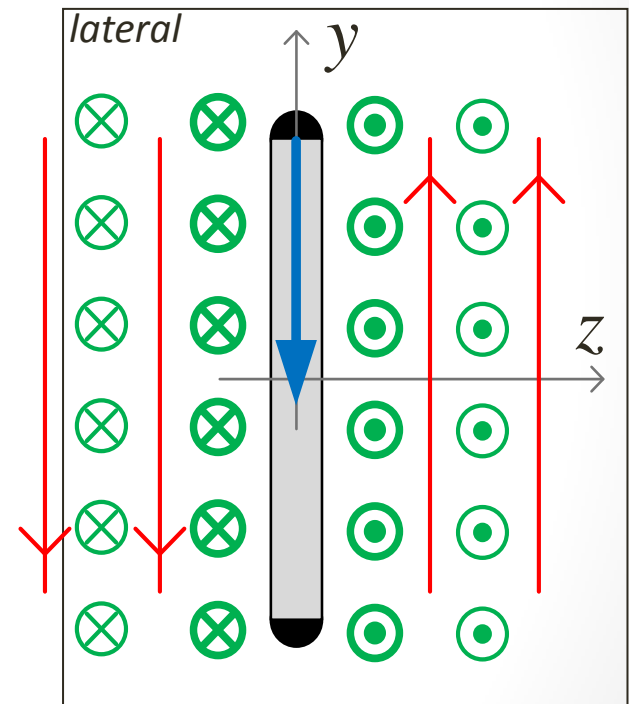
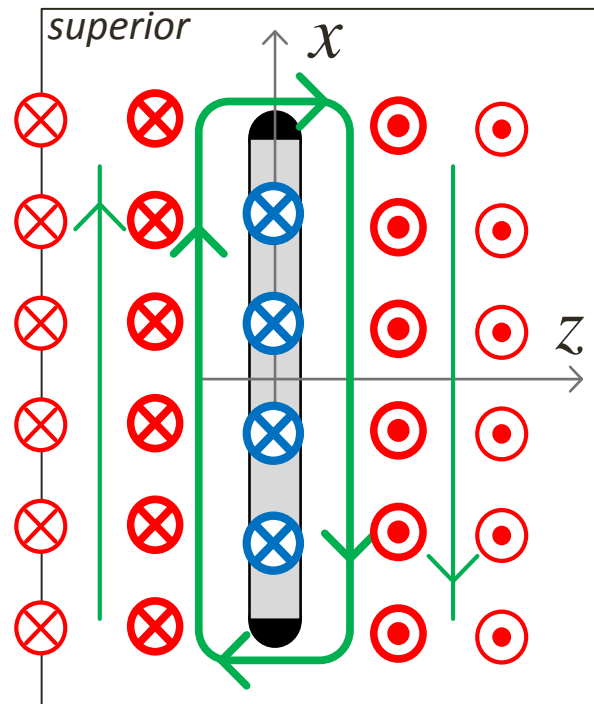


Campos:

→  $H, B$

→  $E, D$

→  $J$

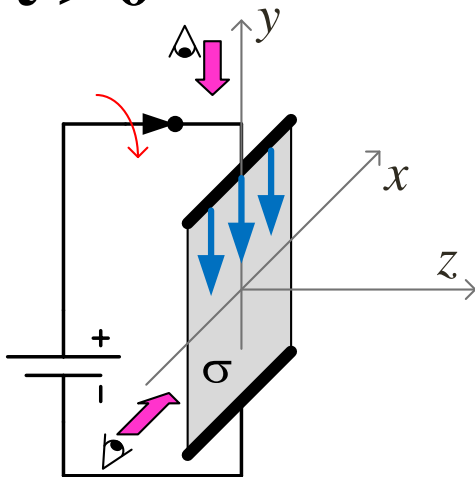


*em todo o espaço!*  
(pulso eletromagnético - PEM)

# O que as Equações de Maxwell nos dizem?

Imaginemos o seguinte experimento com uma folha condutora num circuito:

$t > 0$



Das duas últimas equações de Maxwell resultou que:

$$\iint_{\Sigma} \frac{\partial \mathbf{B}}{\partial t} \cdot d\mathbf{S} = BLv$$

$$\oint_{\partial \Sigma} \mathbf{E} \cdot d\mathbf{L} = EL$$

$$\iint_{\Sigma} \frac{\partial \mathbf{D}}{\partial t} \cdot d\mathbf{S} = DLv$$

$$\oint_{\partial \Sigma} \mathbf{H} \cdot d\mathbf{L} = HL$$

Campos:

→  $\mathbf{H}$ ,  $\mathbf{B}$

→  $\mathbf{E}$ ,  $\mathbf{D}$

→  $\mathbf{J}$

Como:

$$\mathbf{B} = \mu_0 \mathbf{H}$$

$$\mathbf{D} = \epsilon_0 \mathbf{E}$$

$$\begin{cases} \mu_0 H \cancel{v} = E \cancel{L} \\ \epsilon_0 E \cancel{v} = H \cancel{L} \end{cases} \Rightarrow \begin{cases} \mu_0 v = \frac{E}{H} \\ \epsilon_0 v = \frac{H}{E} \end{cases}$$

$$\therefore v^2 \mu_0 \epsilon_0 = 1 \Rightarrow v = \frac{1}{\sqrt{\mu_0 \epsilon_0}}$$

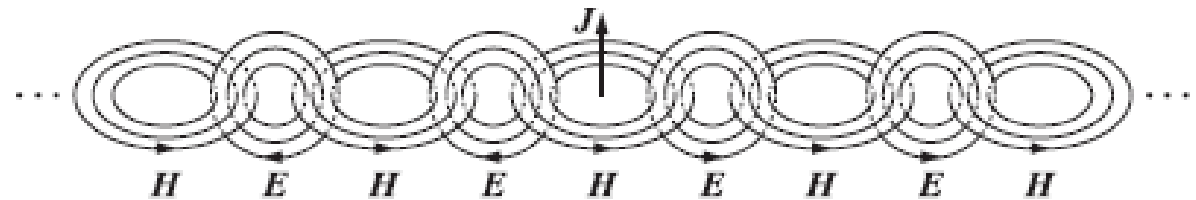
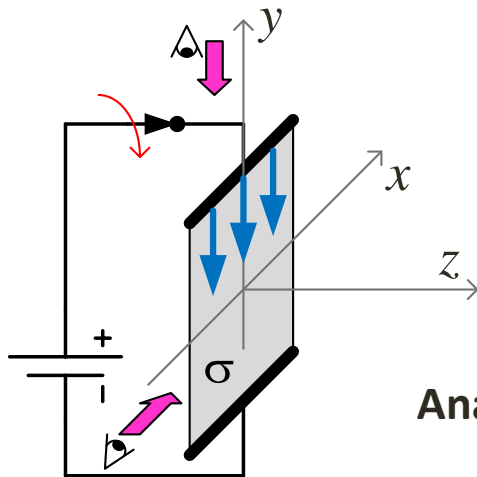
$$\epsilon_0 = 8,85418 \times 10^{-12} \text{ F/m (C}^2/\text{Nm}^2)$$

$$\mu_0 = 4\pi \times 10^{-7} \text{ H/m (N/A}^2)$$

$$v = ?$$

# O que as Equações de Maxwell nos dizem?

Um campo elétrico variante produz um campo magnético variante e vice-versa... estes campos se propagam no espaço com a velocidade da luz.



Análise dimensional:

$$\epsilon_0 = \frac{D}{E} = \frac{C/m^2}{V/m} = \frac{F}{m} = \frac{A.s}{V.m}$$

$$\mu_0 = \frac{B}{H} = \frac{Wb/m^2}{A/m} = \frac{H}{m} = \frac{V.s}{A.m}$$

$$\nabla \times \mathbf{H} = \frac{\partial \mathbf{D}}{\partial t}$$

$$\nabla \times \mathbf{E} = -\frac{\partial \mathbf{B}}{\partial t}$$

$$\mathbf{D} = \epsilon_0 \mathbf{E}$$

$$\mathbf{B} = \mu_0 \mathbf{H}$$

$$\epsilon_0 = 8,85418 \times 10^{-12} \text{ F/m (C}^2/\text{Nm}^2)$$

$$\mu_0 = 4\pi \times 10^{-7} \text{ H/m (N/A}^2)$$

$$v = c = 2,998 \times 10^8 \text{ m/s}$$

# A onda eletromagnética

A solução das Equações de Maxwell nos leva a crer que E e H propagam-se no espaço e no tempo, com a velocidade da luz, mesmo na ausência de condutores e cargas.

Equações no espaço livre (vácuo):

$$\nabla \cdot \mathbf{E} = 0$$

$$\nabla \cdot \mathbf{H} = 0$$

$$\nabla \times \mathbf{H} = \varepsilon_0 \frac{\partial \mathbf{E}}{\partial t}$$

$$\nabla \times \mathbf{E} = -\mu_0 \frac{\partial \mathbf{H}}{\partial t}$$

Para colocar tudo em função de E e H, as duas últimas equações podem ser manipuladas usando a identidade vetorial:

$$\nabla \times (\nabla \times \mathbf{A}) = \nabla (\nabla \cdot \mathbf{A}) - \nabla^2 \mathbf{A}$$



$$\left\{ \begin{array}{l} \nabla \times (\nabla \times \mathbf{H}) = -\nabla^2 \mathbf{H} = \nabla \times \left( \varepsilon_0 \frac{\partial \mathbf{E}}{\partial t} \right) \\ \nabla \times (\nabla \times \mathbf{E}) = -\nabla^2 \mathbf{E} = \nabla \times \left( -\mu_0 \frac{\partial \mathbf{H}}{\partial t} \right) \end{array} \right.$$



# A onda eletromagnética

A solução das Equações de Maxwell nos leva a crer que  $\mathbf{E}$  e  $\mathbf{H}$  propagam-se no espaço e no tempo, com a velocidade da luz, mesmo na ausência de condutores e cargas.

Equações no espaço livre (vácuo):

$$\nabla \cdot \mathbf{E} = 0$$

$$\nabla \cdot \mathbf{H} = 0$$

Aplicando a Lei de Ampère  
& a Lei de Faraday:

$$\begin{array}{l} \nabla \times \mathbf{H} = \epsilon_0 \frac{\partial \mathbf{E}}{\partial t} \\ \nabla \times \mathbf{E} = -\mu_0 \frac{\partial \mathbf{H}}{\partial t} \end{array} \left\{ \begin{array}{l} -\nabla^2 \mathbf{H} = \nabla \times \left( \epsilon_0 \frac{\partial \mathbf{E}}{\partial t} \right) = \epsilon_0 \frac{\partial (\nabla \times \mathbf{E})}{\partial t} \\ -\nabla^2 \mathbf{E} = \nabla \times \left( -\mu_0 \frac{\partial \mathbf{H}}{\partial t} \right) = -\mu_0 \frac{\partial (\nabla \times \mathbf{H})}{\partial t} \end{array} \right.$$

# A onda eletromagnética

A solução das Equações de Maxwell nos leva a crer que  $\mathbf{E}$  e  $\mathbf{H}$  propagam-se no espaço e no tempo, com a velocidade da luz, mesmo na ausência de condutores e cargas.

Equações no espaço livre (vácuo):

$$\nabla \cdot \mathbf{E} = 0$$

$$\nabla \cdot \mathbf{H} = 0$$

$$\nabla \times \mathbf{H} = \varepsilon_0 \frac{\partial \mathbf{E}}{\partial t}$$

$$\nabla \times \mathbf{E} = -\mu_0 \frac{\partial \mathbf{H}}{\partial t}$$

Resulta em:

$$\begin{cases} -\nabla^2 \mathbf{H} = -\varepsilon_0 \mu_0 \frac{\partial}{\partial t} \left( \frac{\partial \mathbf{H}}{\partial t} \right) \\ -\nabla^2 \mathbf{E} = -\varepsilon_0 \mu_0 \frac{\partial}{\partial t} \left( \frac{\partial \mathbf{E}}{\partial t} \right) \end{cases}$$

Essas equações podem ser rearranjadas na conhecida **equação de onda**:

$$\nabla^2 \mathbf{H} - \varepsilon_0 \mu_0 \frac{\partial^2}{\partial t^2} \mathbf{H} = 0$$

$$\nabla^2 \mathbf{E} - \varepsilon_0 \mu_0 \frac{\partial^2}{\partial t^2} \mathbf{E} = 0$$

# A onda eletromagnética

A solução das Equações de Maxwell nos leva a crer que E e H propagam-se no espaço e no tempo, com a velocidade da luz, mesmo na ausência de condutores e cargas.

Equações no espaço livre (vácuo):

$$\nabla \cdot \mathbf{E} = 0$$

$$\nabla \cdot \mathbf{H} = 0$$

$$\nabla \times \mathbf{H} = \varepsilon_0 \frac{\partial \mathbf{E}}{\partial t}$$

$$\nabla \times \mathbf{E} = -\mu_0 \frac{\partial \mathbf{H}}{\partial t}$$

Equações  
homogêneas da  
onda  
eletromagnética:

$$\nabla^2 \mathbf{E} - \varepsilon_0 \mu_0 \frac{\partial^2}{\partial t^2} \mathbf{E} = 0$$

$$\nabla^2 \mathbf{H} - \varepsilon_0 \mu_0 \frac{\partial^2}{\partial t^2} \mathbf{H} = 0$$

Que significam (p/ o campo elétrico):

$$\left[ \frac{d^2}{dx^2} E_x \mathbf{a}_x + \frac{d^2}{dy^2} E_y \mathbf{a}_y + \frac{d^2}{dz^2} E_z \mathbf{a}_z \right] =$$
$$= \mu_0 \varepsilon_0 \left[ \frac{d^2}{dt^2} E_x \mathbf{a}_x + \frac{d^2}{dt^2} E_y \mathbf{a}_y + \frac{d^2}{dt^2} E_z \mathbf{a}_z \right]$$

*variações espaciais associadas a variações temporais*

# A onda eletromagnética

Eq. de onda em 1 dimensão (por ex., em x):

$$c^2 \nabla^2 u - \frac{\partial^2 u}{\partial t^2} = c^2 \frac{\partial^2 u}{\partial x^2} - \frac{\partial^2 u}{\partial t^2} = 0$$

*variações  
espaciais  
associadas  
a variações  
temporais*

$$\nabla^2 \mathbf{E} - \varepsilon_0 \mu_0 \frac{\partial^2}{\partial t^2} \mathbf{E} = 0$$

$$\nabla^2 \mathbf{H} - \varepsilon_0 \mu_0 \frac{\partial^2}{\partial t^2} \mathbf{H} = 0$$

onde  $c$  é a velocidade de propagação no espaço  
( $c$  relaciona tempo e espaço).

Soluções possíveis para a equação de  
onda são quaisquer umas do tipo:

$$u(x, t) = f(x \pm ct)$$

*(provar usando regra da cadeia)*

pois outra forma de  
escrever a eq. é:

$$\left[ \frac{\partial}{\partial t} - c \frac{\partial}{\partial x} \right] \left[ \frac{\partial}{\partial t} + c \frac{\partial}{\partial x} \right] u = 0$$

$$\text{ou } \square u = 0 \rightarrow \square = \left( \frac{1}{c^2} \frac{\partial^2}{\partial t^2} - \nabla^2 \right) \text{ operador d'Alembertiano}$$

# A onda eletromagnética

Eq. de onda em 1 dimensão:

$$c^2 \nabla^2 u - \frac{\partial^2 u}{\partial t^2} = c^2 \frac{\partial^2 u}{\partial x^2} u - \frac{\partial^2 u}{\partial t^2} = 0$$

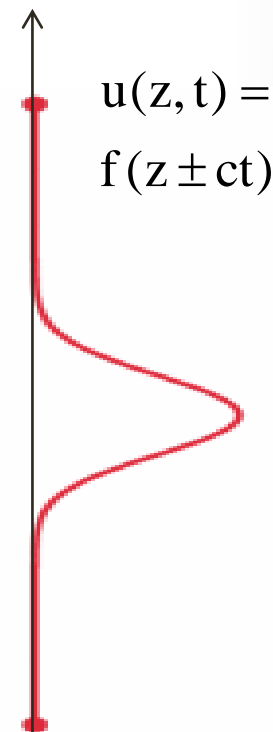
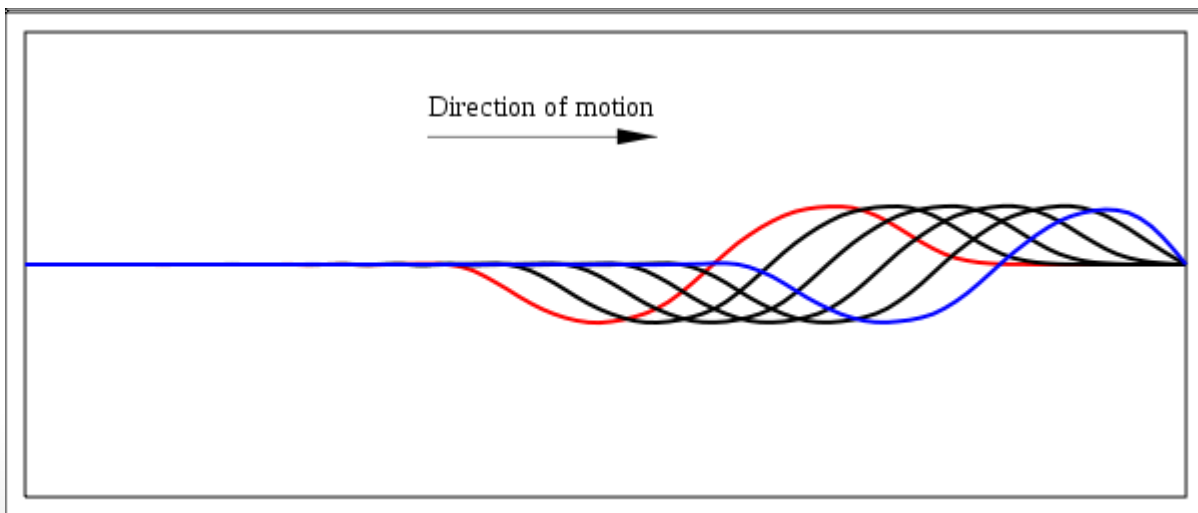
$$u(x, t) = f(x \pm ct)$$

*é uma EDP linear*

*(i.e., a combinação linear de soluções também forma uma solução)*

$$\nabla^2 \mathbf{E} - \varepsilon_0 \mu_0 \frac{\partial^2}{\partial t^2} \mathbf{E} = 0$$

$$\nabla^2 \mathbf{H} - \varepsilon_0 \mu_0 \frac{\partial^2}{\partial t^2} \mathbf{H} = 0$$



# A onda eletromagnética

$$\underbrace{\left( \frac{1}{c^2} \frac{\partial^2}{\partial t^2} - \nabla^2 \right)}_{\square \text{ d'Alembertiano}} \mathbf{u} = 0$$

Exemplo de uma solução unidimensional específica (senoidal, propagando só em z, como o exemplo):

$$\mathbf{E}(z, t) = \mathbf{E}_0 e^{j(\omega t - kz)}$$

*fase ( $\varphi$ ),  $\omega = \partial\varphi/\partial t$*

$$\nabla^2 \mathbf{E} - \epsilon_0 \mu_0 \frac{\partial^2}{\partial t^2} \mathbf{E} = 0$$

$$\nabla^2 \mathbf{H} - \epsilon_0 \mu_0 \frac{\partial^2}{\partial t^2} \mathbf{H} = 0$$

1. Se esta onda eletromagnética existe, qual a **velocidade de propagação** dela?
2. Qual deve ser a **relação entre k,  $\omega$  e c com  $\mu_0$  e  $\epsilon_0$**  para ser uma solução da eq. de onda?
3. Qual deve ser a **relação entre E e H** para satisfazer a todas as equações de Maxwell?

*velocidade de propagação*

$$c = \frac{1}{\sqrt{\mu_0 \epsilon_0}} = \frac{\left[ \frac{\partial \varphi}{\partial t} \right]}{\left[ \frac{\partial \varphi}{\partial z} \right]} = \frac{\omega}{k}$$

*velocidade fasorial (ou número de onda ou frequência espacial) –  $m^{-1}$*

$$k = \omega \sqrt{\mu_0 \epsilon_0} = \frac{\omega}{c} = \frac{2\pi}{\lambda}$$

$$\eta_0 = \frac{|\mathbf{E}|}{|\mathbf{H}|} = \sqrt{\frac{\mu_0}{\epsilon_0}} = \frac{1}{\epsilon_0 c} = \mu_0 c$$

*impedância do espaço livre (vácuo) –  $\Omega$*

# A onda eletromagnética plana

Onda eletromagnética plana senoidal é uma solução específica, na qual os campos são constante no plano x-y ( $z = \text{cte}$ ) para cada instante de tempo  $t$ , e se propaga no sentido  $z$  (por exemplo):

$$\begin{cases} \mathbf{E}_y(z, t) = E_m e^{j(\omega t - kz)} \\ \mathbf{H}_x(z, t) = -H_m e^{j(\omega t - kz)} \end{cases}$$

*$\mathbf{E}$  e  $\mathbf{H}$  têm de ser obrigatoriamente perpendiculares um ao outro e ambos perpendiculares à direção de propagação!*

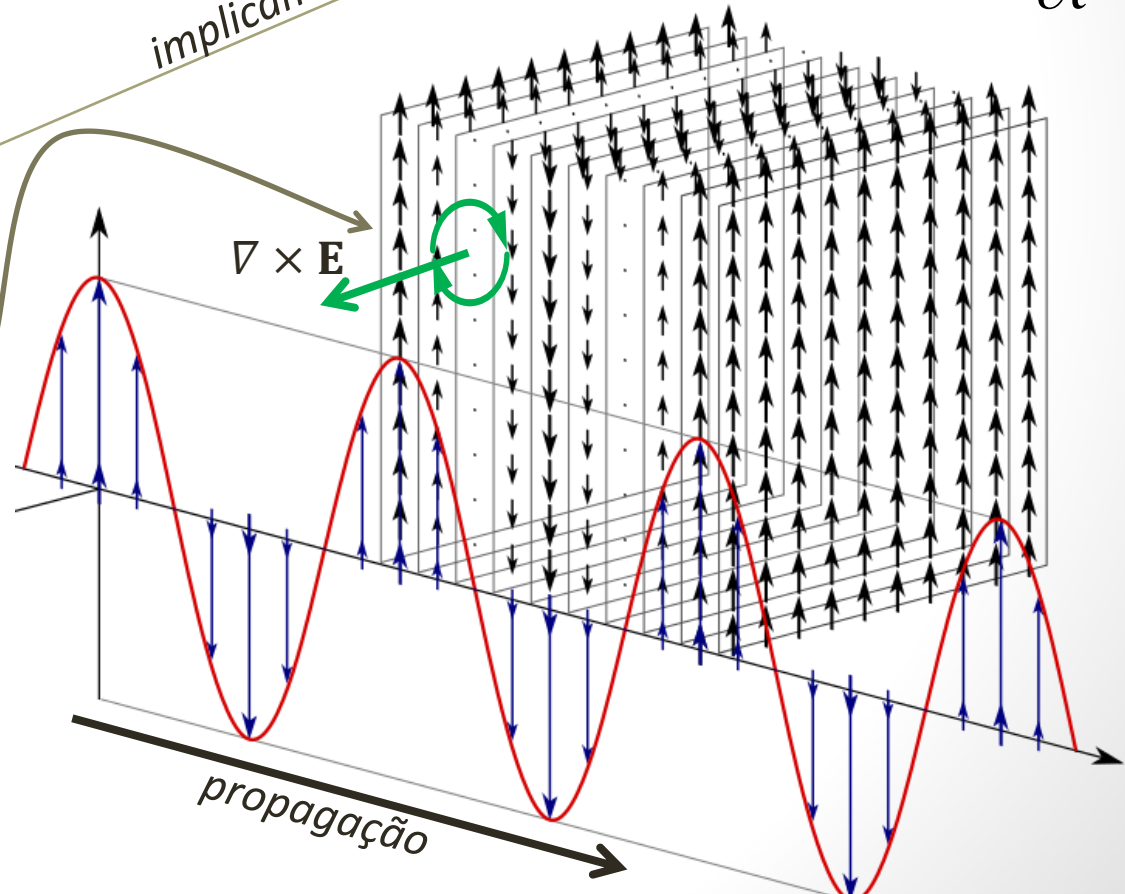
$$\nabla^2 \mathbf{E} - \varepsilon_0 \mu_0 \frac{\partial^2}{\partial t^2} \mathbf{E} = 0$$

$$\nabla^2 \mathbf{H} - \varepsilon_0 \mu_0 \frac{\partial^2}{\partial t^2} \mathbf{H} = 0$$

$$\nabla \times \mathbf{H} = \varepsilon_0 \frac{\partial \mathbf{E}}{\partial t}$$

$$\nabla \times \mathbf{E} = -\mu_0 \frac{\partial \mathbf{H}}{\partial t}$$

implicam que



# A onda eletromagnética plana

Onda eletromagnética plana senoidal é uma solução específica, na qual os campos são constante no plano x-y ( $z = \text{cte}$ ) para cada instante de tempo  $t$ , e se propaga no sentido  $z$  (por exemplo):

$$\begin{cases} \mathbf{E}_y(z, t) = E_m e^{j(\omega t - kz)} \\ \mathbf{H}_x(z, t) = -H_m e^{j(\omega t - kz)} \end{cases}$$

$$c = \frac{1}{\sqrt{\mu_0 \epsilon_0}}$$

$$k = \omega \sqrt{\mu_0 \epsilon_0}$$

$$\eta_0 = \sqrt{\frac{\mu_0}{\epsilon_0}}$$

outra forma de escrever:

$$\left( c^2 \nabla^2 - \frac{\partial^2}{\partial t^2} \right) \mathbf{E} = 0$$

$$\left( c^2 \nabla^2 - \frac{\partial^2}{\partial t^2} \right) \mathbf{B} = 0$$

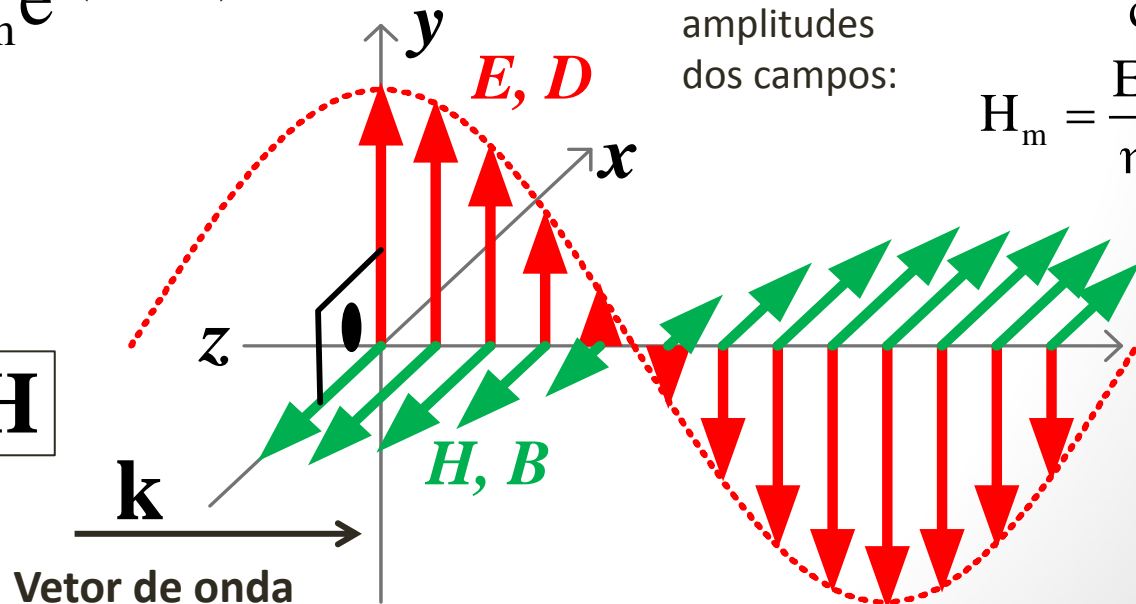
Direção & sentido da propagação é dada pelo **vetor de Poynting**:

$$\mathbf{S} = \mathbf{E} \times \mathbf{H}$$

relações entre amplitudes dos campos:

$$B_m = \frac{E_m}{c}$$

$$H_m = \frac{E_m}{\eta_0}$$





# A onda eletromagnética plana

Onda eletromagnética plana senoidal é uma solução específica, na qual os campos são constante no plano x-y ( $z = \text{cte}$ ) para cada instante de tempo  $t$ , e se propaga no sentido  $z$  (por exemplo):

$$\begin{cases} E_y(z, t) = E_m e^{j(\omega t - kz)} \\ H_x(z, t) = -H_m e^{j(\omega t - kz)} \end{cases}$$

$$c = \frac{1}{\sqrt{\mu_0 \epsilon_0}}$$

$$k = \omega \sqrt{\mu_0 \epsilon_0}$$

$$\eta_0 = \sqrt{\frac{\mu_0}{\epsilon_0}}$$

outra forma de escrever:

$$\left( c^2 \nabla^2 - \frac{\partial^2}{\partial t^2} \right) \mathbf{E} = 0$$

$$\left( c^2 \nabla^2 - \frac{\partial^2}{\partial t^2} \right) \mathbf{B} = 0$$

$$\mathbf{S} = \mathbf{E} \times \mathbf{H} \Rightarrow S = \mu_0 c = \frac{E_m B_m}{\mu_0} = E_m H_m \quad (\text{pico})$$

Vetor de onda:  $\mathbf{k}$ , tal que:

$$\mathbf{k} \cdot \mathbf{k} = \left( \frac{\omega}{c} \right)^2$$

Dá o **vetor de fluxo de energia eletromagnética atravessando** o espaço, por unidade de área por unidade de tempo –  $\text{W}/\text{m}^2$ .

A onda possui **momento!**

Intensidade da radiação:

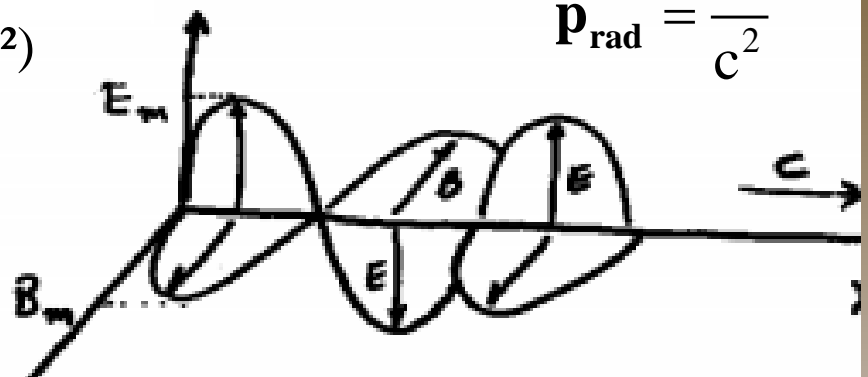
$$I_{\text{rad}} = \langle S \rangle \quad (\text{W} / \text{m}^2)$$

Pressão da radiação:

$$P_{\text{rad}} = \frac{\langle S \rangle}{c} \quad (\text{Pa})$$

média temporal

$$P_{\text{rad}} = \frac{S}{c^2}$$



# A onda eletromagnética plana

Algumas (tentativas de) visualização de uma **onda plana senoidal**

$$B_m = \frac{E_m}{c}$$

$$H_m = \frac{E_m}{\eta_0}$$

$$\begin{cases} E_y(z, t) = E_m e^{j(\omega t - kz)} \\ H_x(z, t) = -H_m e^{j(\omega t - kz)} \end{cases}$$

outra forma de escrever:

$$\left( c^2 \nabla^2 - \frac{\partial^2}{\partial t^2} \right) \mathbf{E} = 0$$

$$\left( c^2 \nabla^2 - \frac{\partial^2}{\partial t^2} \right) \mathbf{B} = 0$$

campo  $E$  ao longo de  $x$   
(ele tb está ao longo de  $y$ !)

$E, D$

campo  $B$  ao longo de  $y$   
(ele tb está ao longo de  $x$ !)

$H, B$

A onda eletromagnética é um tipo de **onda transversal** – por que?

# A onda eletromagnética plana

Algumas (tentativas de) visualização de uma **onda plana senoidal**

$$\begin{cases} E_y(z, t) = E_m e^{j(\omega t - kz)} \\ H_x(z, t) = -H_m e^{j(\omega t - kz)} \end{cases}$$



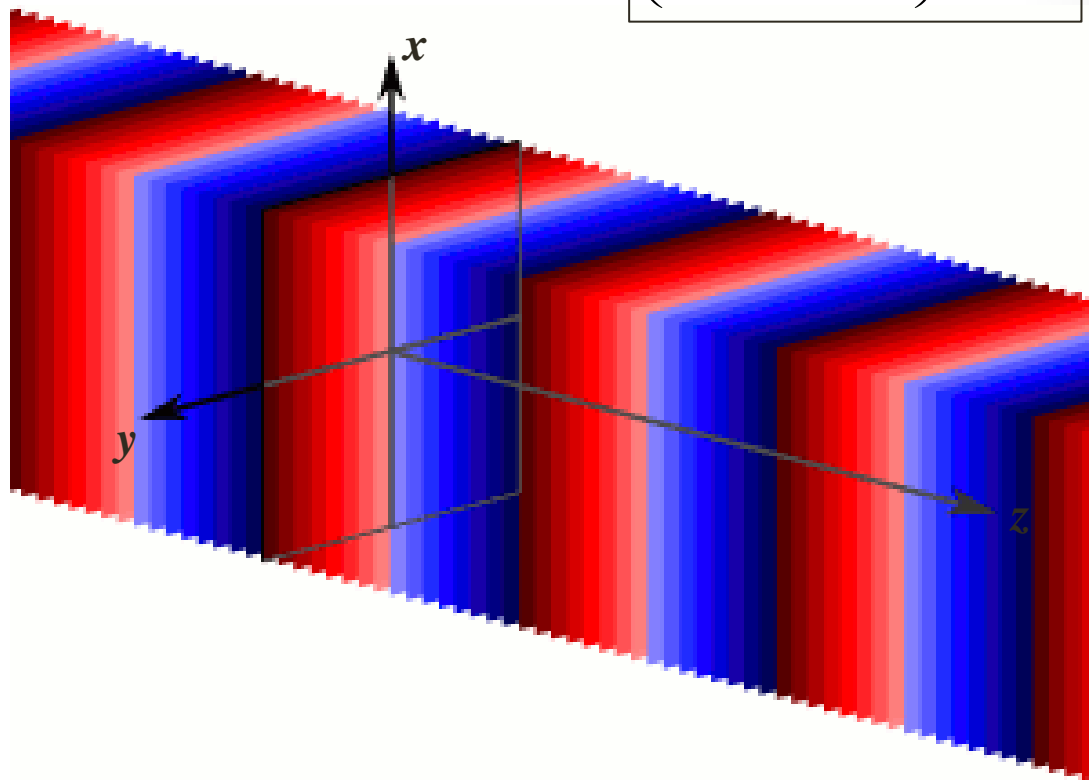
são ambos “planos”  
se propagando

*outra forma de escrever:*

$$\left( c^2 \nabla^2 - \frac{\partial^2}{\partial t^2} \right) \mathbf{E} = 0$$

$$\left( c^2 \nabla^2 - \frac{\partial^2}{\partial t^2} \right) \mathbf{B} = 0$$

Por que estudar a  
“onda plana”?

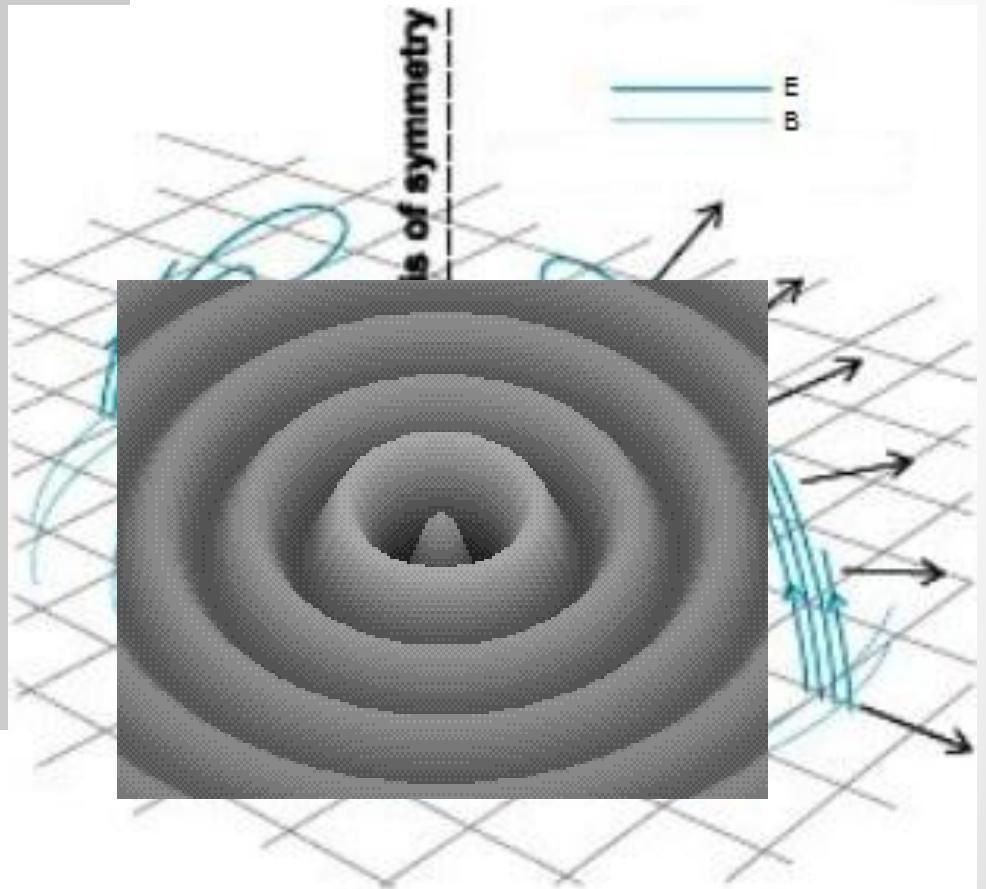
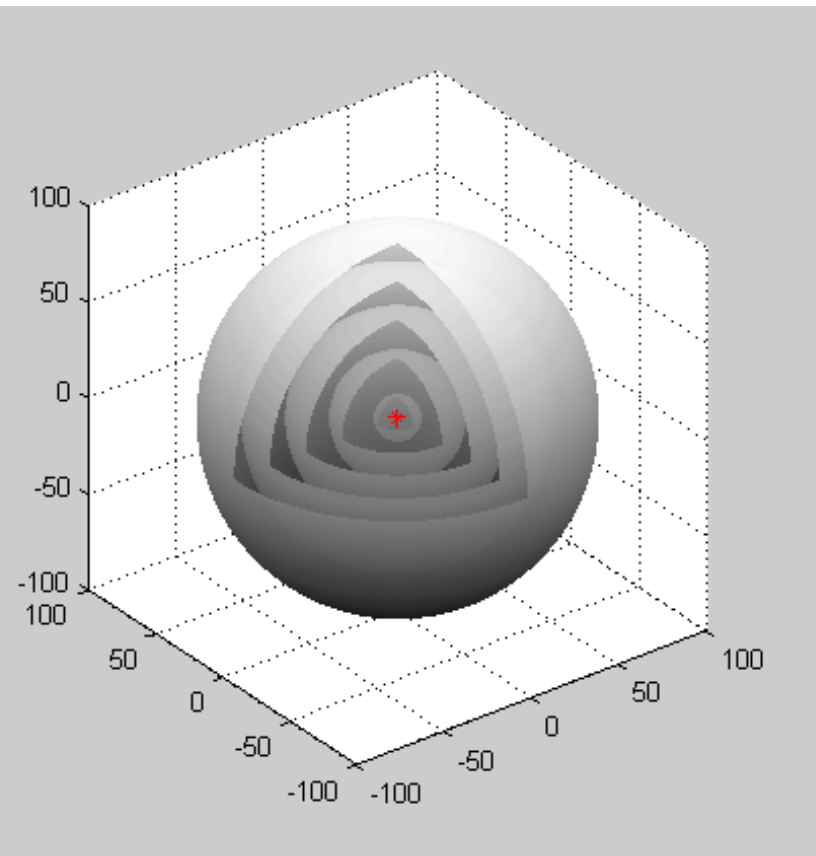


# Ondas eletromagnéticas esféricas

$$\mathbf{E}(z, t) = \frac{\mathbf{E}_m}{r} e^{j(\omega t - kr)} \mathbf{a}_r$$

$$\nabla^2 \mathbf{E}_r = \frac{1}{c^2} \frac{\partial^2}{\partial t^2} \mathbf{E}_r$$

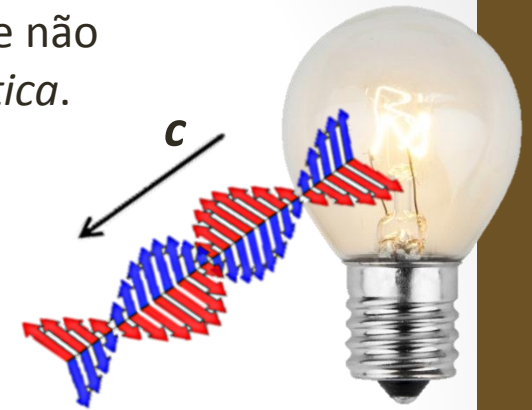
$$\frac{\partial^2}{\partial r^2} (r\mathbf{E}_r) = \frac{1}{c^2} \frac{\partial^2}{\partial t^2} (r\mathbf{E}_r)$$



# A luz como onda eletromagnética

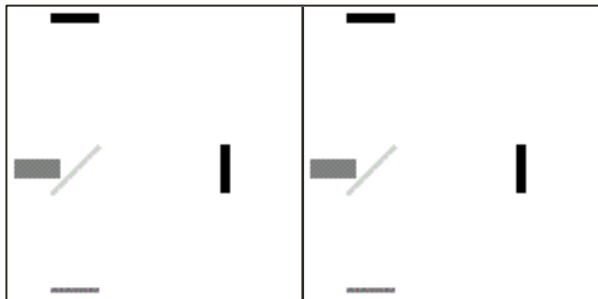
A conclusão imediata de Maxwell era de que estava correta a teoria (ainda não dominante na época) de que a **luz propagava-se como onda**, e não como partícula – sendo, portanto, uma *perturbação eletromagnética*.

Após um experimento para determinar as constantes de permissividade e de permeabilidade (balanceando forças elétricas & forças magnéticas), Maxwell comparou o resultado para “c” obtido com a já conhecida velocidade da luz e comentou em seu artigo “*A Dynamical Theory of the Electromagnetic Field*”:



*“A concordância entre os resultados parece mostrar que a luz e o magnetismo são afecções da mesma substância, e que a luz é um distúrbio eletromagnético propagado através do campo de acordo com leis eletromagnéticas.”*

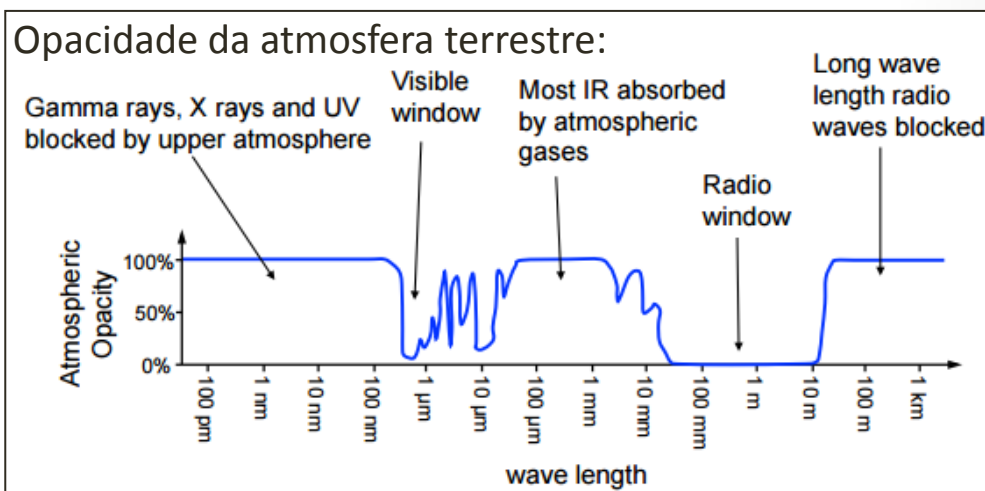
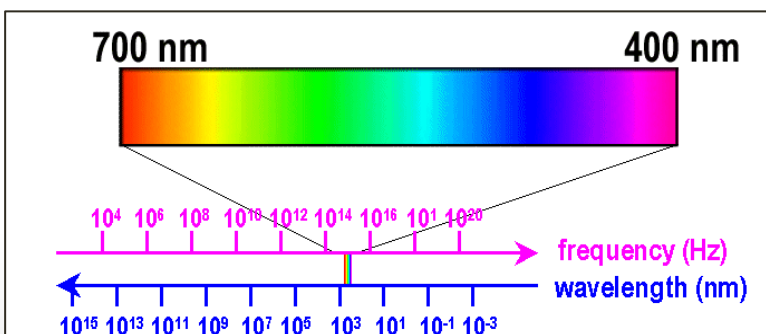
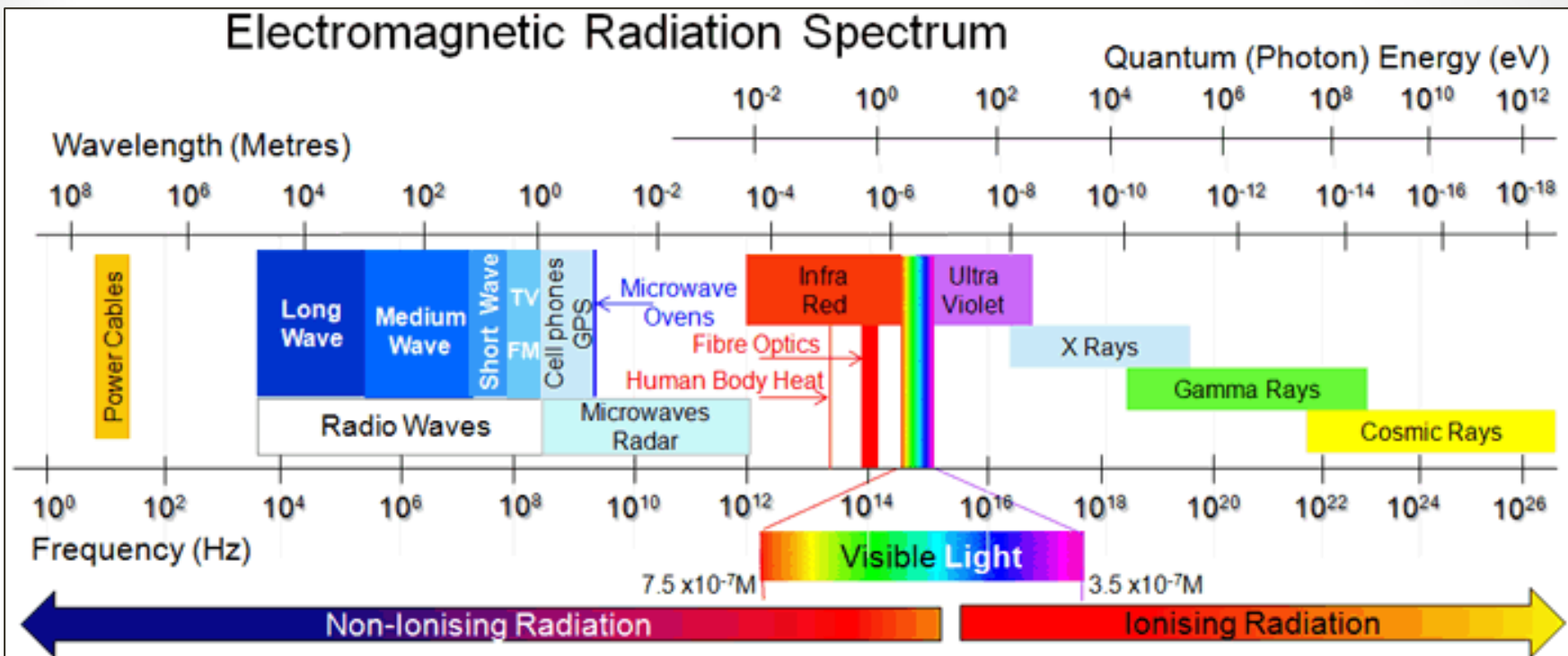
Se eu sou um cientista do final do Sec. XIX, a primeira pergunta que vem na minha cabeça é: *“Mas... se toda onda se propaga por um meio, qual o meio de propagação da luz?”*



*As equações de Maxwell também levavam a acreditar que a velocidade da luz não dependia da velocidade da fonte...*

*Um meio de propagação era desnecessário – como mostrou Einstein em “Zur Elektrodynamik bewegter Körper”.*

# A luz como onda eletromagnética



# Polarização

$$\left( c^2 \nabla^2 - \frac{\partial^2}{\partial t^2} \right) \mathbf{E} = 0$$

A solução que encontramos para a equação da onda eletromagnética é uma **onda plana senoidal linearmente polarizada** (solução bastante específica).

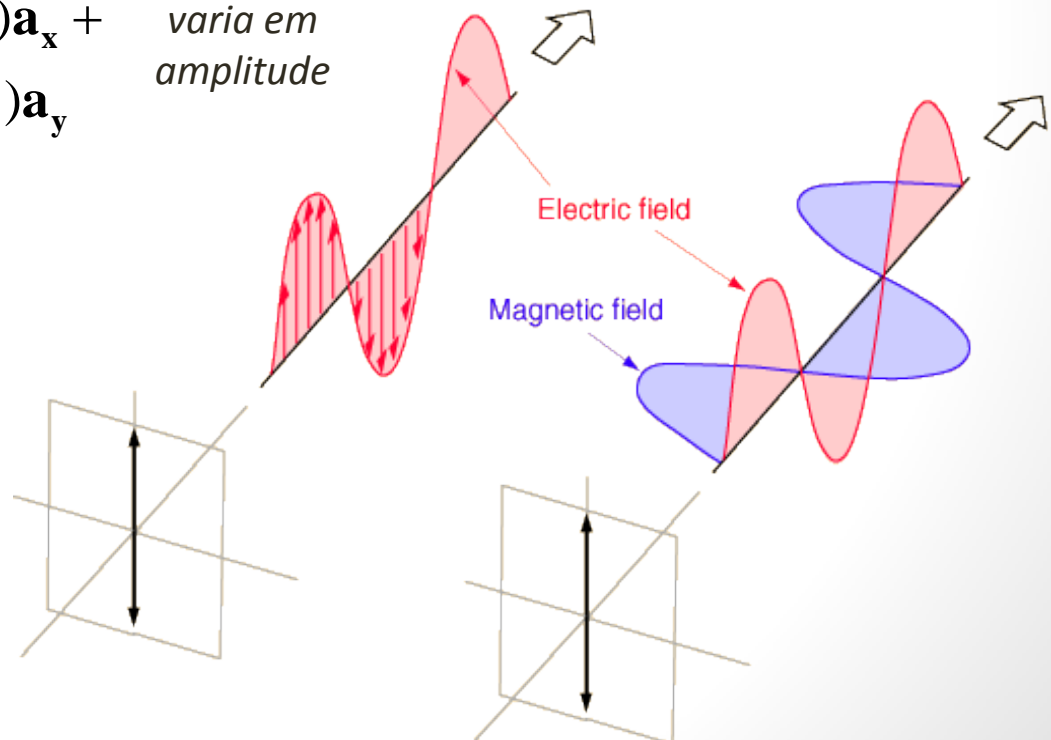
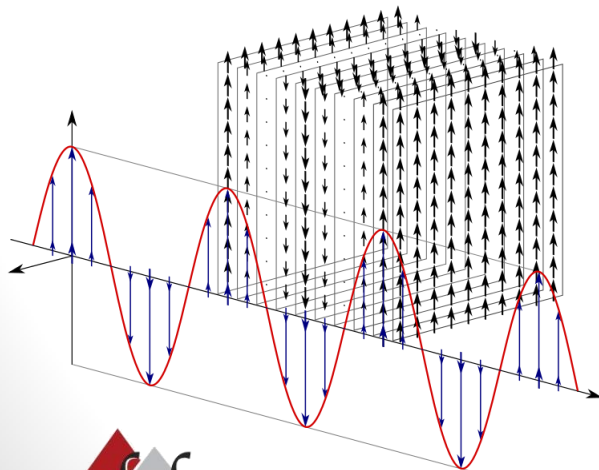
Existem outras formas para o campo elétrico com as quais a onda eletromagnética plana também pode se propagar.

A **polarização** dita a forma como  $\mathbf{E}$  varia no tempo e espaço.

Polarização linear:

$$\mathbf{E}(z, t) = E_x \sin(\omega t - kz + \alpha_x) \mathbf{a}_x + E_y \sin(\omega t - kz + \alpha_y) \mathbf{a}_y$$

*campo  $E$   
varia em  
amplitude*



# Polarização

$$\left( c^2 \nabla^2 - \frac{\partial^2}{\partial t^2} \right) \mathbf{E} = 0$$

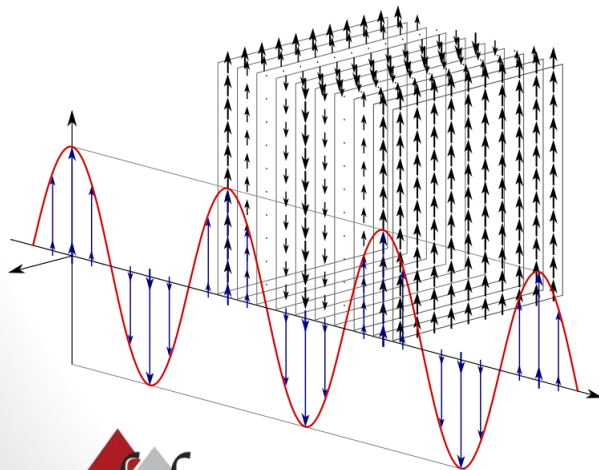
A solução que encontramos para a equação da onda eletromagnética é uma **onda plana senoidal linearmente polarizada** (solução bastante específica).

Existem outras formas para o campo elétrico com as quais a onda eletromagnética plana também pode se propagar.

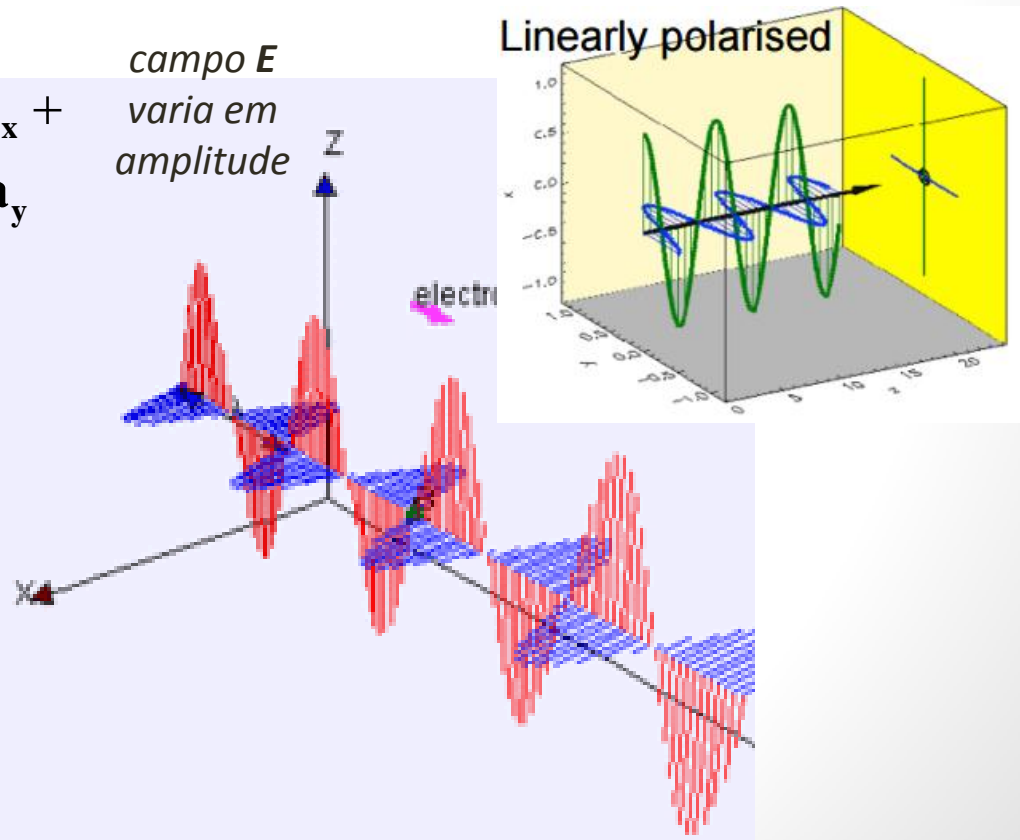
A **polarização** dita a forma como  $\mathbf{E}$  varia no tempo e espaço.

Polarização linear:

$$\mathbf{E}(z, t) = E_x \sin(\omega t - kz + \alpha_x) \mathbf{a}_x + E_y \sin(\omega t - kz + \alpha_y) \mathbf{a}_y$$



*campo E  
varia em  
amplitude*





# Polarização

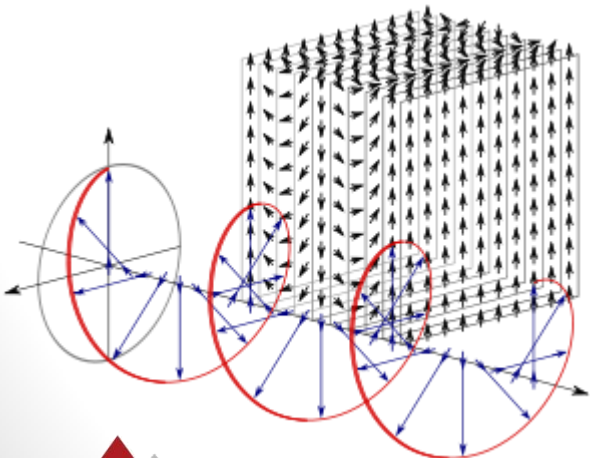
$$\left( c^2 \nabla^2 - \frac{\partial^2}{\partial t^2} \right) \mathbf{E} = 0$$

A solução que encontramos para a equação da onda eletromagnética é uma **onda plana senoidal linearmente polarizada** (solução bastante específica). Existem outras formas para o campo elétrico com as quais a onda eletromagnética plana também pode se propagar.

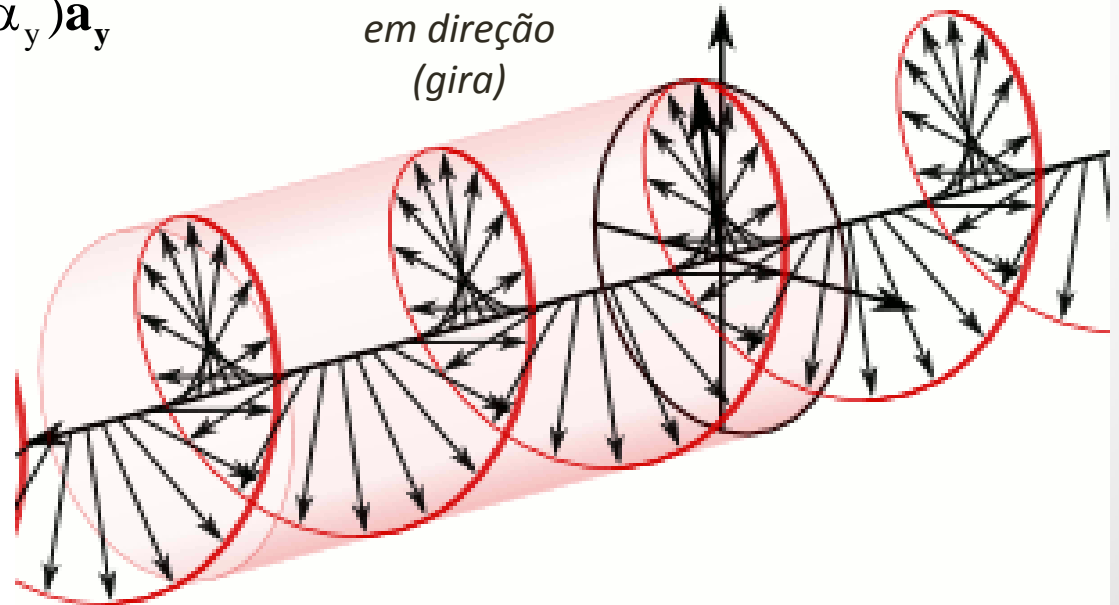
A **polarização** dita a forma como  $\mathbf{E}$  varia no tempo e espaço.

Polarização circular (“right-handed” – ou sentido “horário” do pto. de vista da fonte):

$$\mathbf{E}(z, t) = E_x \cos(\omega t - kz + \alpha_x) \mathbf{a}_x + E_y \sin(\omega t - kz + \alpha_y) \mathbf{a}_y$$



*campo E varia em direção (gira)*



# Polarização

$$\left( c^2 \nabla^2 - \frac{\partial^2}{\partial t^2} \right) \mathbf{E} = 0$$

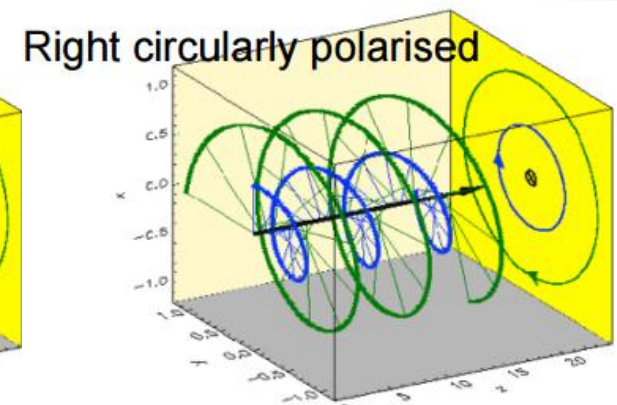
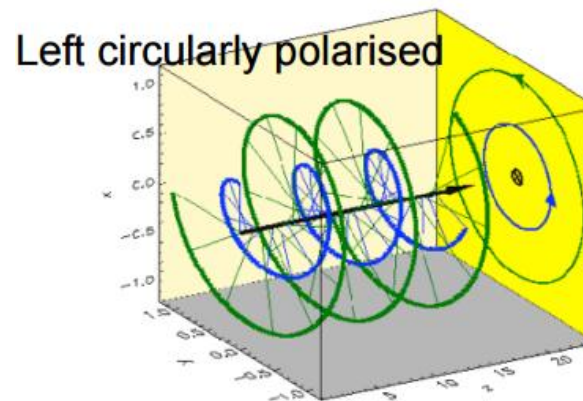
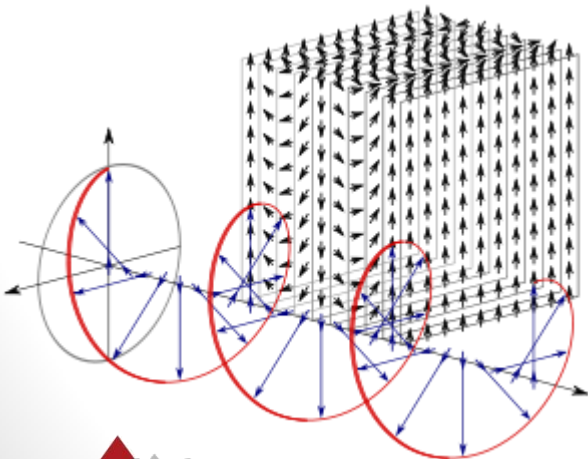
A solução que encontramos para a equação da onda eletromagnética é uma **onda plana senoidal linearmente polarizada** (solução bastante específica). Existem outras formas para o campo elétrico com as quais a onda eletromagnética plana também pode se propagar.

A **polarização** dita a forma como  $\mathbf{E}$  varia no tempo e espaço.

Polarização circular (“right-handed” – ou sentido “horário” do pto. de vista da fonte):

$$\mathbf{E}(z, t) = E_x \cos(\omega t - kz + \alpha_x) \mathbf{a}_x + E_y \sin(\omega t - kz + \alpha_y) \mathbf{a}_y$$

*campo  $\mathbf{E}$  varia em direção (gira)*

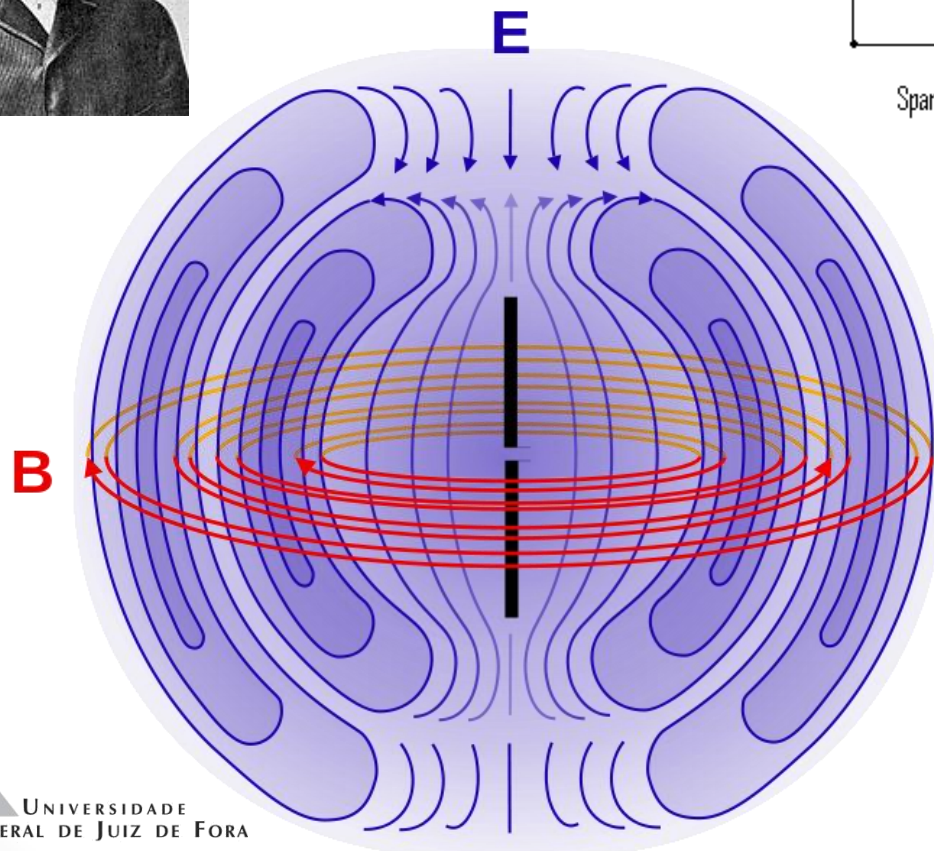
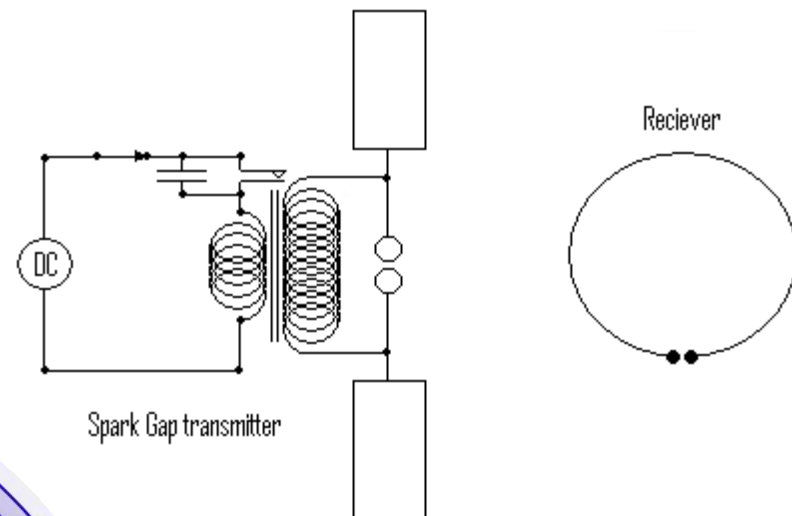


# Antenas - o Dipolo Hertziano



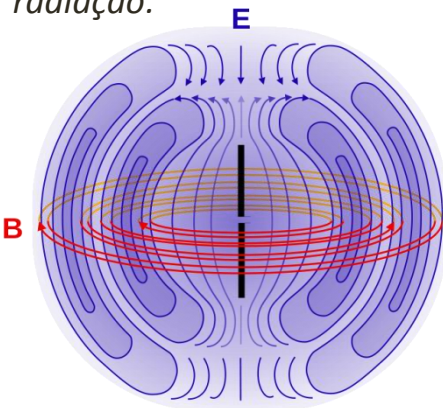
**Heinrich Rudolf Hertz  
(1857-1894)**

*Provou, em 1888, a existência das ondas previstas por Maxwell em 1865*

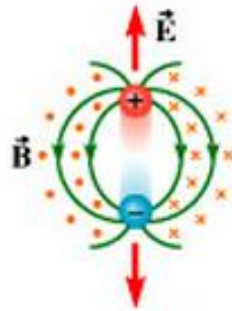


# Antenas - o Dipolo Hertziano

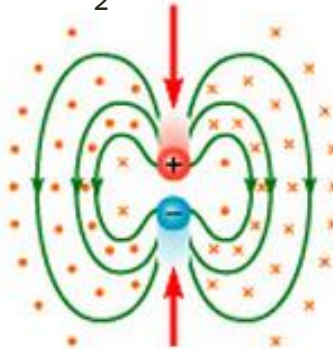
padrão de radiação:



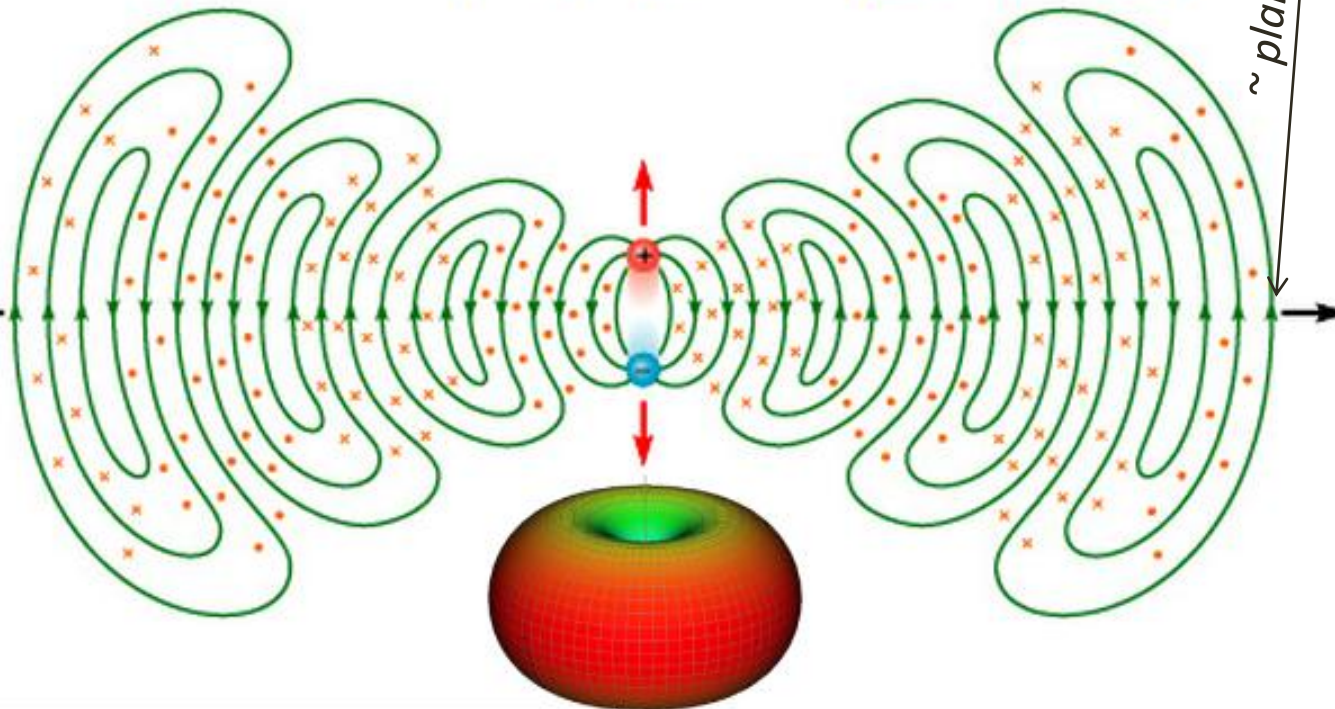
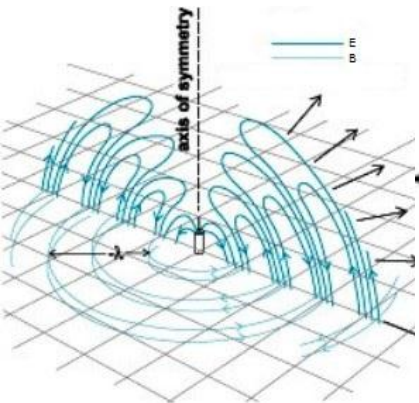
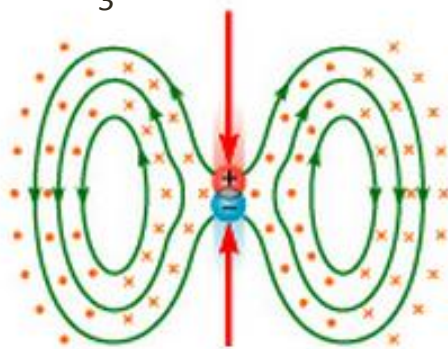
$t = t_1$



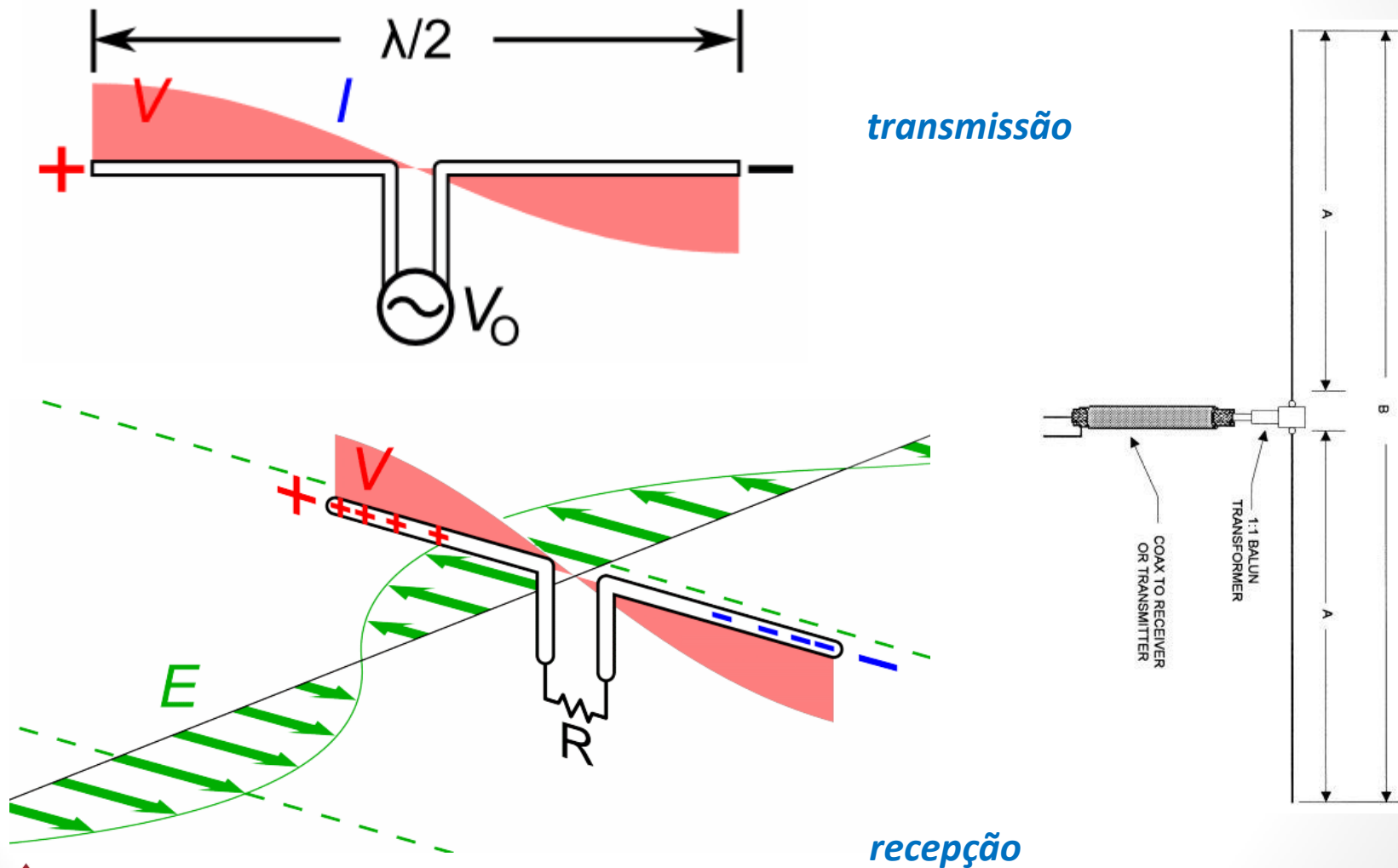
$t = t_2$



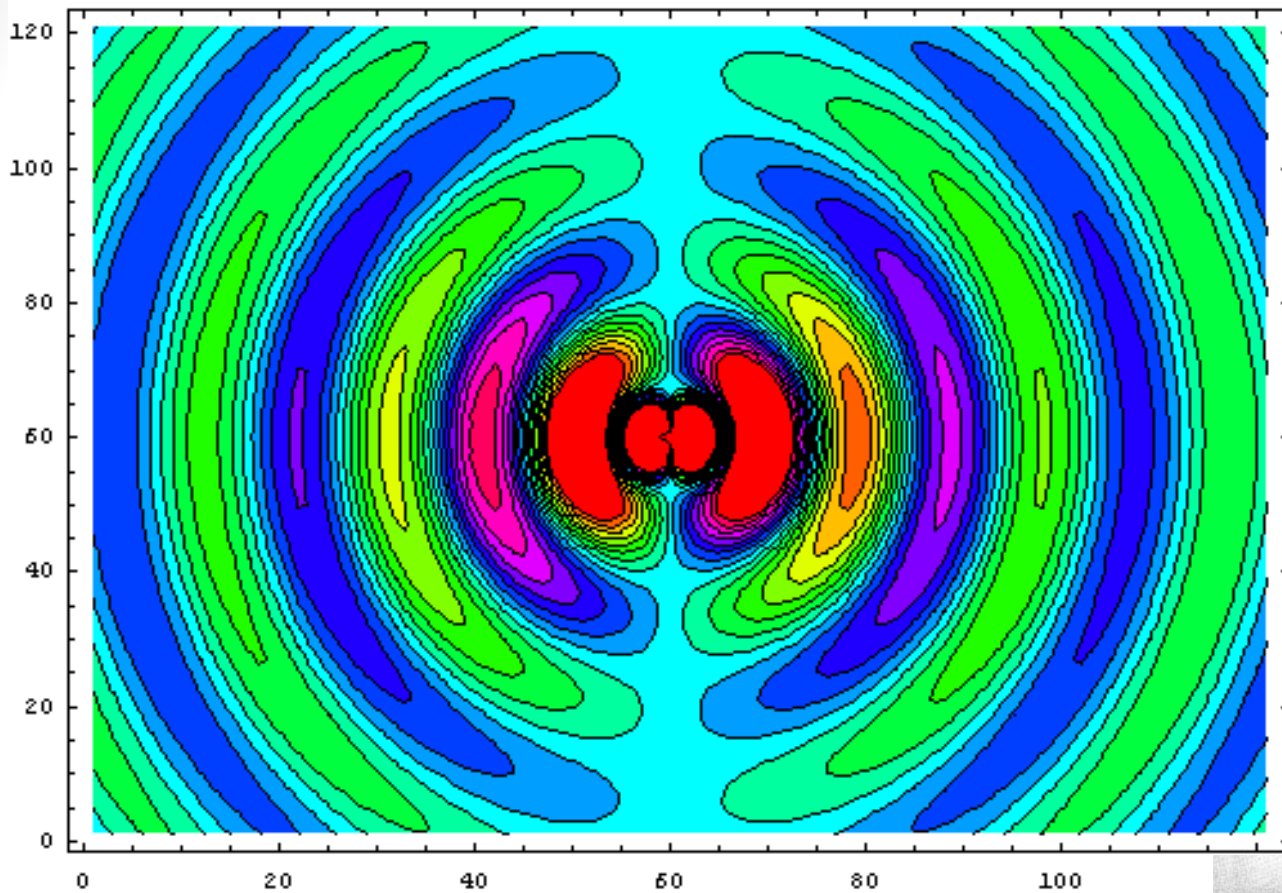
$t = t_3$



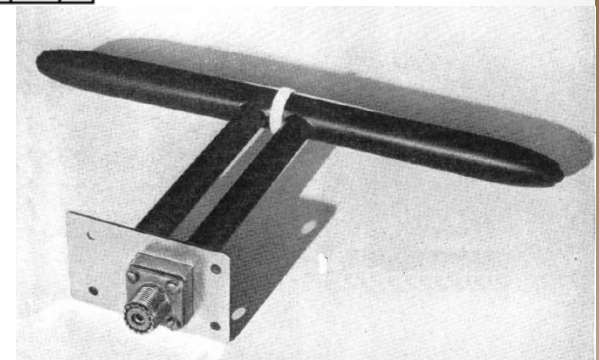
# Uma antena dipolo irradiando



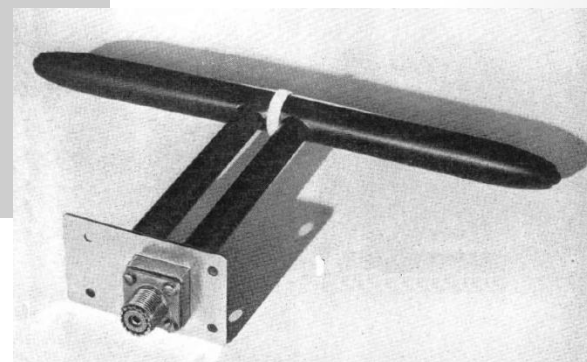
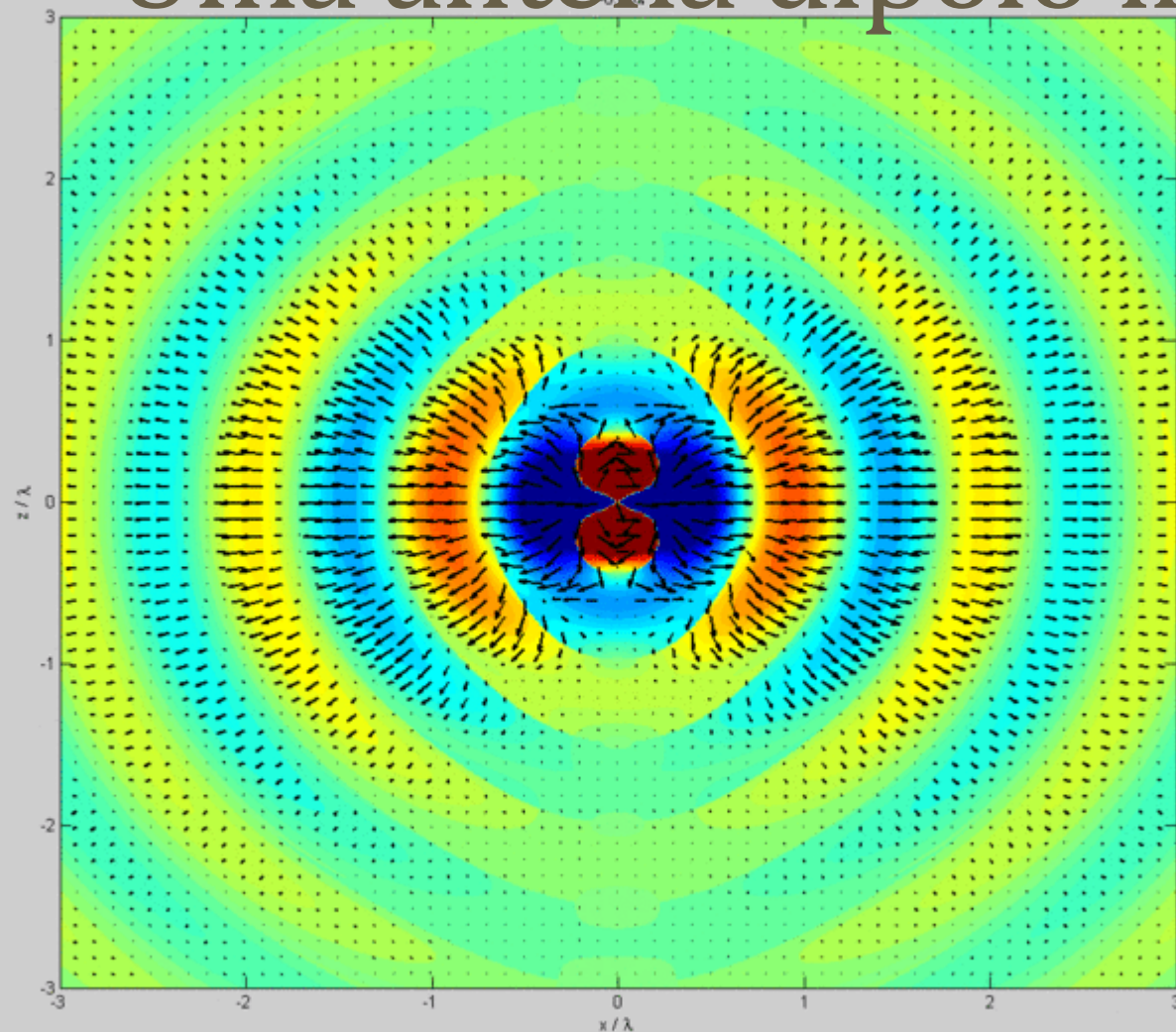
# Uma antena dipolo irradiando



$$E_{\theta} = j \frac{I d k^2}{4\pi k r} \sqrt{\frac{\mu_0}{\epsilon_0}} e^{-jkr} \sin \theta$$



# Uma antena dipolo irradiando



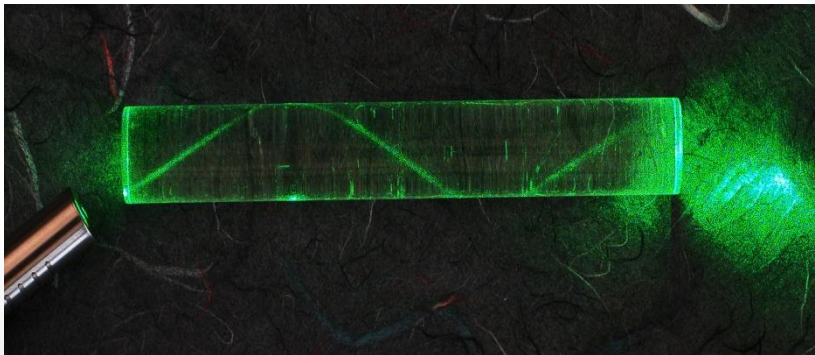
$$E_{\theta} = j \frac{I d k^2}{4\pi k r} \sqrt{\frac{\mu_0}{\epsilon_0}} e^{-jkr} \sin \theta$$

# Reflexão e Transmissão de OEM

Propagação em meios lineares não condutores, isotrópicos & homogêneos

$$\left. \begin{array}{l} \nabla \cdot \mathbf{E} = 0 \quad \nabla \times \mathbf{E} = -\frac{\partial \mathbf{B}}{\partial t} \\ \nabla \cdot \mathbf{B} = 0 \quad \nabla \times \mathbf{B} = \mu\epsilon \frac{\partial \mathbf{E}}{\partial t} \end{array} \right\} \left\{ \begin{array}{l} v = \frac{1}{\sqrt{\epsilon\mu}} = \frac{c}{n} \quad \rightarrow \text{velocidade} \\ n = \sqrt{\frac{\epsilon\mu}{\epsilon_0\mu_0}} \cong \sqrt{\epsilon_r} \quad \rightarrow \text{índice de refração} \end{array} \right. \quad \begin{array}{l} \text{(sempre menor que } c) \\ \end{array}$$

$$\mathbf{S} = \frac{1}{\mu}(\mathbf{E} \times \mathbf{B}) \Rightarrow I = \frac{1}{2} \epsilon v E_0^2 \quad \text{para uma onda plana monocromática } (\omega = kv = \text{cte})$$



Pode ser matematicamente trivial, mas as implicações físicas são bastante interessantes: à medida em que a onda atravessa o material, os campos polarizam (E) e magnetizam (B) as moléculas, que se tornam dipolos oscilantes criando seus próprios campos E e B. Estes se combinam com a onda incidente, criando uma onda de mesma frequência porém de velocidade diferente. Este é o fenômeno da **transparência!**



# Reflexão e Transmissão de OEM

Propagação em meios lineares não condutores, isotrópicos & homogêneos

$$\begin{cases} v = \frac{1}{\sqrt{\epsilon\mu}} = \frac{c}{n} \\ n = \sqrt{\frac{\epsilon\mu}{\epsilon_0\mu_0}} \cong \sqrt{\epsilon_r} \end{cases}$$

$$\left\{ \begin{array}{l} \epsilon_1 \mathbf{E}_1^\perp = \epsilon_2 \mathbf{E}_2^\perp \\ \mathbf{B}_1^\perp = \mathbf{E}_2^\perp \\ \mathbf{E}_1^\parallel = \mathbf{E}_2^\parallel \\ \frac{1}{\mu_1} \mathbf{B}_1^\parallel = \frac{1}{\mu_2} \mathbf{B}_2^\parallel \end{array} \right\}$$

$$\mathbf{B} = \frac{\mathbf{E}}{v}$$

Condições de fronteira de campos elétricos e magnéticos

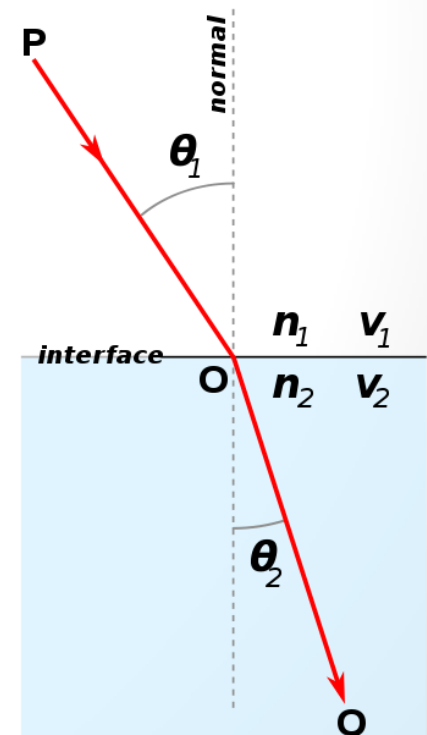
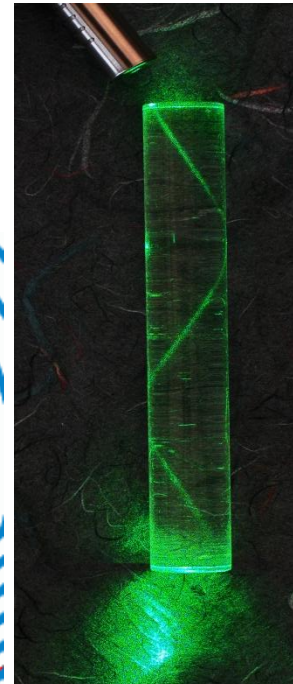
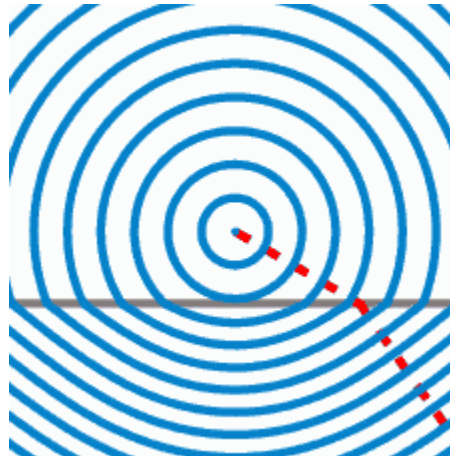
$$\frac{1}{\mu_1} B_1 \sin \theta_1 = \frac{1}{\mu_2} B_2 \sin \theta_2 \rightarrow \mathbf{B}^\parallel$$

(componentes paralelos)

É possível provar que:

$$\frac{\sin \theta_1}{\sin \theta_2} = \frac{\mu_1 v_1}{\mu_2 v_2} \cong \frac{n_2}{n_1}$$

(Lei de Snell)



# Reflexão e Transmissão de OEM

Propagação em meios condutores → absorção & dispersão

$$\left. \begin{aligned} \nabla \cdot \mathbf{E} &= \frac{1}{\varepsilon} \rho_v & \nabla \times \mathbf{E} &= -\frac{\partial \mathbf{B}}{\partial t} \\ \nabla \cdot \mathbf{B} &= 0 & \nabla \times \mathbf{B} &= \mu \sigma \mathbf{E} + \mu \varepsilon \frac{\partial \mathbf{E}}{\partial t} \end{aligned} \right\}$$

Sabemos da continuidade de carga:

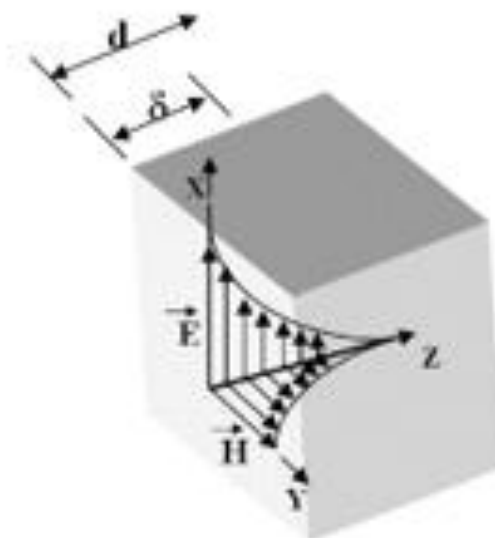
$$\begin{aligned} \nabla \cdot \mathbf{J} &= -\frac{\partial \rho_v}{\partial t} = \sigma (\nabla \cdot \mathbf{E}) \\ \frac{\partial \rho_v}{\partial t} &= -\frac{\sigma}{\varepsilon} \rho_v \end{aligned}$$

Solução da EDO:  $\rho_v(t) = e^{-(\sigma/\varepsilon)t} \rho_v(0)$

A carga livre se dissipa no espaço com o tempo com uma taxa exponencial  $\tau = (\sigma/\varepsilon)$

A solução da equação de onda (não homogênea) neste caso resulta em:

$$\begin{cases} \mathbf{E}(z, t) = \mathbf{E}_0 e^{-kz} e^{j(kz - \omega t)} \\ \mathbf{B}(z, t) = \mathbf{B}_0 e^{-kz} e^{j(kz - \omega t)} \end{cases}$$



$\delta$  = Penetration depth of  
 $d$  = Material thickness  
 $\vec{E}$  = Electric field  
 $\vec{H}$  = Magnetic field

# Reflexão e Transmissão de OEM

Propagação em meios condutores → absorção & dispersão

$$\begin{cases} \mathbf{E}(z, t) = \mathbf{E}_0 e^{-kz} e^{j(kz - \omega t)} \\ \mathbf{B}(z, t) = \mathbf{B}_0 e^{-kz} e^{j(kz - \omega t)} \end{cases}$$



Leva a uma densidade de corrente não uniforme num condutor:

$$\mathbf{J}(d) = \mathbf{J}_0 e^{-d/\delta}$$

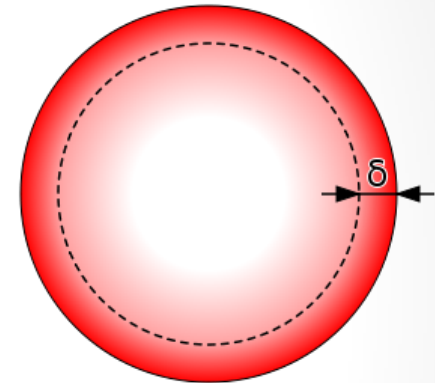
Nas quais  
( $k = \text{complexo} \rightarrow \text{propag. dispersiva}$ ):

$$k^2 = \mu\epsilon\omega^2 + j\mu\sigma\omega = k_1 + jk_2$$

$$k_2 = \omega \sqrt{\frac{\epsilon\mu}{2}} \left[ \sqrt{1 + \left(\frac{\sigma}{\omega\epsilon}\right)^2} - 1 \right]^{\frac{1}{2}}$$

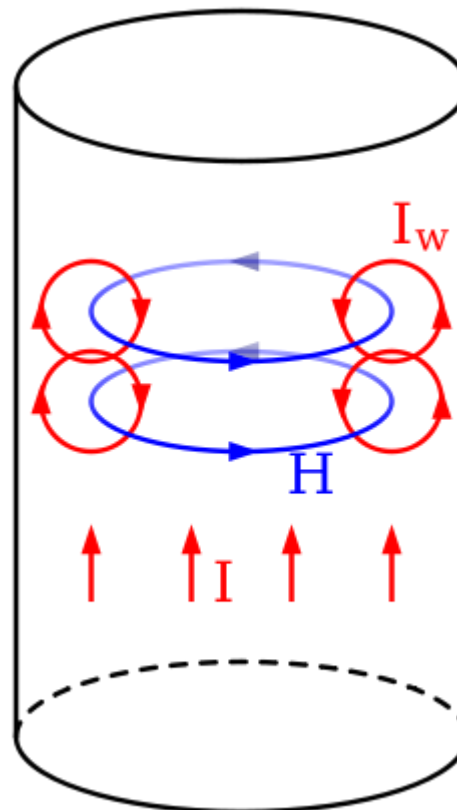
Velocidade,  
refração:

$$n = \frac{ck_1}{\omega}, \quad v = \frac{\omega}{k_1}$$



Efeito "skin"  
(pelicular)

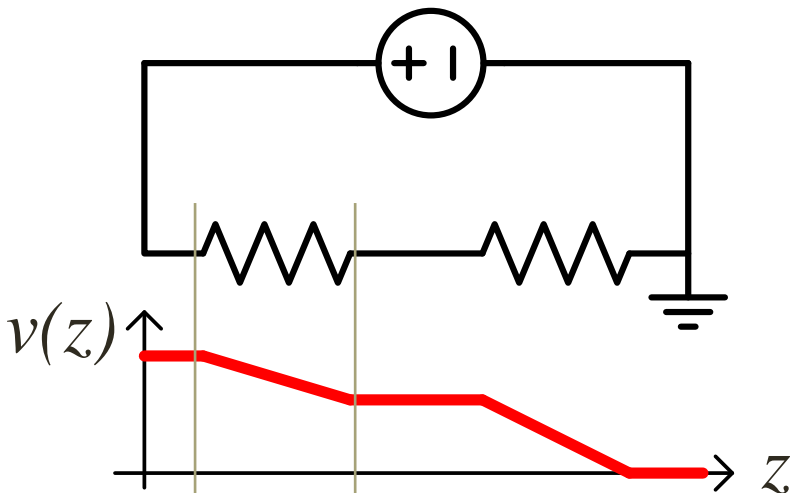
$$\delta = \frac{1}{k_2} \cong \sqrt{\frac{2}{\sigma\omega\mu}}$$



# Linhas de Transmissão

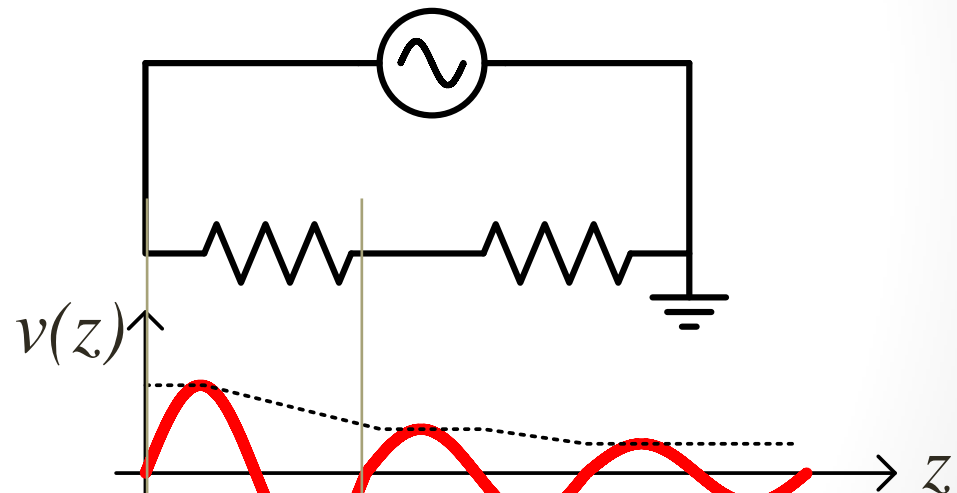
Quando fios não se comportam mais como fios

Caso de corrente contínua ou  
baixa frequência ou curtas  
distâncias:



$$V = RI \text{ OK!}$$

Caso eletrodinâmico  
(considerando a propagação do  
sinal como onda):

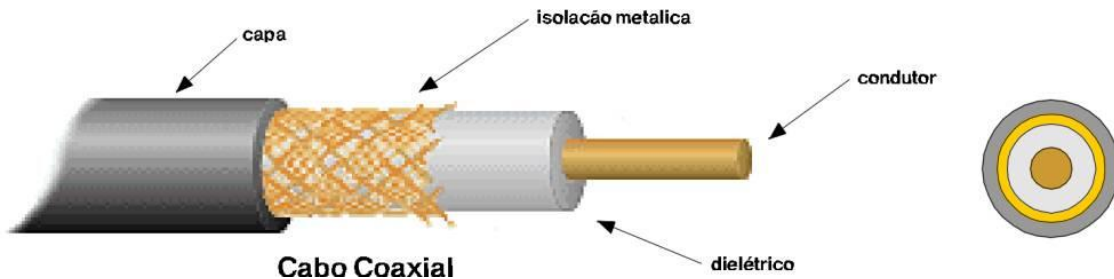


$$V = RI = 0 \quad ???$$

*Efeito evidente quando  
os elementos têm  
tamanho na mesma  
ordem de grandeza do  
comprimento de onda*

# Linhas de Transmissão

Quando fios não se comportam mais como fios

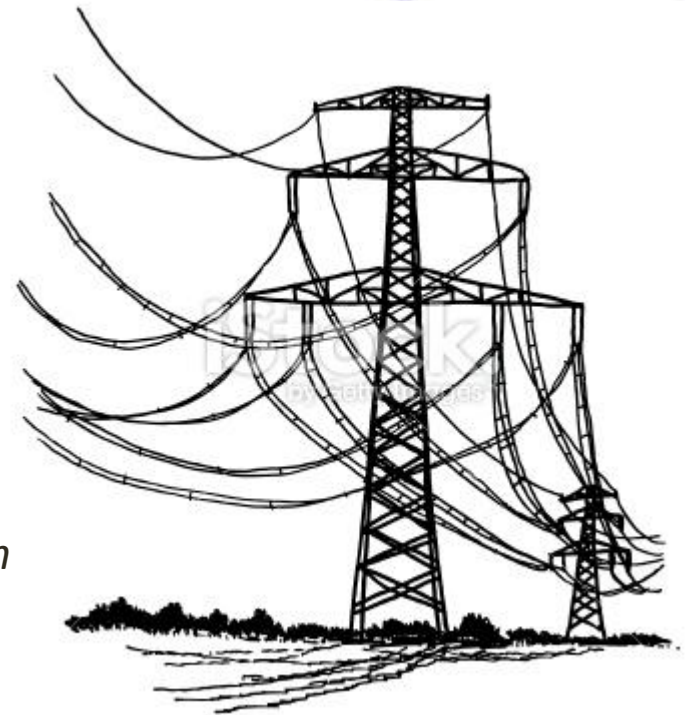


*Efeito evidente quando os elementos têm tamanho na mesma ordem de grandeza do comprimento de onda:*

- *Ou distâncias muito grandes ( $d \sim \lambda$ )*
- *Ou frequências muito altas ( $\lambda$  pequeno) (ou os dois)*

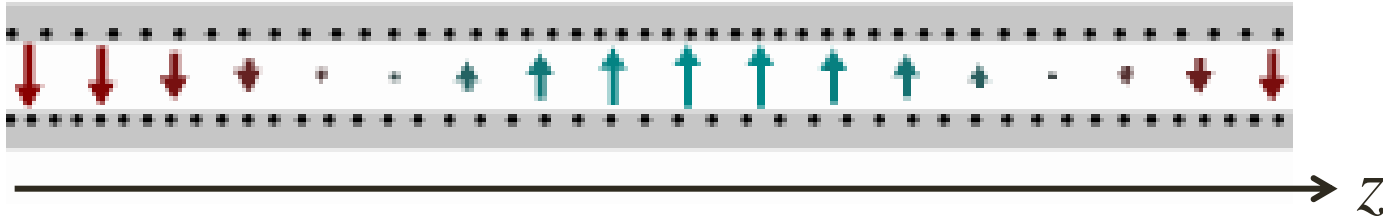
Exemplos onde se aplicam (considerando  $v = c$ ):

- *freq. de WiFi – 2,4 GHz  $\rightarrow \lambda = 125$  mm*
- *freq. da rede – 60 Hz  $\rightarrow \lambda = 5000$  km*

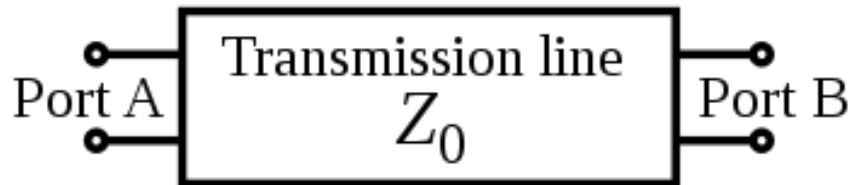


# Linhas de Transmissão

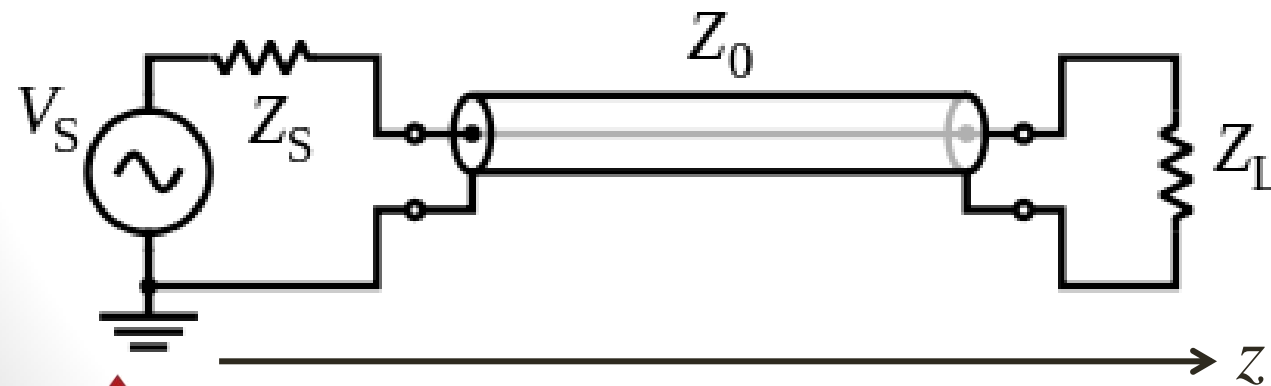
Quando fios não se comportam mais como fios



Representações:



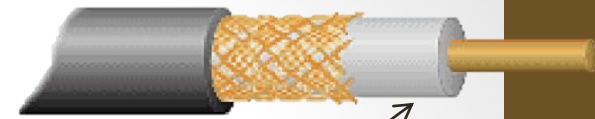
Sabemos que não existe **ação eletromagnética instantânea**; ela se propaga ao longo do espaço e tempo como se fosse (e é) uma onda (eletromagnética)!



Como prever  $v(z, t) = ?$

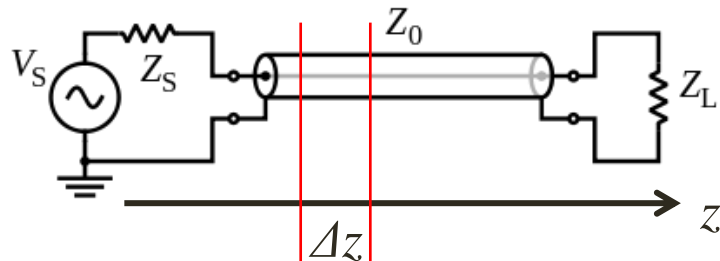
E na carga?  
E a potência entregue?

# Linhas de Transmissão

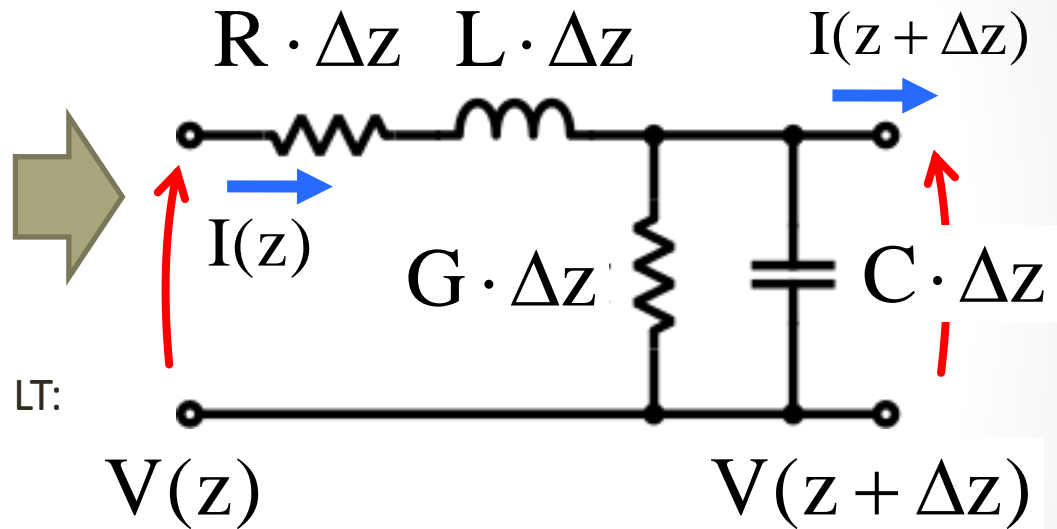


Toda LT pode ser representada por parâmetros distribuídos (indutância série, capacitância paralela, resistência do condutor e condutância do dielétrico *por unidade de comprimento*)

L (H/m)  
C (F/m)



Um pedaço de tamanho  $\Delta z$  da nossa LT:



$$V(z) = R\Delta z I(z) + L\Delta z \frac{d}{dt} I(z) + V(z + \Delta z)$$

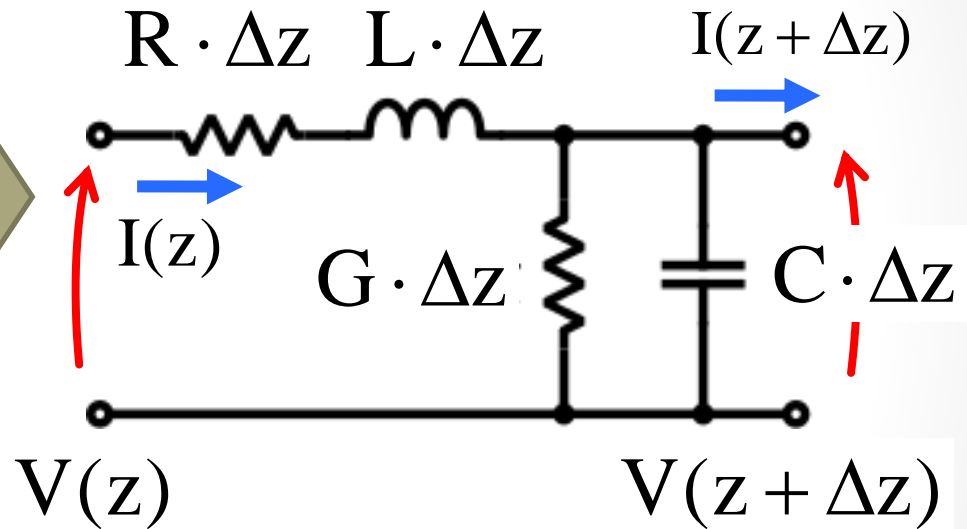
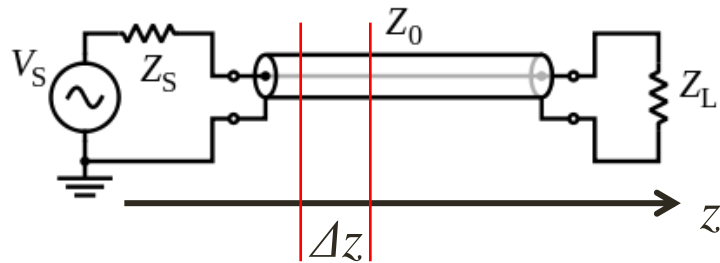
$$I(z) = V(z + \Delta z)G\Delta z + C\Delta z \frac{d}{dt} V(z + \Delta z) + I(z + \Delta z)$$

# Linhas de Transmissão



Toda LT pode ser representada por parâmetros distribuídos (indutância série, capacitância paralela, resistência do condutor e condutância do dielétrico *por unidade de comprimento*)

L (H/m)  
C (F/m)



Um pedaço de tamanho  $\Delta z$  da nossa LT:

Que podemos reescrever da forma:

$$\frac{V(z) - V(z + \Delta z)}{\Delta z} = \left[ RI(z) + L \frac{d}{dt} I(z) \right]$$

$$\frac{I(z) - I(z + \Delta z)}{\Delta z} = \left[ GV(z + \Delta z) + C \frac{d}{dt} V(z + \Delta z) \right]$$

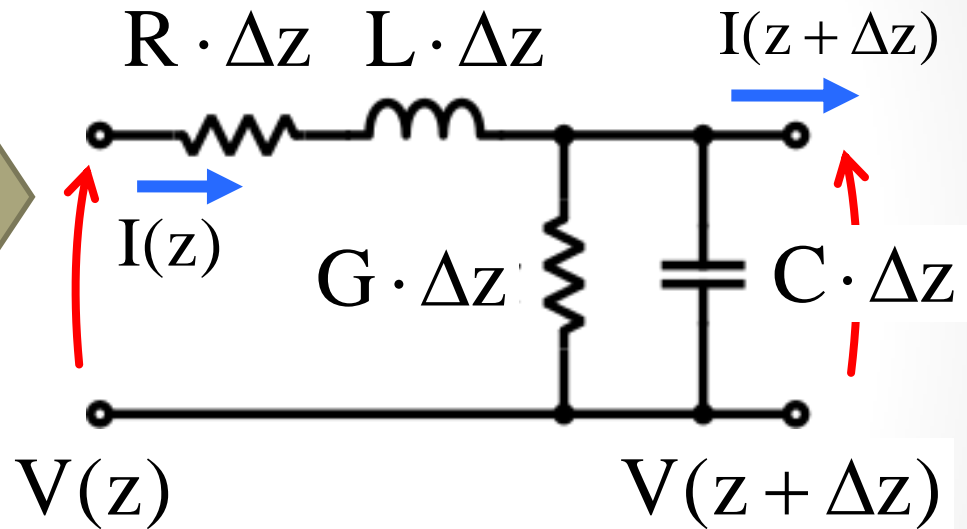
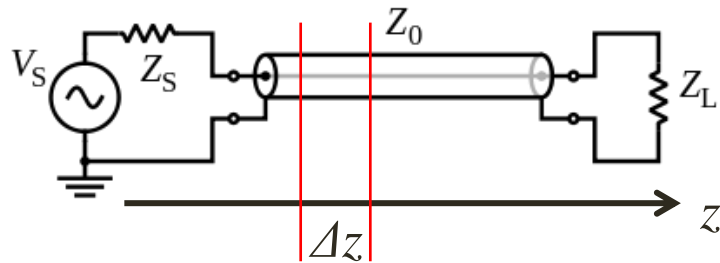


# Linhas de Transmissão



Toda LT pode ser representada por parâmetros distribuídos (indutância série, capacitância paralela, resistência do condutor e condutância do dielétrico *por unidade de comprimento*)

L (H/m)  
C (F/m)



Um pedaço de tamanho  $\Delta z$  da nossa LT:

Pela mágica do cálculo:

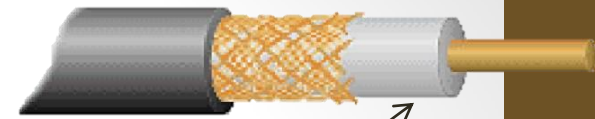
$$\Delta z \rightarrow 0$$

*Equações do  
Telégrafo*

$$\frac{\partial}{\partial z} V(z, t) = \left[ RI(z, t) + L \frac{\partial}{\partial t} I(z, t) \right]$$

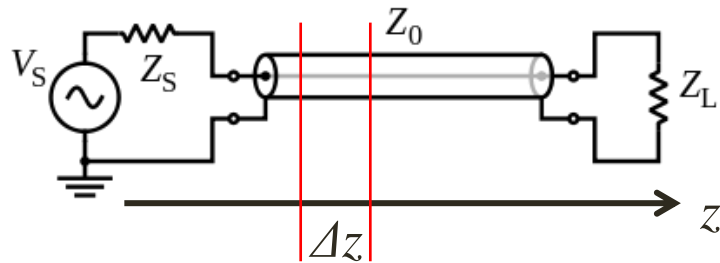
$$\frac{\partial}{\partial z} I(z, t) = \left[ GV(z, t) + C \frac{\partial}{\partial t} V(z, t) \right]$$

# Linhas de Transmissão

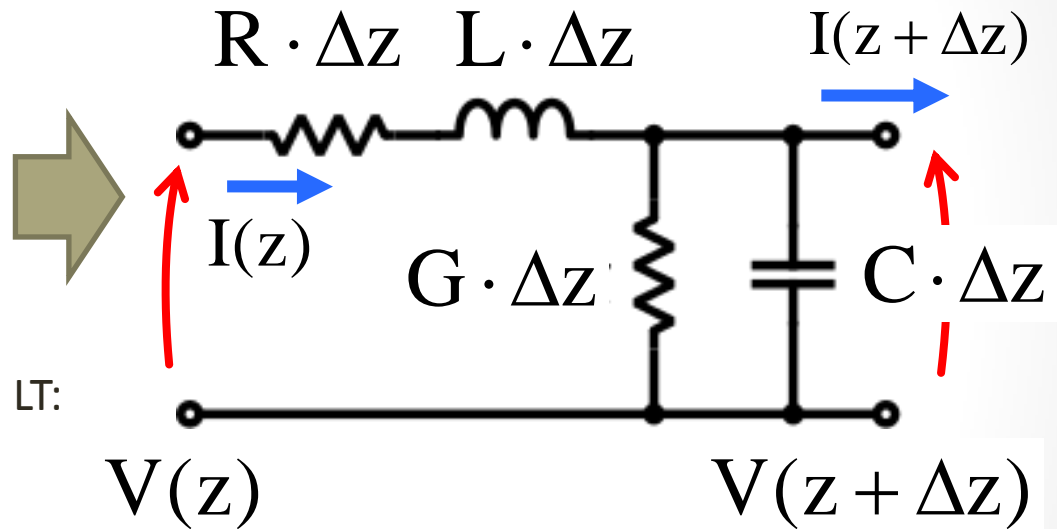


Toda LT pode ser representada por parâmetros distribuídos (indutância série, capacitância paralela, resistência do condutor e condutância do dielétrico *por unidade de comprimento*)

L (H/m)  
C (F/m)



Um pedaço de tamanho  $\Delta z$  da nossa LT:



Diferenciando ambas equações em relação a  $z$ :

$$\frac{\partial^2}{\partial z^2} V(z, t) = \left[ R \frac{\partial}{\partial z} I(z, t) + L \frac{\partial}{\partial t} \frac{\partial}{\partial z} I(z, t) \right]$$

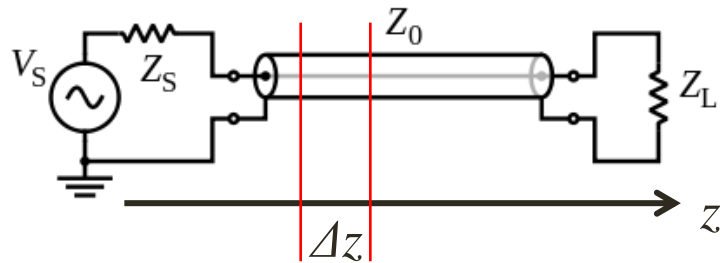
$$\frac{\partial^2}{\partial z^2} I(z, t) = \left[ G \frac{\partial}{\partial z} V(z, t) + C \frac{\partial}{\partial t} \frac{\partial}{\partial z} V(z, t) \right]$$

# Linhas de Transmissão

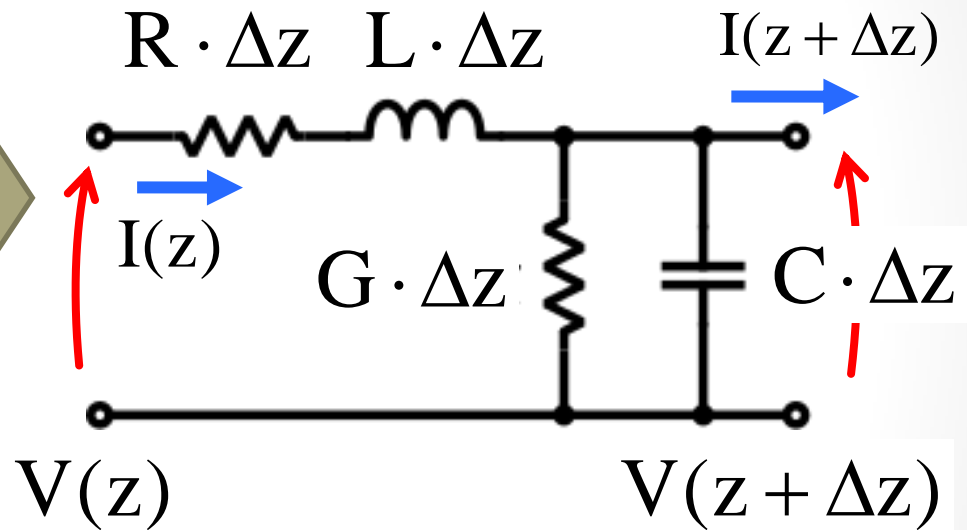


Toda LT pode ser representada por parâmetros distribuídos (indutância série, capacitância paralela, resistência do condutor e condutância do dielétrico *por unidade de comprimento*)

L (H/m)  
C (F/m)



Um pedaço de tamanho  $\Delta z$  da nossa LT:



Que podem ser reescritas como:

$$\frac{\partial^2}{\partial z^2} V(z, t) = LC \frac{\partial^2}{\partial t^2} V(z, t) + (RC + GL) \frac{\partial}{\partial t} V(z, t) + GRV(z, t)$$

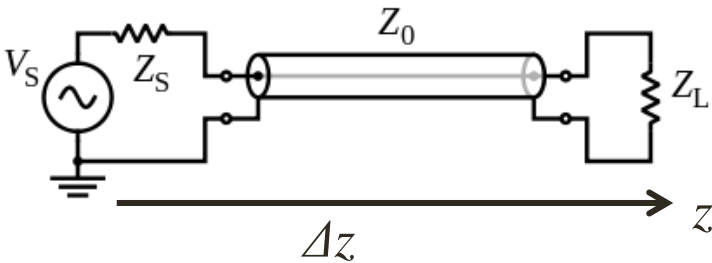
$$\frac{\partial^2}{\partial z^2} I(z, t) = LC \frac{\partial^2}{\partial t^2} I(z, t) + (RC + GL) \frac{\partial}{\partial t} I(z, t) + GRI(z, t)$$

# Linhas de Transmissão



L (H/m)  
C (F/m)

Toda LT pode ser representada por parâmetros distribuídos (indutância série, capacitância paralela, resistência do condutor e condutância do dielétrico *por unidade de comprimento*)



Assumindo estado permanente senoidal e usando representação complexa:

$$\begin{cases} V(z, t) = V(z)e^{j\omega t} \\ I(z, t) = I(z)e^{j\omega t} \end{cases} \rightarrow \text{retira a dependência temporal das eqs!}$$

Simplifica as derivadas no tempo:

$$\frac{\partial^2}{\partial t^2} X(z, t) = -\omega^2 X(z, t)$$

$$\frac{\partial}{\partial t} X(z, t) = j\omega X(z, t)$$

$$\frac{\partial^2}{\partial z^2} X(z) = \nabla^2 X(z)$$

$$\nabla^2 V(z) = (-\omega^2 LC)V(z) + j\omega(RC + GL + GR)V(z)$$

$$\nabla^2 I(z) = (-\omega^2 LC)I(z) + j\omega(RC + GL + GR)I(z)$$

**É uma eq. de onda!**

$$\nabla^2 V(z) = \gamma^2 V(z)$$

$$\nabla^2 I(z) = \gamma^2 I(z)$$

Coeficiente de propagação:

$$\gamma^2 = (R + j\omega L)(G + j\omega C)$$

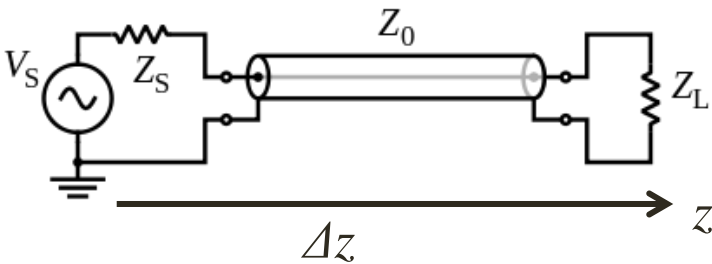
Qual velocidade de propag.?

# Linhas de Transmissão



Toda LT pode ser representada por parâmetros distribuídos (indutância série, capacitância paralela, resistência do condutor e condutância do dielétrico *por unidade de comprimento*)

L (H/m)  
C (F/m)



Assumindo estado permanente senoidal e usando representação complexa:

$$\begin{cases} V(z, t) = V(z)e^{j\omega t} \\ I(z, t) = I(z)e^{j\omega t} \end{cases} \rightarrow \text{retira a dependência temporal das eqs!}$$

Da outra forma:

$$\begin{aligned} \frac{\partial}{\partial z} V(z, t) &= \left[ RI(z, t) + L \frac{\partial}{\partial t} I(z, t) \right] \\ \frac{\partial}{\partial z} I(z, t) &= \left[ GV(z, t) + C \frac{\partial}{\partial t} V(z, t) \right] \end{aligned}$$



$$\begin{aligned} \frac{\partial}{\partial z} V(z) &= (R + j\omega L) I(z) \\ \frac{\partial}{\partial z} I(z) &= (G + j\omega C) V(z) \end{aligned}$$

$$Z_0 = \frac{|V(z)|}{|I(z)|} = \sqrt{\frac{(R + j\omega L)}{(G + j\omega C)}}$$

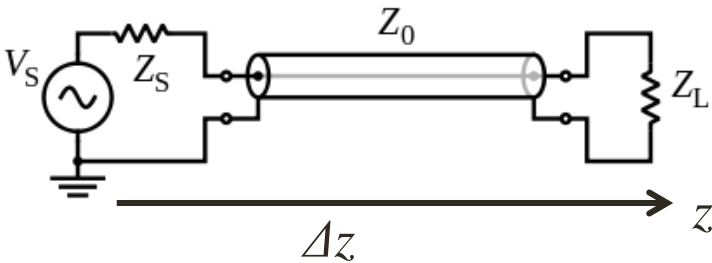
# Linhas de Transmissão



$$C = \frac{2\pi\epsilon}{\ln(R/r)}$$

$$L = \frac{\mu}{2\pi} \ln(R/r)$$

Toda LT pode ser representada por parâmetros distribuídos (indutância série, capacitância paralela, resistência do condutor e condutância do dielétrico *por unidade de comprimento*)



Assumindo estado permanente senoidal e usando representação complexa:

$$\begin{cases} V(z, t) = V(z)e^{j\omega t} \\ I(z, t) = I(z)e^{j\omega t} \end{cases}$$



retira a dependência temporal das eqs!

Se a linha é considerada sem perdas (lossless line)  $\rightarrow R = 0, G = 0$ :

$$\begin{cases} \frac{\partial}{\partial z} V(z) = (j\omega L) I(z) \\ \frac{\partial}{\partial z} I(z) = (j\omega C) V(z) \end{cases}$$

$$Z_0 = \sqrt{\frac{L}{C}}$$

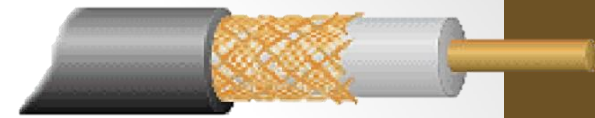
$$\gamma = j\omega\sqrt{LC}$$

$$c = \frac{1}{\sqrt{LC}}$$

Solução das equações de onda da LT:

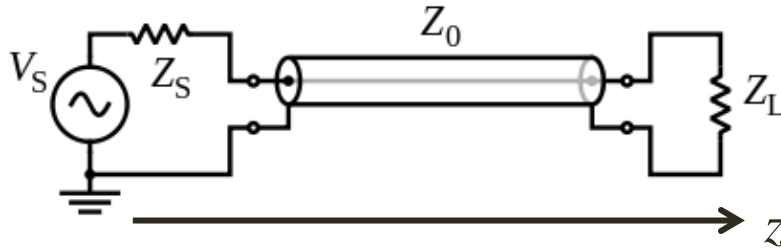
$$\begin{cases} V(z) = V^+ e^{-\gamma z} + V^- e^{\gamma z} \\ I(z) = \frac{1}{Z_0} [V^+ e^{-\gamma z} + V^- e^{\gamma z}] \end{cases}$$

# Linhas de Transmissão



Toda LT pode ser representada por parâmetros distribuídos (indutância série, capacitância paralela, resistência do condutor e condutância do dielétrico *por unidade de comprimento*)

Exemplo com um cabo coaxial s/ perdas:



$$C = \frac{2\pi\epsilon}{\ln\left(\frac{R}{r}\right)}$$

$$L = \frac{\mu}{2\pi} \ln\left(\frac{R}{r}\right)$$

$$Z_0 = \sqrt{\frac{L}{C}} = \sqrt{\frac{\mu}{4\pi^2\epsilon} \ln\left(2\frac{R}{r}\right)}$$

$$\gamma = j\omega\sqrt{LC} = j\omega\sqrt{\mu\epsilon}$$

$$c = \frac{1}{\sqrt{LC}} = \frac{1}{\sqrt{\mu\epsilon}}$$

